

UNIVERSIDADE FEDERAL DO RIO GRANDE DO SUL

DISSERTAÇÃO DE MESTRADO

Estudo *in silico* das bases moleculares responsáveis pela reatividade cruzada entre epitopos virais restritos ao alelo

HLA-A*02:01

DINLER AMARAL ANTUNES

Dissertação submetida ao
Programa de Pós-Graduação
em Genética e Biologia
Molecular da UFRGS como
requisito parcial para a
obtenção do grau de Mestre.

Orientador: Prof. Dr. Gustavo Fioravanti Vieira

Co-orientador: Prof. Dr. José Artur Bogo Chies

PORTE ALEGRE

MARÇO DE 2011

Este trabalho foi realizado no Núcleo de Bioinformática do Laboratório de Imunogenética, do Departamento de Genética do Instituto de Biociências da Universidade Federal do Rio Grande do Sul.

Apoio financeiro

CNPq – Conselho Nacional de Desenvolvimento Científico e Tecnológico

CAPES – Coordenação de Aperfeiçoamento de Pessoal de Nível Superior

Bill & Melinda Foundation (*Grand Challenges Explorations - Round 2*)

AGRADECIMENTOS

A personalidade de um homem, bem como seu próprio destino, são atributos multifatoriais moldados por sua herança, pela cultura de seu povo, e pelas escolhas que realiza ao longo da vida. A despeito da possibilidade de trilharmos nosso próprio caminho, não se pode negar a influência dos caracteres herdados, tanto em termos genéticos quanto "ambientais". Assim sendo, neste momento de agradecimento àqueles que colaboraram com a realização deste trabalho, não poderia deixar de agradecer à contribuição inestimável de meus pais. Além de serem os responsáveis pela "confecção" do meu genoma, forneceram também o ambiente familiar e o exemplo de caráter, moral, perseverança, dignidade e honra. Muito obrigado, pai e mãe, por todo o apoio, amor e confiança que depositaram em mim. Vocês são responsáveis diretos por todas as conquistas que eu vier a realizar.

Agradeço também ao meu irmão, Jônior, sobretudo pela amizade. Além do afeto fraternal, sinto grande admiração por sua inteligência e por suas opiniões firmes, ainda que nem sempre concordantes com as minhas. Agradeço também pelas inúmeras contribuições realizadas por ele ao longo do projeto, as quais vão desde discussões filosóficas sobre fazer ciência, até colaborações técnicas no campo da matemática e a revisão gramatical de trechos da dissertação.

Laura, a ti agradeço acima de tudo pelo companheirismo. És a pessoa que melhor me conhece e com quem mais tenho gosto de partilhar o meu tempo. Obrigado por ter estado comigo durante estes seis anos, superando obstáculos e aproveitando a vida. Tua contribuição também merece destaque, pois sem um relacionamento estável meu desempenho no mestrado teria sido certamente prejudicado.

Agradeço ainda aos colegas de laboratório, em especial aos amigos Maurício, Marialva, Samuel, Francis, Jader e Danieli. Além de nossa ótima convivência dentro e fora do ambiente de trabalho, eles também fizeram importantes contribuições para este projeto, executando técnicas, discutindo resultados e sugerindo novas abordagens. Neste contexto, também merecem destaque meus dois orientadores, Gustavo e José Artur. Muito obrigado pela amizade, pela disponibilidade e pelo exemplo de dedicação ao trabalho e amor à pesquisa.

Por fim, agradeço a todas as demais pessoas que direta ou indiretamente colaboraram com a minha formação. A citar, meus professores e meus colegas (tanto da graduação quanto da pós-graduação), os funcionários da Universidade, em especial ao Elmo Cardoso (Coord. Administrativo-PPGEM), bem como meus demais amigos e familiares. Muito Obrigado!!!

*“Discovery consists of seeing what everybody has seen
and thinking what nobody has thought.”*

Albert Szent-Gyorgyi (1893 – 1986)

SUMÁRIO

Abreviaturas	6
Resumo	7
Abstract.....	8
Capítulo I: Introdução e Objetivos	9
1 Introdução:.....	10
1.1 Resposta imune humoral e resposta imune celular	11
1.2 Região do MHC e a família gênica do HLA	12
1.3 Estrutura do MHC-I	14
1.4 Rota de apresentação de peptídeos endógenos.....	15
1.5 Reconhecimento pelos linfócitos T citotóxicos	18
1.6 Memória imunológica	19
1.7 Imunidade heteróloga e reatividade cruzada.....	20
1.8 O Vírus da Hepatite C (HCV).....	23
1.9 Desenvolvimento de vacinas anti-HCV	25
1.10 A Bioinformática e suas aplicações à Imunologia	27
1.11 Predição da estrutura tridimensional de complexos pMHC	29
2 Objetivos:	32
3 Capítulo II : Structural Allele-Specific Patterns Adopted by Epitopes in The MHC-I Cleft and Reconstruction of MHC:Peptide Complexes to Cross-Reactivity Assessment - Artigo Completo Publicado na Revista PLoS One	33
4 Capítulo III : Structural <i>in Silico</i> Analysis of Cross-Genotype-Reactivity Among Naturally Occurring HCV NS3-1073-Variants in The Context Of HLA-A*02:01 Allele - Artigo Completo Aceito para Publicação na Revista Molecular Immunology	51
5 Capítulo IV: Discussão geral	78
6 Referências	95
7 Anexos.....	100
7.1 Anexo 1: Errata submetida ao sitio da revista PLoS One.	101
7.2 Anexo 2: Versão editada da figura 4 (capítulo II).	102
7.3 Anexo 3: Tabela com os valores preditos para a afinidade de ligação ao MHC-I.	103
7.4 Anexo 4: Valores de ASA para os peptídeos selecionados.	103
7.5 Anexo 5: Parâmetros das simulações (arquivos mdp).	104

Abreviaturas

ATP _ Trifosfato de Adenosina (do inglês *Adenosine Triphosphate*).

CD8 _ Grupamento de Diferenciação 8 (do inglês *Cluster of Differentiation 8*).

cDNA _ DNA complementar (do inglês *Complementary DNA*).

CDR _ Regiões Determinantes de Complementaridade (do inglês *Complementarity Determining Region*).

CTL _ Linfócito T Cítotóxico (do inglês *Cytotoxic T Lymphocyte*).

D1-EM-D2_ Docking 1-Energy Minimization-Docking 2.

DNA _ Ácido desoxirribonucleico (do inglês *Deoxyribonucleic acid*).

EM _ Minimização de Energia (do inglês *Energy Minimization*).

ER _ Retículo Endoplasmático (do inglês *Endoplasmic Reticulum*).

ERAP _ Aminopeptidase do Retículo Endoplasmático (do inglês *Endoplasmic Reticulum Aminopeptidase*).

HCV _ Vírus da Hepatite C (do inglês *Hepatitis C Virus*).

HLA _ Antígeno Leucocitário Humano (do inglês *Human Leucocyte Antigen*).

IC₅₀_ Concentração inibitória para 50% das células (do inglês *Half maximal Inhibitory Concentration*).

IFN _ Interferon.

MD _ Dinâmica Molecular (do inglês *Molecular Dynamics*).

MHC _ Complexo Principal de Histocompatibilidade (do inglês *Major Histocompatibility Complex*).

NK _ Células Assassinas Naturais (do inglês *Natural Killer*).

NMR _ Ressonância Magnética Nuclear (do inglês *Nuclear Magnetic Resonance*).

ORF _ Fase Aberta de Leitura (do inglês *Open Reading Frame*).

PAMPs _ Padrões Moleculares Associados a Patógenos (do inglês *Pathogen-associated molecular patterns*).

PCA _ Análise de Componentes Principais (do inglês *Principal Component Analysis*).

PDB _ Protein Data Bank.

PLC _ Complexo de Carregamento do Peptídeo (do inglês *Peptide Load Complex*).

RIC _ Resposta Imune Celular.

RIH _ Resposta Imune Humoral.

RMSD _ Desvio Quadrático Médio (do inglês *Root Mean Square Deviation*).

RNA _ Ácido Ribonucleico.

SI _ Sistema Imune.

TAP _ Transportador Associado ao Processamento de Antígenos (do inglês *Transporter associated with Antigen Processing*).

Tcm _ Células de Memória Central (do inglês *Central Memory T cells*).

TCR _ Receptor de Linfócitos T (do inglês *T Cell Receptor*).

Tem _ Células de Memória Efetora (do inglês *Effector Memory T cells*).

Treg _ Células T Reguladoras (do inglês *Regulatory T cells*).

Resumo

A apresentação de peptídeos endógenos pelo Complexo Principal de Histocompatibilidade (MHC, do inglês *Major Histocompatibility Complex*) e seu reconhecimento pelos Linfócitos T Citotóxicos representa a etapa final de uma importante via intracelular. Esta via permite ao sistema imune realizar uma constante vigilância acerca do conteúdo citoplasmático de todas as células nucleadas do organismo, sendo um mecanismo central na defesa antitumoral e antiviral. A compreensão dos detalhes moleculares que levam um dado complexo peptídeo:MHC (pMHC) a estimularem uma população de linfócitos é vital para o desenvolvimento de vacinas e imunoterapias, tendo especial aplicação no entendimento da resposta imune ao Vírus da Hepatite C (HCV, do inglês *Hepatitis C Virus*). Em um trabalho publicado em 2008, Paraskevi Fytilli e colaboradores avaliaram a imunogenicidade de um conjunto de variantes do epitopo imunodominante HCV-NS₃₁₀₇₃ (CV/INGVCWTV) frente a uma população de linfócitos previamente estimulada com o epitopo selvagem. Foram utilizadas tanto variantes naturais quanto sintéticas, tendo sido observado uma grande variação na produção de IFN-gama pelas células específicas contra o epitopo selvagem. O presente trabalho pretende avaliar esta variabilidade em um nível molecular, através do uso de ferramentas de bioinformática. A prévia identificação de padrões alelo específicos, adotados pelos epitopos na fenda do MHC, permitiu o desenvolvimento de uma estratégia *in silico* para a construção de complexos pMHC, através do uso combinado de *Docking Molecular* e Minimização de Energia (*D1-EM-D2*). Esta abordagem inovadora foi aplicada para a construção de 10 complexos apresentando peptídeos sintéticos e 28 complexos apresentando variantes naturais, todos no contexto do alelo de MHC humano HLA-A*02:01. A superfície destes complexos foi posteriormente avaliada quanto à topologia, distribuição de cargas e área acessível ao solvente. Os resultados foram utilizados para agrupar as variantes de acordo com a similaridade com o complexo apresentando o peptídeo selvagem, sendo estes agrupamentos confrontados com os resultados previamente observados *in vitro* por Fytilli e colaboradores. Esta análise, corroborada pela utilização de métodos estatísticos multivariados, permitiu evidenciar o compartilhamento de características estruturais entre os complexos que estimulavam resposta *in vitro*, bem como identificar possíveis aspectos moleculares responsáveis pela abolição da resposta imune celular contra determinadas variantes de HCV. Este trabalho sugere a análise estrutural *in silico* de complexos pMHC como uma importante ferramenta no desenvolvimento de vacinas, permitindo a predição do impacto de mutações de escape viral e a seleção de epitopos com potencial para induzir respostas imunes poli-específicas (*cross-reactive immune responses*).

Abstract

Recognition of the Major Histocompatibility Complex (MHC) by Cytotoxic T Lymphocytes (CTLs) is the final step of an important intracellular pathway, responsible for presenting endogenous peptides. This route allows the Immune System to perform a persistent surveillance of the cytoplasmic content of all nucleated cells, being a pivotal mechanism in antiviral and antitumoral defense. The understanding of molecular issues underlying the stimulation of a given T cell population by a specific peptide:MHC (pMHC) complex is essential for vaccine development, having special application to study the immunity against Hepatitis C Virus (HCV). In a recent work, Paraskevi Fytilli and colleagues evaluated the immunogenicity of an HCV-NS3₁₀₇₃ variants subset against a CTL population previously stimulated with the wild-type epitope. Both natural and synthetic variants were used, and a large variation of IFN-gamma production by wild-type-specific T cells was observed. In this work, we intend to evaluate this variability at molecular level, through bioinformatics approaches. The prior identification of allele-specific patterns, presented by epitopes in the MHC cleft, allowed the development of a strategy for *in silico* construction of pMHC complexes, combining Molecular Docking and Energy Minimization (*D1-EM-D2*). This innovative approach was used to build 10 complexes presenting synthetic peptides and 28 complexes presenting naturally occurring variants, all in the context of human MHC allele HLA-A*02:01. The molecular surface of these complexes was further evaluated regarding its topology, electrostatic potential and Accessible Surface Area (ASA). Resulting data was used to group the variants according to its similarity with the wild-type-presenting complex, being these groups confronted with *in vitro* data, previously published by Fytilli *et al.* This analysis, corroborated by multivariate statistical methods, has highlighted the sharing of structural aspects among complexes that stimulate response *in vitro*, as well as possible molecular issues responsible for abrogation of cellular immune response against certain HCV variants. This work suggests structural *in silico* analysis of pMHC complexes as a reliable tool for vaccine development, affording to predict the impact of viral escape mutations and selection of epitopes with potential to induce cross-reactive immune responses.

Capítulo I

Introdução e Objetivos

1 Introdução:

O conhecimento das causas que desencadeiam uma determinada doença, bem como o entendimento dos meios pelos quais ela se dissemina na população, tem sido uma busca constante desde os princípios de nossa civilização. Apesar das limitações técnicas, em alguns casos o desconhecimento sobre o agente causador não impediu que se desenvolvessem estratégias para ajudar nosso organismo a enfrentar estes "inimigos invisíveis". O médico inglês Edward Jenner, por exemplo, percebeu que o contato com o úbere de vacas contaminadas com uma forma branda de varíola, chamada "Cow Pox", aparentemente protegia contra a varíola circulante em humanos. Em maio de 1796, Jenner inoculou no braço do jovem James Phipps o material retirado das pústulas presentes nas mãos de Sarah Nelmes, uma camponesa que havia entrado em contato com a "Cow Pox". Este experimento é referido como o marco inicial da imunologia como um campo da ciência e da vacinação como uma ferramenta decisiva na prevenção de doenças infecto-contagiosas. Mesmo desconhecendo os detalhes moleculares de seu experimento, Jenner havia também realizado o primeiro caso descrito de imunização cruzada, uma vez que utilizou um vírus circulante nas vacas (*cowpox virus*) para proteger o jovem Phipps contra outro vírus que circulava em humanos, o *smallpox virus*.

Apesar do enorme avanço científico das últimas décadas e do desenvolvimento de novas estratégias vacinais, a forma mais eficiente de vacinação continua sendo um processo muito semelhante àquele empregado por Jenner, utilizando partículas virais atenuadas. Isso ocorre porque vacinas contendo partículas virais íntegras e atenuadas - conservando a capacidade de se replicar e infectar novas células - são mais eficientes em desencadear todos os mecanismos da resposta imune, tanto celular quanto humoral. Estratégias de vacinação utilizando partículas virais inativadas são mais seguras, mas normalmente induzem fraca resposta celular, a qual é imprescindível para o controle da viremia e para o *clearance viral*. O desenvolvimento de novas abordagens que permitam uma imunização mais eficiente permanece como um desafio atual na imunologia e, para tanto, faz-se necessário um conhecimento mais detalhado acerca das moléculas envolvidas nesses processos.

O presente trabalho irá se focar no Complexo Principal de Histocompatibilidade (MHC, do inglês *Major Histocompatibility Complex*) uma das moléculas chave no desenvolvimento da resposta imune celular, discutindo aspectos estruturais envolvidos tanto no reconhecimento de um alvo viral, quanto na estimulação de imunidade cruzada. Esta revisão bibliográfica abordará brevemente as células, moléculas e mecanismos envolvidos na resposta imune celular. Também será apresentado o Vírus da Hepatite C (HCV, do inglês *Hepatitis C Virus*), patógeno que representa um dos maiores desafios da atualidade para o desenvolvimento de vacinas e que foi utilizado como modelo em nosso estudo. Por último, será apresentada uma breve revisão sobre o desenvolvimento de vacinas anti-HCV, e as contribuições que a bioinformática pode oferecer a este campo.

1.1 Resposta Imune Humoral e Resposta Imune Celular

O Sistema Imune (SI) envolve diversos tipos de células e moléculas, sendo tão versátil e complexo que, para fins didáticos, é normalmente dividido em várias categorias. A divisão entre Imunidade Natural e Imunidade Adquirida é um dos mais importantes exemplos deste tipo de divisão didática. A Imunidade Natural é constituída por barreiras físicas e químicas, bem como por células com capacidade fagocítica. Diz respeito a um conjunto de medidas de defesa evolutivamente mais antigo. Embora eficiente na maioria dos casos, esta linha de defesa tem uma série de limitações, especialmente no que se refere a mecanismos capazes de se adaptar a grande variabilidade dos patógenos. A Imunidade Adquirida, por sua vez, é uma inovação que surge com os vertebrados trazendo justamente a capacidade de gerar respostas imunes adaptadas aos novos alvos com os quais o hospedeiro entra em contato. Ela também traz a importante capacidade de gerar e conservar uma memória imunológica, permitindo ao organismo estar preparado para futuros encontros com o mesmo agente. Estas duas linhas de defesa, natural e adquirida, utilizam conjuntos independentes de células e moléculas, mas é importante ressaltar que são na verdade vias complementares dentro de um esquema global que está presente nos vertebrados.

Do mesmo modo, as respostas desencadeadas pela Imunidade Adquirida podem ser didaticamente divididas em Resposta Imune Humoral (RIH) e Resposta Imune Celular (RIC). A RIH diz respeito à produção de anticorpos (imunoglobulinas)

pelos Linfócitos B, enquanto a resposta imune celular diz respeito à estimulação dos Linfócitos T Citotóxicos (CTLs, do inglês *Cytotoxic T Lymphocyte*). Novamente, esta divisão didática não reflete a intensa complementariedade que une estas duas vias durante as etapas de uma resposta *in vivo*. O sucesso na supressão de uma infecção viral, por exemplo, só é possível se houver a contribuição combinada de ambas as vias. A produção de anticorpos específicos contra o patógeno e sua liberação na corrente sanguínea permite uma constante vigilância, neutralizando imediatamente partículas virais que estejam na circulação. No entanto, após ter infectado sua célula alvo a partícula viral está protegida, inacessível à ação dos anticorpos. A resposta celular, por outro lado, é capaz de identificar as células infectadas através da interação direta com moléculas em sua membrana plasmática, desencadeando assim uma resposta citotóxica capaz de eliminar as células que estavam sendo utilizadas para a replicação do vírus. Os detalhes sobre como ocorre este reconhecimento das células infectadas, bem como sobre as principais moléculas envolvidas, serão apresentados a seguir.

1.2 A Região do MHC e a família gênica do HLA

A região mais polimórfica do genoma humano se encontra no braço curto do cromossomo 6 (6p21.3), sendo referida como Região do MHC (Horton *et al.*, 2004; Vandiedonck & Knight, 2009). Não obstante, esta região também abriga a porção mais densa do genoma em número de genes, alcançando em alguns trechos a média de 8.5 genes por 100 Kb (Vandiedonck & Knight, 2009; Xie *et al.*, 2003). Tamanha variabilidade certamente reflete a importância desta região, estando amplamente envolvida com a resposta imune e tendo sido implicada na suscetibilidade a diversas doenças, sobretudo doenças infecciosas e autoimunes (Vandiedonck & Knight, 2009). Esta região recebeu o nome de Complexo Principal de Histocompatibilidade por seu envolvimento com aloreatividade, contexto em que foi descoberta na década de 40 (Snell, 1986). A função fisiológica das moléculas codificadas por esta região, no entanto, não apresenta relação direta com histocompatibilidade.

A região do MHC pode ser dividida em três *loci*: *Locus* do MHC de classe I, *Locus* do MHC de classe II e *Locus* do MHC de classe III (Figura 1). Enquanto o *Locus* do MHC de classe III codifica citocinas e proteínas do Sistema Complemento, os dois primeiros *Loci* estão envolvidos com a apresentação de peptídeos (Horton *et*

al., 2004). Estas regiões codificam não apenas a molécula apresentadora em si, que em humanos recebe o nome de Antígeno Leucocitário Humano (HLA, do inglês *Human Leukocyte Antigen*), mas também outras proteínas envolvidas na geração destes peptídeos (ex.: subunidades do proteossomo e da TAP). As moléculas do HLA de classe I (ou MHC-I) representam a etapa final da chamada rota de apresentação de peptídeos endógenos, a qual será detalhada na próxima sessão. Em linhas gerais, esta rota está presente em todas as células nucleadas do organismo e permite uma espécie de vigilância acerca do conteúdo citoplasmático destas células. As moléculas do HLA de classe II (ou MHC-II), por sua vez, fazem parte da via de apresentação de peptídeos exógenos, estando presente apenas em células com capacidade fagocítica (Kelley *et al.*, 2005).

O *Locus* do MHC de classe I pode ainda ser subdividido em genes clássicos e não-clássicos. Os genes clássicos, HLA-A, HLA-B e HLA-C, codificam a cadeia pesada do complexo responsável pela apresentação de peptídeos endógenos na superfície das células (Kelley *et al.*, 2005). Este *locus* abriga grande parte da variabilidade encontrada na região do MHC, uma vez que existem mais de 1.519, 2.069 e 1.016 alelos descritos para os genes HLA-A, HLA-B e HLA-C, respectivamente ([IMGT/HLA-<http://hla.alleles.org/nomenclature/stats.html>](http://hla.alleles.org/nomenclature/stats.html)). Este grande número de alelos é provável fruto de seleção positiva atuando sobre a região do MHC, no sentido da manutenção de sua variabilidade (Piertney & Oliver, 2006). Cada alelo de MHC possui afinidade por um conjunto específico de peptídeos e, assim sendo, um dado peptídeo só será apresentado no contexto de alguns alelos de MHC (Cao *et al.*, 2001). Indivíduos ou populações com maior variabilidade nestes genes podem identificar e processar um número maior de抗ígenos patogênicos, sendo potencialmente melhor sucedidos em uma ampla gama de desafios imunológicos.

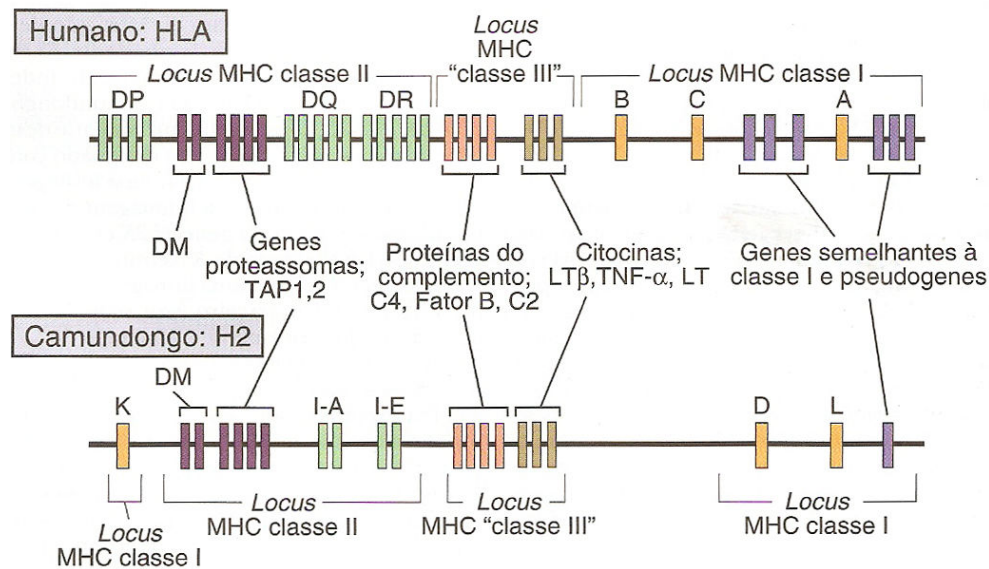


Figura 1. Mapas esquemáticos dos loci do MHC humano e murino. Os genes apresentados em roxo, no Locus do MHC de classe I humano, se referem aos chamados HLA não-clássicos, como o HLA-G, os quais não estão diretamente envolvidos com a apresentação de peptídeos endógenos, embora desempenhem outros papéis imunomodulatórios. Modificado de *Imunologia Celular e Molecular*, 5^a edição (Abbas & Lichtman, 2005).

1.3 Estrutura do MHC-I

A molécula do MHC-I é formada por duas cadeias polipeptídicas ligadas de forma não covalente, sendo uma cadeia pesada (cadeia α) e uma subunidade invariável não codificada pelo mesmo locus, chamada β 2-microglobulina. Os segmentos amino-terminais (N-term) da cadeia α (α 1 e α 2), interagem formando uma plataforma de oito β -folhas pregueadas na qual se apóiam duas α -hélices paralelas. Este conjunto forma a chamada “fenda” do MHC-I, um espaço com tamanho suficiente para abrigar peptídeos com comprimento entre oito e onze aminoácidos. A molécula de MHC-I totalmente montada é um heterodímero que consiste nas duas cadeias (α e β 2-microglobulina) e um peptídeo endógeno (epitopo) ligado a ela (Figura 2). Este complexo peptídeo:MHC-I, ou pMHC, só permanece estável na superfície celular na presença destes três componentes (Hammer *et al.*, 2007).

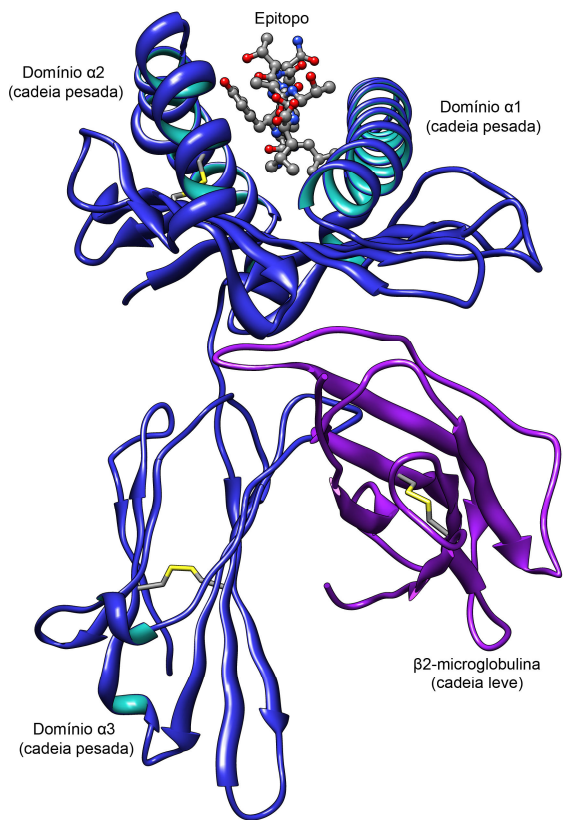


Figura 2. Estrutura do heterodímero peptídeo:MHC-I. A molécula de MHC-I está representada no modo *ribbon* e as cores identificam as cadeias α (azul) e β 2-microglobulina (roxo). A estrutura do epitopo está representada no formato *ball & stick* e as cores identificam os átomos de oxigênio (vermelho), nitrogênio (azul) e carbono (cinza). Ligações dissulfeto, essenciais para a estabilidade do complexo, também são representadas (amarelo). Figura obtida com o pacote UCSF Chimera (Pettersen *et al.*, 2004).

1.4 Rota de apresentação de peptídeos endógenos

O sistema imune é normalmente retratado como um verdadeiro exército, pronto para atacar ao menor sinal do “inimigo”. No entanto, a atuação do sistema imune é muito mais sutil e constante do que aquela representada por um exército em prontidão. A definição de quais são os “inimigos” também é muito mais complexa do que pode sugerir uma análise superficial. A microbiota intestinal, por exemplo, comprehende uma complexa combinação de mais de 10^{14} bactérias, cujo crescimento

descontrolado levaria a uma série de patologias. A simples eliminação destes “invasores”, no entanto, teria um efeito igualmente dramático sobre a saúde do hospedeiro. Assim sendo, uma cuidadosa vigilância deve ser mantida, tolerando as espécies comensais e eliminando - ou controlando - as espécies patogênicas. Esse objetivo é alcançado por uma ação conjunta de mecanismos da Imunidade Natural e da Imunidade Adquirida, dentre os quais se destacam a identificação de PAMPs (do inglês *Pathogen-associated molecular patterns*), ação citotóxica e secretora das células *Natural Killer* (NK), produção de anticorpos secretados nas mucosas (IgA) e a ação imunoreguladora das células dendríticas (Di Santo *et al.*, 2010; Tezuka & Ohteki, 2010).

A manutenção da homeostase intestinal, apesar de se destacar pela complexidade, não é o único item que exige atenção permanente do sistema imune. Na verdade, todas as células do organismo merecem atenção, uma vez que podem ser alvo de infecções ou foco inicial no desenvolvimento de tumores. Um dos exemplos mais claros desta vigilância global realizada pelo SI é a chamada rota de apresentação de peptídeos endógenos, também conhecida como via do MHC de classe I. Esta via está presente em todas as células nucleadas do organismo, atuando como uma espécie de “controle de qualidade” do conteúdo citoplasmático.

As principais proteínas envolvidas nesta rota também são codificadas por genes localizados na região do MHC. Entre eles destacam-se as seqüências codificadoras de um complexo enzimático com atividade proteásica - o proteossomo - e do Transportador Associado ao Processamento de Antígenos (TAP). Uma amostra de todas as proteínas celulares é marcada pelo processo de ubiquitinação o que as direciona para o proteossomo. Este complexo é formado por um núcleo central (20S) altamente conservado e por subunidades regulatórias (19S ou 11S). A subunidade 19S tem alta afinidade pela ubiquitina, sendo ainda capaz de realizar o desdobramento, ATP dependente, da proteína ubiquitinada, direcionando a sequência de aminoácidos semi-desnaturada para a região central do complexo (Wang & Maldonado, 2006). No núcleo a proteína será digerida, liberando ubiquitininas que serão reaproveitadas e peptídeos menores que serão transportados pela TAP para o Retículo Endoplasmático (ER, do inglês *Endoplasmic Reticulum*). Os cortes do proteossomo irão gerar com exatidão a extremidade carbóxi-terminal (C-term) dos epitopos apresentados pelo MHC-I. Mais do que isso, existe uma verdadeira

“sintonia” entre proteossomo, TAP e MHC em termos de afinidade em C-term por um aminoácido (ou um grupo físico-químico), sendo esta semelhança provável fruto da co-evolução destes que são passos decisivos dentro de uma mesma rota (Paulsson, 2004). A extremidade N-term, no entanto, não é gerada pelo proteossomo, e os peptídeos transportados pela TAP sofrerão ainda um desbastamento amino-terminal – por proteases do ER, como ERAP - antes de serem enfim carregados na cadeia nascente do MHC-I (Falk & Rotzschke, 2002).

O encaixe do epitopo na fenda do MHC é realizado por um Complexo de Carregamento do Peptídeo (PLC, do inglês *Peptide Loading Complex*) que, além das duas cadeias do MHC-I recém sintetizado, envolve uma série de chaperonas do ER e moléculas acessórias, destacando-se as proteínas calnexina, Bap31, ERp57, tapasina e a própria TAP (Purcell & Elliott, 2008). Complexos pMHC estáveis são então reunidos em vesículas exocíticas e transportados através do Complexo de Golgi até a superfície da membrana celular (Peaper & Cresswell, 2008).

Os peptídeos apresentados são derivados de proteínas endógenas à célula, podendo ser tanto provenientes de proteínas citosólicas próprias quanto de proteínas pertencentes a parasitas intracelulares. Proteínas defeituosas, truncadas ou com problemas no dobramento (*misfolded proteins*) também são alvos de ubiquitinação, tendo seus peptídeos apresentados na superfície da célula. Deste modo, o reconhecimento dos complexos pMHC é a etapa final de uma rota de apresentação que possui um importante papel no controle de patologias celulares, sobretudo na imunidade contra tumores e na defesa antiviral (Hansen & Bouvier, 2009).

Cabe ainda ressaltar que o papel do MHC-I não está restrito à via clássica de apresentação de peptídeos endógenos. Justamente por sua importância no controle de infecções, esta via teve que ser flexibilizada para contornar os mais diversos mecanismos de escape desenvolvidos pelos patógenos, transformando-se assim em um complexo conjunto de rotas que convergem para a apresentação de peptídeos aos linfócitos T CD8+ (Blanchard & Shastri, 2010). A própria restrição do MHC-I à apresentação de peptídeos endógenos foi recentemente questionada, após a descrição de uma rota alternativa na qual peptídeos derivados de proteínas exógenas são apresentados no contexto de MHCs de classe I. Este mecanismo, batizado de apresentação cruzada (*cross-presentation*), possui um papel central na atividade das células dendríticas, permitindo que抗ígenos capturados na periferia sejam utilizados

para a seleção clonal de linfócitos T nos órgãos linfóides secundários (Amigorena & Savina, 2010). A descoberta desta rota alternativa corrobora a necessidade de uma compreensão mais detalhada sobre a interação TCR/pMHC, a medida que abre novas possibilidades para o desenvolvimento de vacinas antivirais e antitumorais (Win *et al.*, 2011).

1.5 Reconhecimento pelos Linfócitos T Cítotóxicos

Os linfócitos T CD8+ sofrem um rígido processo de seleção no timo onde, mediante competição por estímulos, linfócitos não responsivos são negligenciados e morrem. Linfócitos altamente auto-reativos são negativamente selecionados, restando potencialmente uma população de linfócitos cujo Receptor de Célula T (TCR, do inglês *T Cell Receptor*) possui apenas moderada ou baixa afinidade por peptídeos próprios (Sohn *et al.*, 2007). Este processo gera células capazes de reconhecer peptídeos não-próprios, apresentados no contexto de MHCs de classe I próprios. O reconhecimento de complexos apresentando peptídeos não-próprios, na superfície de uma célula da periferia, desencadeia uma série de mecanismos que, em linhas gerais, levam a eliminação da célula alvo.

O receptor de células T é um heterodímero formado por uma cadeia α e uma cadeia β ou, alternativamente, uma cadeia γ e uma δ . Dentro de cada uma dessas cadeias existem três sítios hipervariáveis, conhecidos como regiões determinantes de complementaridade (CDRs, do inglês *Complementarity Determining Region*), os quais realizam o contato direto com resíduos do peptídeo e da molécula de MHC (Brehm *et al.*, 2004).

A formação do complexo TCR/pMHC é auxiliada pela interação de uma série de moléculas acessórias cuja função é estabilizar e prolongar a interação com a célula alvo, permitindo o reconhecimento e a consequente estimulação do linfócito T (Chen *et al.*, 2009; Rudolph *et al.*, 2006). Dentre os co-receptores envolvidos nesse processo destaca-se a molécula CD8, uma proteína das células T que se liga a região não variável do MHC-I (região $\alpha 3$) e, juntamente com o TCR, transduz os sinais que iniciam a ativação do CTL (do inglês *Cytotoxic T Lymphocyte*). Este processo, desencadeado pela interação de algumas poucas moléculas, culmina com a formação de uma região de interação tão densa e complexa - constituída por vários

conjuntos TCR/pMHC e moléculas acessórias - que recebe o nome de sinapse imunológica (Saito *et al.*, 2010; Thauland & Parker, 2010).

Uma análise mais profunda das vias de sinalização intracelular desencadeadas durante a sinapse imunológica fogem ao escopo desta revisão (Smith-Garvin *et al.*, 2009), mas faz-se importante ressaltar que existe uma fina regulação dessa interação, a qual pode desencadear diferentes níveis de estimulação do linfócito (van der Merwe & Dushek, 2010). Dentre as atividades desencadeadas pelo reconhecimento de um conjunto de complexos pMHC pode-se citar a secreção de citosinas, a expansão clonal, a secreção de conteúdo citotóxico, a diferenciação e o processo de anergia (Nel, 2002). Não obstante, uma consequência deste contato pode ser a geração de linfócitos T de memória, mecanismo central na resposta imune adaptativa e com especial importância para o desenvolvimento de vacinas (Seder *et al.*, 2008). Após sofrer infecção por um determinado vírus, ou ser vacinado, inicia-se no organismo uma resposta imunológica que deverá eliminar o agente e gerar células de memória. O advento de um segundo contato, com o mesmo agente, reativa estas células de memória que, sendo específicas para o vírus infectante, guiarão uma resposta rápida e eficaz, impedindo que o vírus desencadeie seu efeito patológico sobre o organismo infectado.

1.6 Memória Imunológica

A memória imunológica é uma propriedade exclusiva do sistema imune adquirido. Linfócitos T e B pré-ativados, com a ajuda de células dendríticas e linfócitos T auxiliares (*T helper*), proliferam e diferenciam-se em resposta à uma infecção primária, permanecendo no hospedeiro em títulos altos mesmo após a resolução da infecção (Welsh *et al.*, 2004). Células de memória conferem proteção imediata e geram respostas secundárias mais rápidas e intensas que as respostas primárias.

Com relação a resposta humoral, a proteção imediata é conferida por células secretoras de longa duração, as quais estão presentes na medula óssea e permanecem secretando anticorpos independentemente da presença do antígeno. Esta atividade mantém níveis constantes de anticorpos circulantes no soro e nos fluidos corporais. Um novo contato com o antígeno leva a rápida proliferação de

linfócitos B de memória, levando a um aumento no número de plasmócitos e a uma importante elevação nos níveis de anticorpos circulantes (Sallusto *et al.*, 2010).

Uma estratégia semelhante é utilizada pela resposta imune celular. Proteção imediata é conferida por linfócitos T efetores de memória (Tem), que permanecem em circulação ou alojados nos tecidos. Estas células realizam a vigilância periférica e são capazes de desencadear ações efetoras imediatas, caso ocorra o reconhecimento do antígeno na superfície de células infectadas. A presença do antígeno também desencadeia a ativação de células T de memória central (Tcm), as quais circulam nos tecidos linfóides secundários e podem proliferar rapidamente em resposta a抗ígenos apresentados por células dendríticas (Sallusto *et al.*, 2010).

Apenas uma pequena fração das células estimuladas durante a infecção primária sobrevive na forma de células de memória. Estas células se mantêm em níveis relativamente constantes mesmo na ausência do antígeno que desencadeou a resposta, podendo permanecer viáveis, teoricamente, por toda a vida do organismo. A sobrevivência destas células é determinada pelos níveis de determinadas citocinas, liberadas em nichos específicos, as quais regularão o tamanho do estoque de memória (*memory pool*).

Ainda existem muitas questões a serem respondidas sobre o funcionamento da memória imunológica, mas foi o conhecimento básico de suas funções que nos permitiu evoluir no desenvolvimento de vacinas (Sallusto *et al.*, 2010). Apesar das dificuldades e do número relativamente baixo de vacinas efetivamente aprovadas para o uso em humanos, estima-se que em breve uma nova geração de vacinas será desenvolvida, baseada em um melhor entendimento do sistema imune e dos detalhes moleculares envolvidos em sua interação com os patógenos.

1.7 Imunidade Heteróloga e Reatividade Cruzada

O segundo contato com um alvo contra o qual o organismo foi previamente imunizado leva a reativação das células de memória. No entanto, o contato com um segundo agente – diferente daquele presente no primeiro contato – pode também recrutar uma parte destas células de memórias, as quais serão ativadas, podendo proteger o indivíduo contra este alvo desconhecido. Este fenômeno pelo qual um contato prévio com um agente induz um estado de imunidade que pode conferir

proteção parcial contra outros imunógenos (relacionados ou não), ou afetar de maneira significativa a resposta ao segundo alvo (causando alterações no curso da patologia) foi denominado imunidade heteróloga.

Consideremos que respostas imunes estão sendo montadas a todo instante e que parte dos linfócitos pré-ativados está sendo direcionada para o *pool* de memória. Consideremos ainda que estas células de memória irão se ativar de forma mais rápida e intensa que as células “virgens” e que tal ativação pode ser desencadeada por抗ígenos heterólogos. Tendo em vista tais considerações, chega-se facilmente à conclusão de que a resposta imunológica de um determinado indivíduo frente a um determinado patógeno será seriamente influenciada pelo conjunto de infecções sofridas por este indivíduo ao longo de sua vida (história imunológica). Adicionalmente, pode-se concluir que a própria imunização induzida por uma vacinação irá seguir caminhos distintos em cada indivíduo, e principalmente em grupos étnicos independentes, tendo em vista não só a diversidade genética, mas também a história imunológica dos indivíduos ou grupos (Welsh *et al.*, 2010; Welsh & Selin, 2002).

A diferenciação de linfócitos T CD8+ em células de memória não altera a especificidade de seus TCRs, logo, a reativação deste grupo de células é dependente do reconhecimento dos novos pMHCs, pelos mesmos TCRs das células de memória. Considerando que infecções subseqüentes com vírus heterólogos gerarão complexos pMHC apresentando diferentes peptídeos virais, a imunidade heteróloga só é possível mediante um reconhecimento degenerado por parte do linfócito T. O termo reatividade cruzada foi utilizado para definir esta capacidade de um linfócito T em reconhecer peptídeos não relacionados, provenientes de um mesmo organismo ou mesmo de organismos heterólogos (Welsh *et al.*, 2010; Welsh & Fujinami, 2007). Contrariando a visão clássica da imunologia, acredita-se que um mesmo TCR possa reconhecer mais de um milhão de diferentes complexos pMHC (Mason, 1998) e há cada vez mais dados corroborando a ocorrência de reconhecimento degenerado pelo TCR (Godfrey *et al.*, 2008; Welsh *et al.*, 2010). Cabe ressaltar que existe uma grande variação de especificidade no reconhecimento destes diferentes complexos pMHC, sendo que sua interação com o TCR poderá desencadear comportamentos distintos no linfócito T (conforme apresentado na sessão 1.5).

Linfócitos T são, ao mesmo tempo, específicos e poli-específicos (outro termo empregado para se referir a reatividade cruzada). Específicos no sentido que reconhecem apenas uma pequena fração do universo de possíveis pMHCs e poli-específicos no sentido que esta pequena fração pode incluir complexos completamente não relacionados, formados pela interação de diferentes alelos de MHC com diversos peptídeos (Welsh *et al.*, 2010). No entanto, para que consigam estimular especificamente uma mesma população de linfócitos, pMHCs não relacionados devem certamente compartilhar algum conjunto de características. Uma discussão mais detalhada sobre a provável natureza destas características compartilhadas será apresentada mais adiante.

A poli-especificidade dos TCRs é em parte fruto do próprio processo de seleção dos linfócitos. A princípio eles devem ser positivamente selecionados no timo ao reconhecerem, com baixa afinidade, complexos pMHC formados por peptídeos próprios apresentados do contexto de MHCs próprios. Posteriormente, devem se ativar na periferia ao reconhecer peptídeos não-próprios apresentados no mesmo contexto dos MHCs próprios. A flexibilidade da estrutura do TCR também tem uma importante contribuição para a poli-especificidade. A formação do complexo TCR/pMHC inicia pela interação com determinadas regiões na estrutura do MHC, normalmente na mesma orientação, o que é sucedido por mudanças conformacionais no TCR, sobretudo na alça CDR3, buscando o melhor ajuste a este determinado complexo pMHC. Durante este ajuste o TCR acabará também estabelecendo interações diretas com aminoácidos do peptídeo, embora a maior parte de seu contato continue sendo estabelecida com a própria molécula apresentadora (Welsh *et al.*, 2010).

Adicionalmente as características intrínsecas à estrutura do TCR e ao processo de seleção dos linfócitos, um dos principais motivos para a ocorrência da reatividade cruzada parece ser a limitação de espaço imposta ao sistema imune. Cada vez que uma população de células expande, uma outra população de células deverá ser eliminada, mantendo o número total de linfócitos relativamente estável. Não será possível, portanto, guardar células de memória contra todos os抗ígenos com os quais se teve contato sendo, neste contexto, de especial importância a existência de células de memória poli-específicas, as quais poderão maximizar a capacidade de resposta do estoque de memória enquanto minimizam o espaço físico

necessário a seu armazenamento (Selin *et al.*, 2004; Welsh & Selin, 2002). A reatividade cruzada está possivelmente envolvida em muitos outros mecanismos do sistema imune, como na seleção positiva de timócitos imaturos, na indução de autoimunidade por mimetismo molecular, na diferenciação de linfócitos e na manutenção da memória de longo prazo (Reali *et al.*, 1999; Regner, 2001).

Existem muitos relatos de imunidade heteróloga entre infecções por vírus não relacionados e de autoimunidade induzida por *mimetismo molecular* (Sandalova *et al.*, 2005), bem como um amplo entendimento das implicações deste fenômeno sobre a atividade do sistema imune (Welsh *et al.*, 2010). No entanto, as propriedades moleculares que possibilitam o reconhecimento cruzado de dois complexos pMHC distintos por uma mesma população de linfócitos ainda não foram completamente esclarecidos. Os primeiros trabalhos abordando reatividade cruzada identificaram como alvos epitopos que compartilhavam entre si a maior parte da seqüência de aminoácidos (Wedemeyer *et al.*, 2001), no entanto, já foram demonstrados *in vitro* alguns casos de reatividade cruzada entre epitopos que compartilhavam menos de 50% da seqüência (Clute *et al.*, 2005). Mais recentemente, foi verificada a contribuição das características físico-químicas dos aminoácidos (Vieira & Chies, 2005), apresentando inclusive certo sucesso ao tentar predizer a reatividade cruzada induzida por epitopos com sequências relativamente distintas (Frankild *et al.*, 2008). A flexibilidade do reconhecimento pelo TCR, no entanto, parece ir além daquela limitada pelos grupos de aminoácidos. Estudos com variantes do Vírus da Hepatite C, por exemplo, demonstraram que mesmo trocas conservadas de aminoácidos em sequências de epitopos imunodominantes, podem levar a completa abolição do reconhecimento por linfócitos T específicos contra a sequência selvagem (Fytilli *et al.*, 2008).

1.8 O Vírus da Hepatite C (HCV)

O Vírus da Hepatite C (HCV, do inglês *Hepatitis C Virus*), representa um sério problema global de saúde pública, afetando cerca de 3% de toda a população humana (Walker, 2010; Zeisel *et al.*, 2009). A maior parte das infecções, cerca de 70% dos casos, resulta em persistência do vírus no organismo do hospedeiro, sendo a principal causa de doença crônica do fígado, cirrose hepática e carcinoma hepatocelular. Os demais indivíduos, menos de 30% dos casos, resolvem

espontaneamente a infecção, normalmente adquirindo uma imunidade protetora contra futuras exposições ao patógeno. A resposta imune celular parece desempenhar um papel fundamental no resultado da infecção, tendo sido associada tanto à eliminação do vírus (*clearance*) quanto à imunopatologia associada ao HCV (Thimme *et al.*, 2002; Vertuani *et al.*, 2002).

O HCV é um vírus envelopado com cerca de 50 nm de diâmetro, classificado como um gênero distinto, Hepacivirus, dentro da família Flaviviridae. Seu genoma é constituído por uma molécula de RNA, fita simples, com polaridade positiva e contendo uma única ORF (*Open Reading Frame*). Esta ORF codifica uma poliproteína com cerca de 3 mil aminoácidos, a qual é processada tanto por proteases celulares quanto virais, dando origem a 10 proteínas maduras (Bostan & Mahmood, 2010).

Conforme esperado para um vírus de RNA, uma enorme variabilidade nucleotídica tem sido descrita nas sequências de HCV. A análise filogenética destas sequências levou a uma classificação em seis genótipos, os quais foram confirmados por uma série de estudos independentes (Bostan & Mahmood, 2010; Simmonds *et al.*, 2005; Simmonds *et al.*, 1993). No entanto, o acúmulo de substituições nucleotídicas levou a uma intensa diversificação dos vírus agrupados em cada genótipo, levando a uma classificação em vários subtipos e *quasispecies* (Chayama & Hayes, 2011).

A identificação dos diferentes genótipos é clinicamente importante por uma série de razões. Em primeiro lugar, ela permite o ajuste da dose e da duração do tratamento padrão, o qual faz o uso combinado de IFN- α peguilado e Ribavirina. Já foi verificado, por exemplo, que os genótipos 1 e 4 são mais resistentes a terapias baseadas em IFN do que os genótipos 2 e 3 (Bostan & Mahmood, 2010; Chayama & Hayes, 2011). Em segundo lugar, as diferenças entre os genótipos podem ser decisivas para o resultado da resposta imune celular e, consequentemente, para a imunidade ao HCV de forma geral.

A resposta imune celular, sobretudo quando desencadeada de forma intensa nas fases iniciais da infecção, foi associada ao controle e a erradicação do vírus. Além disso, foram identificados alguns alvos imunodominantes na RIC, dentre os quais se destaca o epitopo NS3₁₀₇₃ (CV/INGVCWTV) (Hiroishi *et al.*, 2010). No entanto, mesmo uma limitada variação em um destes alvos imunodominantes pode

levar a ação defectiva de CTLs HCV-específicos, o que levaria à persistência viral e à infecção crônica (Wedemeyer *et al.*, 2002). Esta hipótese foi reforçada por resultados com modelos de infecção por HCV em chimpanzés (*Pan troglodytes*), nos quais animais desafiados com genótipos heterólogos de HCV mantiveram a viremia por mais tempo e desenvolveram infecção crônica em uma taxa similar à de infecções primárias (Prince *et al.*, 2005).

1.9 Desenvolvimento de Vacinas anti-HCV

O HCV representa um dos maiores desafios modernos para o desenvolvimento de vacinas. A vacinologia convencional utiliza basicamente dois métodos: O primeiro diz respeito a atenuação de patógenos através de passagens sequenciais *in vitro*, para obter cepas íntegras que possam ser utilizadas em vacinas atenuadas, e o segundo, realiza a identificação de抗ígenos que possam ser utilizados em vacinas inativadas ou de subunidades (Rappuoli, 2000). Em ambos os casos, a etapa inicial do processo diz respeito ao cultivo do patógeno em laboratório. O cultivo *in vitro* de HCV, no entanto, mostrou-se um grande desafio, o qual só foi recentemente superado (Uprichard, 2010).

Vacinas com vírus atenuados permanecem sendo uma das mais eficientes estratégias de imunização. Como as partículas virais utilizadas neste tipo de vacina conservam sua capacidade de replicar e infectar novas células, elas acabam desencadeando todos os mecanismos da imunidade antiviral, incluindo a ativação de CTLs, a produção de anticorpos e a geração de células de memória. No entanto, este tipo de abordagem não é viável no caso do HCV e do HIV (do inglês *Human Immunodeficiency Virus*), por questões de segurança. Uma vez que a partícula vacinal conserva sua capacidade replicativa, existe o risco de que ela sofra recombinação com variantes selvagens do vírus, recuperando sua virulência ou até mesmo dando origem a um novo vírus ainda mais agressivo que as variantes conhecidas. Não obstante, ainda existe a questão da variabilidade do vírus e da aparente falta de proteção frente a genótipos heterólogos. Considerando os pontos previamente abordados nesta introdução, podemos antecipar o fato de que a simples produção de uma variante atenuada de HCV não resultaria na produção de uma vacina protetora contra todos os genótipos circulantes (Woolard & Kumaraguru, 2010).

Vacinas contendo partículas virais inativadas, ou apenas subunidades de um vírus, são certamente mais seguras, uma vez que são incapazes de causar infecção ou sofrer recombinação. Estas características também as tornam reconhecidamente menos imunogênicas, mesmo em combinação com adjuvantes. Apesar de sua baixa capacidade de estimular a resposta imune celular, tais vacinas podem ser utilizadas com sucesso para estimular a produção de anticorpos neutralizantes. Em alguns casos, a resposta humoral pode ser suficiente para proteger o organismo, mas isto não ocorre com o HCV. Neste caso, os anticorpos neutralizantes parecem desempenhar um papel negligenciável no controle da infecção e na prevenção de reinfecções, sendo que indivíduos apresentando os níveis mais altos de anticorpos acabam posteriormente desenvolvendo doença crônica (Woolard & Kumaraguru, 2010). Também neste caso, a variabilidade do vírus parece ser um dos principais obstáculos. Em indivíduos infectados, o HCV se encontra distribuído em *quasispecies*, um conjunto de variantes em constante mudança mas ainda proximamente relacionadas. Diversificação desta população viral, associada a demora na produção de altos títulos de anticorpos neutralizantes, permite o escape viral e o estabelecimento da infecção crônica (Zeisel *et al.*, 2009).

O planejamento de uma vacina eficiente também deve levar em consideração os mecanismos de escape viral. Não por acaso, o HCV conta com um amplo arsenal de mecanismos capazes de driblar a resposta imune do hospedeiro. Além da alta variabilidade antigenica, que *per se* constitui um mecanismo de escape, o HCV é ainda capaz de inibir a produção de IFN do tipo I e suprimir a atuação de células NK, linfócitos T e células dendríticas. Adicionalmente, o HCV é capaz de induzir linfócitos T regulatórios (Treg), os quais se encarregam da supressão periférica da resposta imune (Hiroishi *et al.*, 2010).

Tendo em vista as dificuldades encontradas para se desenvolver uma vacina efetiva contra alguns patógenos, especialmente o HCV, e considerando que muitos deles já possuíam genoma sequenciado, foi proposta a Vacinologia Reversa como uma estratégia alternativa aos métodos convencionais (Rappuoli, 2000). Esta abordagem prevê o uso de ferramentas de bioinformática para analisar o genoma do patógeno e predizer os抗ígenos com maior probabilidade de se tornarem candidatos ao uso em vacinas. Após identificado, este alvo pode ser incluído diretamente na formulação de uma vacina de DNA. Neste caso, um fragmento de

cDNA contendo a informação dos抗ígenos selecionados é incluído na sequência de um vetor, que pode ser um plasmídeo ou um vírus modificado, e este construto será administrado ao indivíduo. Demonstrou-se que em modelos animais estes vetores eram rapidamente incorporados por células do hospedeiro, levando a expressão do抗ígeno e a indução da resposta imune. Apesar destes bons resultados e da grande expectativa gerada, estudos em animais maiores não foram tão promissores, tendo sido verificada baixa imunogenicidade das vacinas de DNA em humanos. Estudos mais recentes tem demonstrado algum sucesso utilizando vacinas de DNA como parte de uma estratégia de vacinação em múltiplas doses, especialmente quando combinada com outros métodos de vacinação (Alvarez-Lajonchere & Dueñas-Carrera, 2009; Castellanos *et al.*, 2010; Lu, 2009).

1.10 A Bioinformática e suas aplicações à imunologia

A bioinformática é uma nova disciplina científica com raízes nas ciências da computação, na estatística e na biologia molecular. Ela desenvolveu-se para enfrentar os problemas referentes ao acúmulo de resultados das iniciativas de sequenciamento de genes, que incluem uma quantidade cada vez maior de dados sobre proteínas, DNA e RNA. A bioinformática nos fornece uma série de ferramentas para o estudo *in silico* de problemas biológicos, como o alinhamento de sequências, a modelagem de proteínas, a simulação de interações moleculares, redes gênicas e até mesmo o estudo de rotas metabólicas.

Tendo em vista sua origem, a bioinformática pode ainda ser dividida em Clássica, voltada à análise de sequências, e Estrutural, voltada a análise de estruturas tridimensionais. Este segundo ramo da bioinformática é mais recente, tendo em vista a dificuldade de se trabalhar com aspectos tridimensionais na interpretação de fenômenos biológicos. No entanto, cabe ressaltar que a bioinformática estrutural acabou incorporando uma série de conceitos e ferramentas que já vinham sendo desenvolvidos nos campos da química e da física, desde a década de 60, em uma área usualmente denominada Modelagem Molecular.

Uma importante ferramenta, muito utilizada em trabalhos de bioinformática estrutural, é o chamado *Docking*, ou “Ancoramento” Molecular. Esta ferramenta vem sendo utilizada com sucesso para realizar a complexação entre um ligante e seu receptor ou explorar os possíveis sítios de interação (caso existentes) entre um

composto e uma proteína de interesse (Morris, 1998). Usualmente, são mantidas algumas ligações flexíveis no ligante (com liberdade rotacional), enquanto o receptor é mantido completamente rígido. Vários trabalhos descrevem o uso desta ferramenta no design de fármacos e estudos de interação sítio-específica, colaborando para a melhor compreensão do funcionamento de certos compostos e para o desenvolvimento de novas drogas (Cavasotto & Orry, 2007). O *docking* normalmente parte de uma estrutura previamente determinada do receptor, em muitos casos já complexada a um determinado ligante. O procedimento de retirada do ligante, seguida pelo *docking* deste mesmo ligante na fenda do receptor, é chamado *redocking*. Este procedimento é normalmente utilizado para padronizar parâmetros do *docking*, utilizando o cristal como controle. Por outro lado, a retirada do ligante que estava presente no cristal, seguida por *docking* de um ligante diferente é chamada *cross-docking*. O *cross-docking* representa evidentemente um desafio maior, uma vez que o receptor, mantido rígido durante o processo de busca pela melhor conformação do ligante, provavelmente não se encontra na conformação mais adequada para interagir com este novo alvo.

Para refinar os modelos gerados por *docking* pode-se utilizar a Minimização de Energia (EM). Esta técnica reduz a energia do sistema a um estado mínimo, no qual não há fontes de energia externas (Morikis & Lambris, 2004). Outra ferramenta bastante empregada em estudos estruturais é a Dinâmica Molecular (MD, do inglês *Molecular Dynamics*). Este procedimento simula o comportamento da proteína de interesse em solução aquosa, agregando energia ao sistema e permitindo a observação de variações conformacionais. Após uma etapa de preparação do sistema, a simulação é normalmente mantida a uma temperatura equivalente a 37°C, buscando mimetizar o estado desta proteína *in vivo* (Arnaudova *et al.*, 2009).

Conforme discutido na sessão anterior, a bioinformática também foi sugerida como uma ferramenta para análise de sequências de patógenos e a identificação de possíveis alvos para o desenvolvimento de vacinas. O próprio processo *in vivo* de identificação de抗ígenos pelo sistema imune segue um conjunto de regras que podem ser simuladas em computador. Surgiu assim uma série de preditores capazes de simular etapas do processamento de抗ígenos, bem como bancos de dados catalogando ligantes de TAP, ligantes de MHC e as características e restrições dos alelos de MHC conhecidos. Este conjunto de aplicações da bioinformática à

imunologia cresceu e se diversificou rapidamente, vindo a ser referido como um novo campo de pesquisa, a imunoinformática (Korber *et al.*, 2006; Tomar & De, 2010). Neste contexto também tem sido empregadas ferramentas de bioinformática estrutural, como o *docking* molecular, sobretudo na predição da estrutura tridimensional de complexos pMHC.

1.11 Predição da estrutura tridimensional de complexos pMHC

Os métodos experimentais mais utilizados para a resolução da estrutura tridimensional de moléculas biológicas são a Cristalografia de Raio X e a Ressonância Nuclear Magnética (NMR, do inglês *Nuclear Magnetic Resonance*). Infelizmente ambos os métodos apresentam um elevado custo, além de apresentarem uma série de limitações e demandarem muito tempo para a resolução de cada estrutura. Algumas destas limitações tem sido contornadas por uma série de inovações no campo da cristalografia e se acredita que o número de estruturas resolvidas irá crescer bastante nos próximos anos (Jaskolski, 2010). Apesar dessa expectativa otimista, a variabilidade dos sistemas biológicos está muito além da capacidade de resolução dos métodos experimentais atuais. O *locus* do HLA-B, por exemplo, possui mais de 2.069 alelos, cada um dos quais pode apresentar mais de um milhão de peptídeos. O conhecimento da estrutura de cada um desses 2 bilhões e sessenta e nove milhões de complexos pMHC seria do interesse da imunologia, tendo em vista todas as questões anteriormente abordadas, mas este objetivo se torna absolutamente inviável considerando-se as metodologias experimentais.

O PDB (do inglês *Protein Data Bank*) é referido como o principal repositório de estruturas tridimensionais, possuindo hoje quase 80 mil estruturas depositadas (Berman *et al.*, 2000). No entanto, uma busca no *IMGT/3Dstructure-DB* – banco de dados estruturais de proteínas do sistema imune, curados à partir do PDB – revela que deste total de estruturas já determinadas, apenas 359 se referem a complexos pMHC (Kaas *et al.*, 2004). Se restringirmos nossa busca a um organismo específico, ou a um determinado alelo de MHC, conseguiremos recuperar um número muito menor de estruturas. Por exemplo, uma busca no *IMGT/3Dstructure-DB* pelo alelo de MHC HLA-A2*02:01, o mais frequente nas populações humanas (<http://www.allelefrequencies.net/>), nos retorna apenas cerca de 125 estruturas, das quais muitas ainda apresentam o mesmo peptídeo (estruturas redundantes).

Conforme apresentado nas sessões anteriores, o conhecimento da estrutura dos complexos pMHC é fundamental para a compreensão dos detalhes envolvidos na regulação da resposta imune celular. Aspectos estruturais destes complexos podem ser a base para esclarecermos fenômenos como autoimunidade, imunidade heteróloga, resposta imune ao câncer e rejeição a transplantes. Tendo em vista as limitações das metodologias experimentais, a predição acurada da estrutura tridimensional de complexos pMHC se tornou um dos principais desafios no campo da imunoinformática. Técnicas já consolidadas no campo da bioinformática estrutural, como o *docking* molecular, passaram a ser empregadas neste contexto, esbarrando inicialmente em uma série de peculiaridades do sistema pMHC.

A maioria das aplicações do *docking* molecular utiliza ligantes com até 10 ligações flexíveis (com liberdade rotacional) e receptores rígidos, ou apenas parcialmente flexíveis. Ligantes com um número maior de ligações flexíveis são muito mais difíceis de resolver, mesmo utilizando receptores completamente rígidos (Cecchini *et al.*, 2004; Fuhrmann *et al.*, 2010; Kang *et al.*, 2009). Um peptídeo típico, com 9 aminoácidos (9-mer), possui entre 35 e 44 ligações flexíveis, número que pode ser ainda maior de acordo com a sequência de aminoácidos do epitopo em questão. Além disso, se utilizarmos uma única estrutura de MHC para receber qualquer peptídeo que pode ser apresentado por este alelo (*cross-docking*), é preciso considerar que as cadeias laterais na fenda do receptor não estão na conformação mais adequada para receber todos estes ligantes, fazendo-se necessário o ajuste da fenda para cada ligante.

Buscando contornar as dificuldades encontradas na reconstrução *in silico* de complexos pMHC, muitos grupos optaram por dividir a predição da conformação do ligante em problemas menores. Por exemplo, abordar separadamente a predição das extremidades e da porção central, avaliar primeiro a cadeia principal e depois as cadeias laterais, ou até mesmo calcular independentemente a conformação de cada um dos aminoácidos do ligante (Bordner & Abagyan, 2006). Embora vários grupos continuem estudando novas formas de abordar o problema, inclusive apresentando algum sucesso em casos específicos, e embora também esteja sendo evidenciada a contribuição dos métodos baseados em estrutura para a predição de ligação ao MHC, até agora nenhuma metodologia foi capaz de reproduzir um número grande de estruturas e tampouco se destacou como protocolo padrão para a construção *in silico*

de complexos pMHC (Bordner & Abagyan, 2006; Lafuente & Reche, 2009; Lundegaard *et al.*, 2010).

Em um trabalho anterior, nosso grupo sobreporá as estruturas de epitopos apresentados pelos alelos murinos H2-D^b e H2-K^b (Antunes, 2008). Este estudo sugeriu a existência de padrões conformacionais, compartilhados entre epitopos apresentados por um dado alelo. Estes padrões se aplicavam sobretudo a cadeia principal dos epitopos, enquanto as cadeias laterais sofriam um ajuste mais flexível, determinado por características estruturais da fenda. Embora o estudo tenha envolvido apenas dois alelos de MHC murinos, acreditamos que a existência destes padrões possa ser extrapolada para outros alelos, inclusive humanos.

A existência de tais padrões alelo-específicos nos remete à interpretação de que a conformação do epitopo no contexto do MHC é ativamente determinada pelo formato da fenda deste alelo. Assim sendo, podemos antecipar que mesmo epitopos com sequências distintas, ou cuja estrutura não foi determinada, adotarão - salvo exceções - a mesma conformação no contexto de um dado alelo de MHC. Do mesmo modo, o problema de predição da estrutura de complexos pMHC pode ser simplificado para aqueles alelos em que o padrão conformacional do peptídeo já foi determinado, uma vez que pode-se assumir esta conformação padrão para a cadeia principal e concentrar-se na resolução das cadeias laterais do epitopo. Estas foram as premissas que levaram ao desenvolvimento de uma nova abordagem para a construção de complexos pMHC, a qual será apresentada no próximo capítulo. Além de fornecer a estrutura de complexos que ainda não haviam sido determinados, esta estratégia foi empregada para o estudo *in silico* da reatividade cruzada entre epitopos de HCV, no contexto do alelo de MHC humano HLA-A*02:01.

2 Objetivos:

O objetivo do presente trabalho foi identificar características estruturais e físico-químicas que possam estar envolvidas na estimulação da resposta imune, bem como no reconhecimento cruzado de diferentes complexos pMHC por uma mesma população de linfócitos, utilizando como modelo de estudo o alelo de MHC humano HLA-A2*02:01.

Capítulo II

Structural allele-specific patterns adopted by epitopes in the MHC-I cleft and reconstruction of MHC:peptide complexes to cross-reactivity assessment - Artigo completo publicado na revista PLoS One.

Structural Allele-Specific Patterns Adopted by Epitopes in the MHC-I Cleft and Reconstruction of MHC:peptide Complexes to Cross-Reactivity Assessment

Dinler A. Antunes¹, Gustavo F. Vieira¹, Maurício M. Rigo, Samuel P. Cibulski, Marialva Sinigaglia,
José A. B. Chies*

Núcleo de Bioinformática do Laboratório de Imunogenética, Department of Genetics, Federal University of Rio Grande do Sul, Porto Alegre, Brasil

Abstract

The immune system is engaged in a constant antigenic surveillance through the Major Histocompatibility Complex (MHC) class I antigen presentation pathway. This is an efficient mechanism for detection of intracellular infections, especially viral ones. In this work we describe conformational patterns shared by epitopes presented by a given MHC allele and use these features to develop a docking approach that simulates the peptide loading into the MHC cleft. Our strategy, to construct *in silico* MHC:peptide complexes, was successfully tested by reproducing four different crystal structures of MHC-I molecules available at the Protein Data Bank (PDB). An *in silico* study of cross-reactivity potential was also performed between the wild-type complex HLA-A2-NS31073 and nine MHC:peptide complexes presenting alanine exchange peptides. This indicates that structural similarities among the complexes can give us important clues about cross reactivity. The approach used in this work allows the selection of epitopes with potential to induce cross-reactive immune responses, providing useful tools for studies in autoimmunity and to the development of more comprehensive vaccines.

Citation: Antunes DA, Vieira GF, Rigo MM, Cibulski SP, Sinigaglia M, et al. (2010) Structural Allele-Specific Patterns Adopted by Epitopes in the MHC-I Cleft and Reconstruction of MHC:peptide Complexes to Cross-Reactivity Assessment. PLoS ONE 5(4): e10353. doi:10.1371/journal.pone.0010353

Editor: Anna Carla Goldberg, Albert Einstein Institute for Research and Education, Brazil

Received November 20, 2009; **Accepted** March 28, 2010; **Published** April 26, 2010

Copyright: © 2010 Antunes et al. This is an open-access article distributed under the terms of the Creative Commons Attribution License, which permits unrestricted use, distribution, and reproduction in any medium, provided the original author and source are credited.

Funding: DAA and JABC received a CNPq (Conselho Nacional de Desenvolvimento Científico e Tecnológico) grant and GVF received a CAPES (Coordenação de Aperfeiçoamento de Pessoal de Nível Superior) grant. Funded by a grant from Bill & Melinda Gates Foundation through the Grand Challenges Exploration Initiative. The funders had no role in study design, data collection and analysis, decision to publish, or preparation of the manuscript.

Competing Interests: The authors have declared that no competing interests exist.

* E-mail: jabchies@terra.com.br

• These authors contributed equally to this work.

Introduction

Cytotoxic T Lymphocytes (CTLs) recognize processed peptides presented in the context of the Major Histocompatibility Complex (MHC) class I, on the surface of nucleated cells [1]. The presented peptides, or epitopes, are short sequences with eight to twelve amino acids in length. These epitopes are derived from proteins endogenous to the cell and could derive from the cell itself or from intracellular parasites, making this pathway an important mechanism for antiviral defense [2]. The interaction between a T Cell Receptor (TCR) and the MHC:peptide complex (pMHC) is degenerated. It has been proposed that one single TCR can recognize up to 10^6 different pMHCs [3]. This capacity of one TCR to recognize different epitopes defines the phenomenon of cross-reactivity [4].

The term “heterologous immunity” is used to describe a partial immunity induced against a pathogen through the host immunization with a non-related pathogen or antigen. This phenomenon, directly related to the mechanism of cross-reactivity, depends on the immunological history of the host and, consequently, on memory lymphocytes. Heterologous immunity can be involved in situations as diverse as pathogen clearance, chronic viral infection or autoimmunity induction [5]. There are several reports of heterologous immunity among non-related viruses and also reports on autoimmunity induced by molecular mimicry [6,7,8], but the mechanisms that establish such

cross-reactions have not been completely solved [4]. Most studies on cross-reactivity are focused on very similar epitopes that share almost all amino acids [9]. However, cross-reactivity *in vitro* was already observed between epitopes that share less than 40% of their linear amino acid sequences [10]. Therefore, we need to look beyond the linear amino acid sequences to study or predict cross recognition between peptides. It is important to evaluate structural and chemical features such as amino acids physicochemical characteristics of the peptide [11], topology and electrostatic potential of the MHC:peptide complex [7,8].

The HLA-A2-restricted NS3₁₀₇₃ epitope (CI/VNGVCWTV) is one of the main targets of the CTL response against Hepatitis C Virus (HCV) and has been also reported in cross-reactivity events [9,12,13]. In a work published in 2008, Fytilli and colleagues investigated the relevance of each amino acid position of this epitope, for T cell recognition [13]. They tested alanine exchange peptides against NS3₁₀₇₃-specific CD8+ T cells and found that even single amino acid changes could almost completely abolish the production of interferon- α by wild-type-specific T cells.

Molecular docking, as a bioinformatic tool, has been successfully used to both perform the complexation between a ligand and its receptor as well as to explore possible sites of interaction between a given compound and one protein of interest [14]. There have been several works describing the use of molecular docking in drug design, not only contributing to a better understanding of the

functions of already described active compounds, but also adding to the development of new ones [15]. To refine the models generated by docking, an approach based on Energy Minimization (EM) can be used. This technique, normally performed in aqueous solution, induces the protein and its ligand to adopt a more stable conformation, closer to *in vivo* state [16,17].

In the present work we performed a full search of the MHC structures available at the PDB, and identified conformational patterns shared by epitopes presented by a given allele. Besides an immunologically interesting finding, these features allow us to construct pMHC complexes with any peptide of interest. For instance, through the combined use of molecular docking and EM, we built the structure of the NS3₁₀₇₃ epitope in the context of the HLA-A*0201 allele (HLA-A2-NS3₁₀₇₃), aiming to identify the existence of molecular characteristics which may be involved in the stimulation of immune response. The strategy used to build this complex, followed by the use of softwares that enabled us to analyze structural and chemical features of the generated complexes, allowed us to study new pMHCs under the TCR “point of view”, and therefore, to infer a cross-reactive potential between two different epitopes [7,8,18]. In this context, peptide targets could be further synthesized for *in vitro* confirmation of their immunogenicity and cross-reactive potential against other targets of interest, such as immunodominant epitopes of related viruses. Once confirmed these features of interest, these targets could be used in polytope DNA vaccines, especially for heterologous prime-boost approaches [19,20,21,22].

Results and Discussion

Identification of an allele specific structural epitope pattern

We have performed a search for all MHC-I structures deposited at PDB and have analyzed the conformation of different epitopes presented by these MHC molecules. A conformational pattern, specific for each allele, has been observed, evidencing that the tridimensional structure of the presented epitope is not solely an intrinsic characteristic of the epitope itself (i.e. due to the amino acid sequence *per se*), but is actively determined by the MHC-I cleft, which varies according to the MHC allele (Figures 1 and 2). The structural data of the epitopes capable to bind to the H-2D^b and H-2K^b molecules (the murine MHC alleles with the highest number of structures at the PDB) were analyzed taking into consideration both their anchor positions as well as the cleft structure. The results indicated the regions of the epitope that suffer a restraint and those that could accept variations in the amino acid side chains. We postulate that more restrained regions were related to the MHC binding although regions more “flexible” and exposed would contact with the TCR, therefore defining the pMHC specificity (Figure S1).

Although the sequence of some of the epitopes included in this analysis differs by just one amino acid, what could bias the identification of a general pattern of an allele, epitopes with far different sequences maintained the same pattern. Moreover, variants of the same epitopes were included based on the idea that the exchange of any amino acid can induce an alteration in the backbone torsions and even abrogate the recognition by a TCR [13,23]. When analyzing the structures, we verified that exceptions to the pattern occur as a requirement needed to accommodate longer sequences on the MHC cleft. We also realized that structural patterns are specific for a given MHC allele, so that epitopes presented by different alleles shows different conformations (Figure 1A). Furthermore, previous works already indicated that a same epitope will adopt different conformations when presented by

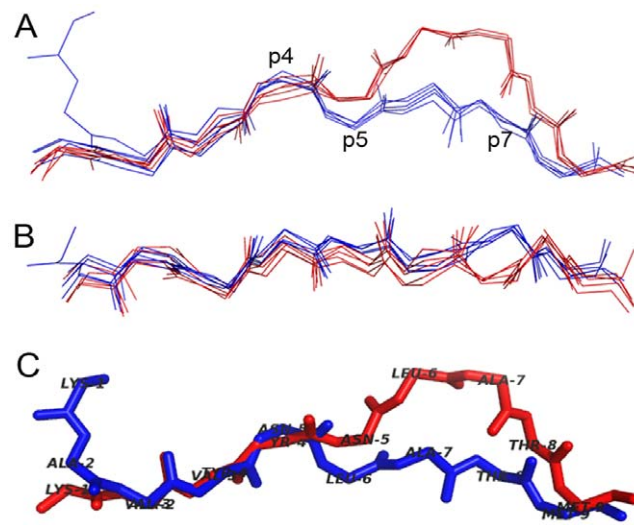


Figure 1. Superposition of H-2D^b-H-2K^b-restricted epitopes. Structures of five H-2D^b-restricted epitopes (1CE6, 1S7V, 1WBZ, 1ZHB and 3BUY) and of five H-2K^b-restricted epitopes (1FO0, 1FZJ, 1LK2, 1RJY and 1S7R) were superposed. The color pattern was kept on figures A, B and C. A: The side view shows the conformational differences among the H-2D^b (red) and the H-2K^b-restricted epitopes (blue), especially between positions 5 and 7 (p5-7). B: Top view of the 10 superposed peptides. C: Two crystal structures (1S7V and 1S7R) representing the same epitope (KAVYNLATM) in the context of these two different alleles.
doi:10.1371/journal.pone.0010353.g001

different MHC alleles (Figure 1C) [24]. Together, these data indicate that the epitope conformation in the MHC cleft is determined both by its linear sequence and the cleft topology.

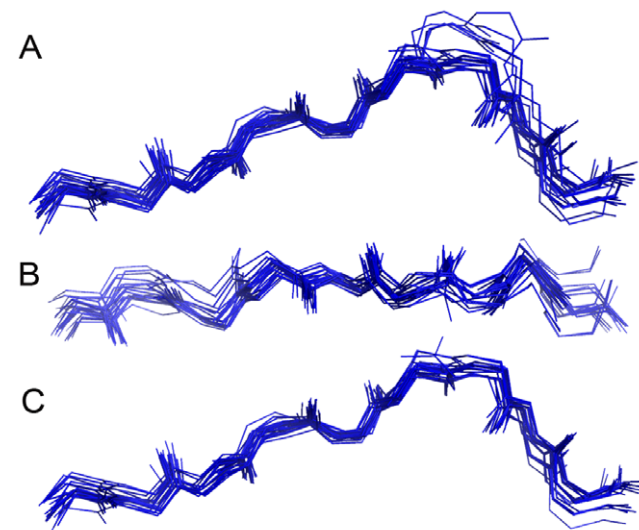


Figure 2. Conformational pattern of H-2D^b-restricted epitopes. A: Crystal structures of 28 epitopes (Table 1) - size range between 8 and 11 amino acids - were superposed. It is possible to observe the existence of a shared pattern among the epitopes main chains (backbone). The orientation (N-terminal to C-terminal) was kept. B: Top view of the same 28 epitopes. C: Only the epitopes with nine amino acids were superposed, showing that the variability among the epitopes structure is determined by differences in length. The side chains of the epitopes were not represented in these images, and an amino acid (p7) of epitope 2VE6 (altered photocleavable peptide) was excluded.
doi:10.1371/journal.pone.0010353.g002

During the peptide loading process, the epitope is induced to adopt an adequate conformation and to do so, some features specific for each MHC allele are required. Most of these features had already been discussed in literature, but they have not as yet been directly related to conformational patterns of the presented epitopes. For instance, the differences between peptides restricted to H2-D^b and H2-K^b can be partially explained based on the pattern of hydrogen bonds generated between the peptide and the MHC molecule in each allele [25] and the presence of a tryptophan residue (Trp73), in the D^b molecule [26] (Figure 3). The Alpha-2 domain (α 2) of MHC-I molecules is constituted by two segments of α -helix joined by a little loop that protrudes from the cleft. We verified that in most cases the peptide backbone follows the α 2 structure, having a bulge at the C-terminal, in the same region of the bulged coil. Part of this bulge is probably induced by the presence of a tryptophan residue (Trp147) in the α 2 domain that is highly conserved in several MHC alleles. H2-D^b-restricted epitopes have an even higher bulge at C term (p6-8) because this allele has a second tryptophan residue (Trp73), in the same region, but from the α 1 domain. These two residues almost close the cleft, forcing the peptide to pass above them (Figure S2). An alignment of all entire sequences of H2-D^b, H2-K^b and HLA-A*0201 available at PDB, has revealed the presence of the Trp147 in all sequences of these alleles. All the sequences of H2-D^b also have the Trp73 residue. The H2-K^b sequences have serine in position 73 of α chain. The absence of the tryptophan results in a deeper cleft in this region. Besides, we verified that in some cases (e.g. 1LK2) the serine residue at this site also establishes an hydrogen bound with the epitope at p5, that is one of the anchor positions of the H2-K^b epitopes (data not shown).

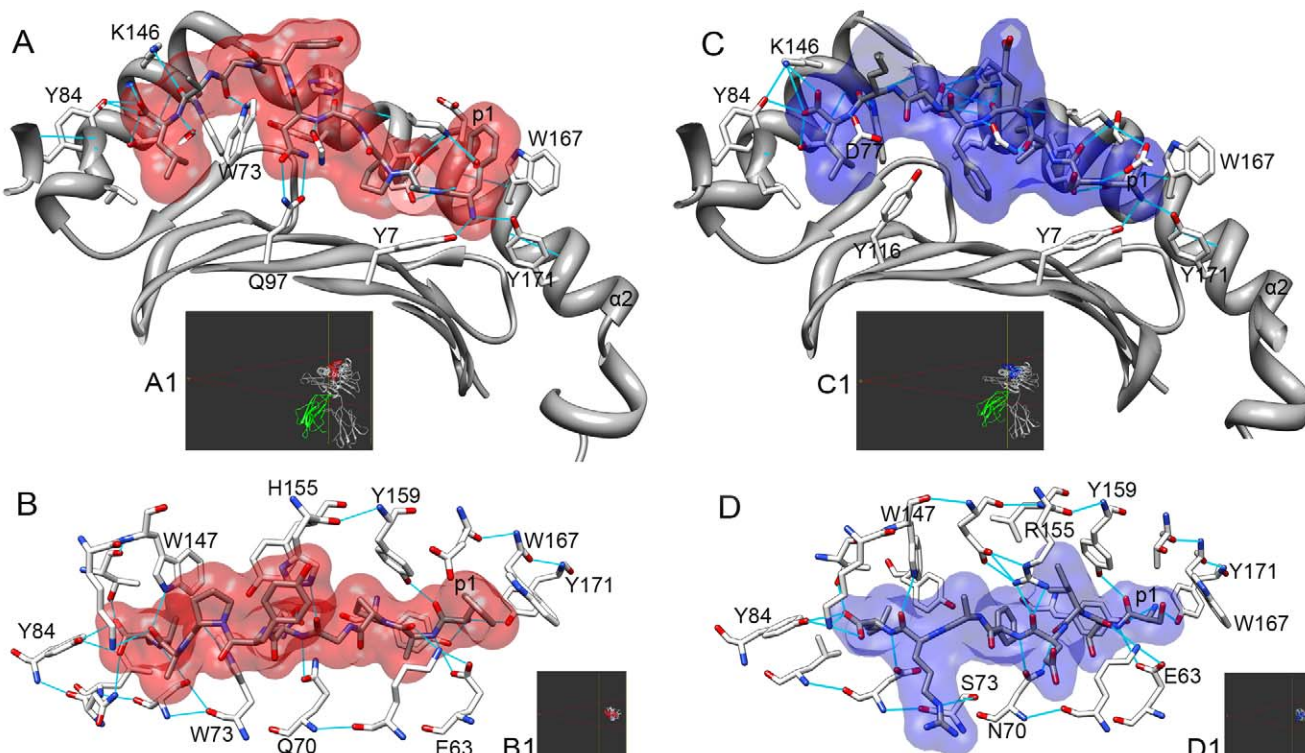
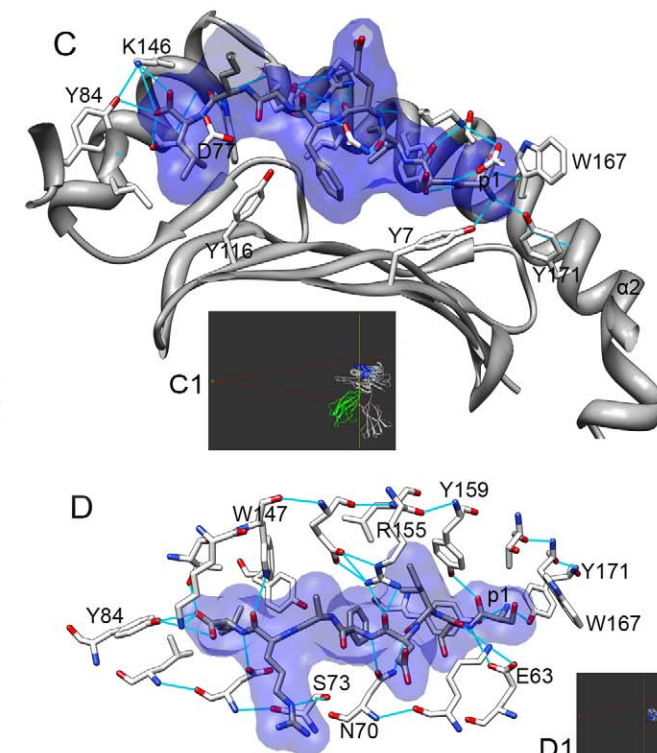


Figure 3. Interactions between epitope and MHC cleft. A: Images of H-2D^b (1CE6) and H-2K^b (1RJY) complexes are generated with Chimera package. Position of the complexes is indicated in the Side View Window (A1,B1,C1,D1). H-2D^b-restricted peptide is depicted in red (A, B) and H-2K^b-restricted peptide is depicted in blue (C,D). MHC side chains that interact with the peptide are represented as sticks and Hydrogen bonds are represented as light blue lines. The MHC Alpha-1 domain (α 1) and the first position of the peptide (p1) are indicated, as also some amino acid labels.
doi:10.1371/journal.pone.0010353.g003

In the HLA-A*0201 allele, the residue at position 73 is a threonine (Thr73) and does not seem to be involved in any hydrogen bond with the epitope. However, this allele has another highly conserved residue (Asp77) that establishes H bonds with the epitope C-terminal.

A main conformation for the backbone residues of the 9-mer peptides restricted to the human allele HLA-A*0201 was also identified in our work (Figure S3), although when compared to murine described patterns, a greater divergence was observed. Interestingly, most of the divergent peptides are cancer related and, as already discussed in the literature, cancer related peptides present great conformational variation [27]. Deviation of the allele-specific pattern may not prevent the presentation on this allele, but might interfere either in the stability of the complex or in CTL stimulation. According to that, there is at least one example of deviation from the pattern and reduction of TCR recognition. Buslepp and colleagues published a paper on the crystal structures of three HLA-A2:peptide complexes [28]. One of them was an agonist (1I7U) of the TCR and the others were described as null (1I7T) and antagonist peptides (1I7R). These structures were herein superposed to other 31 HLA-A*0201-restricted peptides and the agonist fit exactly with the described pattern, while the other two peptides deviate from this pattern (Figure S3).

We also looked for these conformational patterns in B*0801, B*2705 and B*35 (Figure S3 and Table S1). We believe that the existence of patterns could be extrapolated to other alleles, even those of other species. However, this cannot be demonstrated now, since the number of non-human/non-murine MHC-I structures available is a very small.



Although the structural pattern observed applies only to the backbone of the peptide, this does not imply a random distribution of the side chains along the cleft. In fact, a more detailed study of the 28 H2-D^b ligands (Table 1) evidenced the existence of regions with different degrees of restriction over the amino acids side chains. Epitopes in the H2-D^b cleft are positioned in such a way that a portion of its amino terminal (N-terminal) end is hidden under the MHC side chains (p2–3 of the epitope) while another portion (p6–7) is out of the MHC cleft (Figure S1A). Not surprisingly, there is higher identity among side chains of different epitopes in p2–3 and higher diversity in p6–7 (Figure S1B). The p6–7 region, where the side chains are more diverse among different epitopes, will contact the TCR and therefore will determine the TCR specificity. We also observed low diversity among side chains in positions p5 and p9, described as the anchor positions of this allele. An alignment of the 28 H-2D^b ligand sequences, considering its physicochemical characteristics, indicated a preferential occurrence of an asparagine on the fifth position, although in three cases (1INQ, 1JUF and 1BZ9) a nonpolar amino acid occupied this position. Most of the H-2D^b

ligands had nine amino acids; however, we also found 10-mers and 11-mers. The last position (p9, p10 or p11) was also conserved. Almost all sequences presented nonpolar amino acids at this site, except for one epitope, which had a cysteine (1FG2). Despite the differences in length, the anchor positions (p5 and the last amino acid) were conserved and length adjustments occurred at p6–7, with foldings outside the cleft. At this region a higher divergence could be observed, even in the backbone itself (Figures 2A and 2C). One of the ligands, the synthetic peptide FAPGVFPY (1BZ9), highly deviates from the backbone pattern, especially at p5, rising up out of the cleft (Figure S4). This epitope does not possess the canonical anchor residue at p5 and, as briefly discussed in the original reference, peptides may occasionally bind without primary anchor residues if other residues within the peptide compensate the lost binding energy [29]. This could account for its unusual shape, although it is important to stress the fact that this is a synthetic peptide.

The H-2K^b ligands analyses also demonstrated a conservation of the side chains in amino acids presented at anchor positions. Of the 21 analyzed sequences (Table S2), 16 have aromatic amino

Table 1. List of H-2D^b ligands available at PDB.

PDB code	Epitope description	Sequence (aa)	Nº of aa
1FG2*	LCMV Peptidic Epitope (gp33)	LAVYNFATC	9
1JPF*	LCMV Peptidic Epitope (gp276)	SGVENPGGYCL	11
1JPG*	LCMV Peptidic Epitope (np396)	FQPQNGQFI	9
1INQ*	MHC Class I H13 ^a minor histocompatibility peptide	SSVVGWYL	9
1JUF*	Minor Histocompatibility Antigen peptide (H13 ^b) P4(Val/Ile)	SSVIGVWYL	9
1N3N*	Mycobacterial hsp60 epitope	SALQNAASIA	10
1QLF*	Sendai NP ₃₂₄₋₃₃₂ (<i>gly327 replaced by o-glcnaac serine</i>)	FAPSNPAL	9
1S7U/2F74/ 1FFN/1NSA*	LCMV-derived immunodominant peptide (gp33)	KAVYNFATM	9
1S7V*	LCMV-derived (gp33) index peptide - escape variants	KAVYNLATM	9
1S7W*	LCMV-derived (gp33) index peptide - escape variants	KALYNFATM	9
1S7X*	LCMV-derived (gp33) index peptide - escape variants	KAVFNFATM	9
1FFO*	Gp33 synthetic peptide with substitution K1A /C9M	AAVYNFATM	9
1FFP*	Gp33 synthetic peptide with substitution K1S /C9M	SAVYNFATM	9
1WBX*	Peptide from Influenza A (pr8) HA ₄₆₈₋₄₇₇	SQLKNNAKEI	10
1WBY/1YN6*	Peptide from Influenza A (pr8) PA ₂₂₄₋₂₃₃	SSLENFRAYV	10
1YN7*	Mutated peptide (R7A) from RNA polymerase subunit P2	SSLENFAAYV	10
1ZHB*	9-mer peptide from Dopamine beta-monooxygenase	KALYNYAPI	9
1BZ9*	Synthetic Peptide (P1027)	FAPGVFPY	9
1CE6*	Sendai Virus Nucleoprotein Peptide (NP ₃₂₄₋₃₃₂)	FAPGNYPAL	9
2VE6*	Altered peptide of Sendai virus (<i>Photocleavable peptide</i>)	FAPGNYPAL	9
2CII	Sendai virus nucleoprotein epitope	FAPGNYPAL	9
2ZOK*	9-meric peptide from Spike glycoprotein	ASLWNGPHL	9
2ZOL*	9-meric peptide from Spike glycoprotein - Mutation: W4S	ASLSNGPHL	9
1HOC*	Influenza virus peptide NP ₃₆₆₋₃₇₄	ASNENMETM	9
3CPL*	Influenza virus peptide NP ₃₆₆₋₃₇₄ with substitution M6A	ASNENAETM	9
3BUY*	Epitope of PB1-F2	LSLRNPILV	9
3CC5*	Nonameric peptide from Melanocyte protein Pmel 17	KVPRNQDWL	9
3CCH*	nonameric peptide murine gp100	EGSRNQDWL	9
3CH1*	nonameric peptide chimeric gp100	EGPRNQDWL	9

Thirty-three files containing H-2D^b alleles were found in PDB, 28 (*) presented different epitopes. These 28 epitopes were used at structure and sequence analyses. 1FFO presents an MHC interacting with the TCR. Since this interaction could affect the conformation of the epitope, this structure was excluded. Structures presenting incomplete epitope sequence have been also excluded (e.g. 2CII). 1BZ9 epitope was included in all analyses, however it was excluded in Figure 1 and Figure 1SB.
doi:10.1371/journal.pone.0010353.t001

acids (F or Y) at p5, while four of the remaining sequences presented polar amino acids (N, S or T) at this position. The epitope from 1WBZ was the only one with a positively charged amino acid at p5, but this epitope presents a non-canonical binding motif which may have some influence over the immunodominance [26]. All sequences had a nonpolar amino acid at the last position (C-term). In comparison to the H-2D^b allele, H-2K^b seems to be less restrictive to peptide ligands, allowing a greater divergence even at p4 (Figure S5).

Establishment of a strategy to build pMHC complexes

Considering that the backbone structure of the epitope is shaped by its direct interaction with the MHC cleft, we can postulate that epitopes capable to be presented by a given MHC allele will adopt rather similar conformational structures to other peptides presented by the same allele. This has been the premise for developing a new approach that allows us to build pMHCs whose crystal structures were unavailable. In this approach, we use a set of epitopes — already determined by crystallography in the cleft of the MHC-I of interest — to choose a standard epitope structure. Thereafter, this standard is being used as a template to build the structure of another epitope (see methods).

This strategy has been used to reproduce the crystal structure of four different pMHCs available at PDB (Table 2). For instance, we reproduced the HLA-A2-P17 complex, PDB access number 2V2W, using as template a different HLA-A2-restricted epitope (SL9-1A/6A/8A)[13]. The structures have been fit by MHC C^α atoms and a Root Mean Square Deviation (RMSD) value of 0.96 Å (for all epitope atoms) was obtained. This value accounts not only for the torsional differences between the reproduced epitope and the crystal, but also for differences in epitope position inside the cleft. According to the literature, RMSDs lower than 2.2 Å are considered valid reproductions [30,31]. In order to assure the reproducibility of the used approach, we also reproduced the entire set of available class I PDB structures for the alleles with established peptide pattern. We were able to reproduce a total of 46 structures —11 HLA-A*0201, 19 H2-D^b and H2-K^b— with RMSD values of 1.754 ± 0.4675 Å (all peptide atoms), which characterizes a high fidelity reconstruction index. Exceptions to the predicted pattern, as previously discussed, were not reproduced.

Considering that the proposed approach successfully reproduced a large set of structures from three different MHC-I alleles, and also reproduced the structure of epitopes with different lengths inside the cleft of the same allele (H2-D^b), we can use this computational strategy to built pMHC complexes based on the linear amino acids sequence of any epitope. It should be noted that

not all peptides can be presented by a given MHC allele. We believe that the docking process can identify “bad ligands” through the variation of the binding energy. However, this approach becomes more reliable if preceded by an analyses of epitope prediction or, at least, by the verification of the affinity between the epitope and the MHC of interest, through the use of a MHC ligands databank.

Several works focused on MHC Class-I binding peptide prediction [32,33,34,35,36,37] and it is important to emphasize that this is not the aim of our approach. The allele-specific patterns and the combined use of Docking and Energy Minimization (*D1-EM-D2*) are presented here as a tool to construct new pMHC complexes, which can be further analyzed using several available programs. There are few alternative methodologies to construct pMHC complexes, and they present several limitations regarding the MHC alleles or the epitope length [37,38,39,40]. Although it has its own limitations, our approach can be applied to different epitope lengths and MHC alleles, being also more reliable, as it uses an established conformational pattern for each allele as template for the peptide. Therefore, the realistic prediction of pMHC complexes remains an important goal in peptide vaccine design and here we describe a new approach that will certainly contribute to this field.

In silico study of cross-reactivity potential between the wild-type complex HLA-A2-NS3₁₀₇₃ and nine pMHCs presenting one amino acid changed by alanine

In order to analyze cross reactive potential, Fytilli et al. 2008 [13] tested *in vitro* the T cell stimulation capacity of an HCV wild-type epitope NS3₁₀₇₃ (CINGVCWTV) and nine other epitopes derived from this original, each one being an alanine exchange variant, against a cell population previously exposed to the original epitope. In our work, the presently described docking approach was used to built the pMHC complexes of the HCV wild-type epitope NS3₁₀₇₃ (CINGVCWTV) and the nine other epitopes in the context of the human allele HLA-A*0201, aiming at analyzing structural and chemical features of these complexes. The accessible surface area (ASA) of the peptides in the cleft was also calculated, and interesting results came out. The plot of these values for each residue has presented quite identical signatures among the peptides that induced strong response *in vitro* (Figure S6). Some works have associated high ASA values and peptide immunodominance [26]. This relation was not seen in our study, whereas some epitopes with poor response, *in vitro*, presented high values of ASA, especially at p5. However, it is important to note that the peptide with the lowest value of ASA at p5 (Seq3) was the only peptide that does not stimulate a detectable response [13]. In

Table 2. Reproduction of pMHC crystal structures.

Allele	Ep. Length	Target	MHC donor	Pattern Template	BE D1 ^a (Kcal/mol)	BE D2 ^b (Kcal/mol)	RMSD ^c	RMSD ^d
H2-D ^b	9	1HOC	1WBX	1JPG	-11,2	-12	1,22	1,48
H2-D ^b	10	1WBX	1WBX	1WBY	-11,2	-12,3	1,49	1,53
H2-K ^b	8	1LK2	1LK2	1RJY	-11,8	-13,6	1,28	1,45
HLA-A*0201	9	2V2W	2V2W	1T1Z	-12,3	-12,9	0,89	0,96

Four different pMHC crystal structures available at PDB were reproduced. A docking approach based in the allele-specific patterns was performed (see methods). Information about the MHC alleles, the PDB files and the results are presented in this table.

a Binding Energy of the first docking.

b Binding Energy of the second docking.

c Root Mean Square Deviation for all epitope atoms. Calculated after fit the epitopes by C alpha.

d Root Mean Square Deviation for all epitope atoms. Calculated after fit the MHCs by C alpha.

doi:10.1371/journal.pone.0010353.t002



order to provide further evidence for the importance of the ASA value, we also performed the construction and analysis of 28 pMHC complexes, from 6 different HCV genotypes, described by Fytilli et al. 2008. In their description, the experimental data showed a cross-genotype-reactivity, particularly between the wild type peptide (Peptide 1 from Genotype 1 or G1_1) and the peptides from genotype 6 (G6_23 to G6_28). In agreement with this data, the ASA values from genotype 6 presented the same pattern of the wild type peptide (Figure S7) and the peptides with higher deviation from this “ASA pattern” (G3_16, G3_18 and G3_20), presented the lowest levels of IFN- γ production in all ELISPOT assays (Fytilli et al. 2008). However, it is also important to note that some peptides with low response *in vitro* presented ASA values quite similar to the wild type. These results support the idea that large deviations in ASA values may indicate a poor stimulation *in vitro*, but the opposite is not true. Therefore, the ASA values are just an indicator that may be taken into account during a screening for possible targets, and cannot alone explain all variation observed *in vitro*.

A previous work have already determined the importance of the epitope central amino acids for the T cell recognition [5]. As described by Fytilli et al. 2008 [13], alanine exchanges at p3, p4, p5 and p7 strongly affected T cell stimulation capacity. However, the peptide with the C6A exchange stimulated T cells at similar levels as compared to the wild-type epitope. This is an important change in terms of physicochemical characteristics and is quite curious that this does not seem to affect T cell recognition. We have analyzed the TCR-interacting surfaces of all complexes concerning their topology and electrostatic potentials. The results indicated that this C6A substitution has almost no effect in the pMHC interacting surface (Figure 4J). In agreement with the similar ASA values, the complexes 8, 9 and 10 presented quite identical topologies and charge distribution. We therefore postulate that this similarity is the main aspect responsible for the described cross recognition of these complexes by the CVNGVCWTV-specific CD8+ T cells [13].

Using the same dataset, the pMHC surfaces can also provide information about the peptides that poorly stimulate the production of interferon- α . For instance, the peptide number 5 (CIAGVCWTV) was the only out of ten peptides, in which the tryptophan indole ring had turned to the C terminus end of the peptide. This change of position caused not only a difference of topology but also a reduction of a positively charged area at the pMHC surface (Figure 4G). To ascertain that this observation was not spurious, the steps to construct this complex were repeated using a higher value of exhaustiveness (=15) at AutoDock Vina program [31]. As discussed before, complex 3 presented the lowest ASA value at p5, and this value reflects the existence of a less bulging side chain at this site (Figure 4E). Analysis of the pMHCs surface can help us predict cross reactivity potential, especially when the complexes are very similar. However, to explain all the variation of an immune response in terms of topology and potential is certainly impossible. Complex 2 also has differences in topology as compared to complex 10, but it is structurally similar to complex 6, which stimulates an intermediate response. Differences in other points of the antigen processing and presentation pathway (or other related pathways) will probably be responsible for such different capacities to induce an immune response. For instance, we could suggest that a different stability of those complexes could be responsible for a reduction, both in number or in time of exposure, of those complexes on the presenting cells surface. This would reduce the probability to establish TCR:pMHC contacts long enough to activate the CTLs.

In conclusion, our work provides a new approach to build up and *in silico* analyze pMHCs. The structural allele-specific patterns identified can be incorporated in other immunoinformatic approaches, in order to provide more information about peptide affinity for specific MHC-I alleles and the immunogenicity of the resulting complexes. The new approach to construct pMHC-I complexes helped us understand some of the differences in the CD8+ CVNGVCWTV-specific response and could be applied to other studies of cross-reactivity potential among any epitopes of interest. As previously mentioned, these peptide targets could be further synthesized for *in vitro* confirmation of their immunogenicity and cross-reactive potential against other targets of interest, such as immunodominant epitopes of related viruses. Once these features of interest are confirmed, these targets could be used in polytope DNA vaccines, especially for heterologous prime-boost approaches [20,21,22].

Methods

Sequence alignment

The sequences were analyzed using the Jalview multiple alignment editor [41]. All sequences of each MHC allele were separately aligned with the muscle algorithm. Epitope sequences were aligned according to its physicochemical characteristics using the software Bioedit 7.0.5.3. [42].

Construction of pMHC complexes

The pMHC complexes construction was performed through the steps presented on Figure S8. First, we identified a PDB structure (e.g. complex “A”), which includes the MHC allele of interest and an epitope (template epitope “a”) with the same number of amino acids of the epitope that we want to model (e.g. “c” epitope). Then, the structures of the MHC and the epitope (from “A” complex) were separated, saving the epitope structure in an independent file that will be opened with the SPDBV 3.7 [43]. Using the *Homology modelling* menu of this software (SwissModel), with *Magic Fit*, the FASTA sequence of the epitope to be modelled (“c” epitope) is superposed to the structure of the template epitope “a” (acquired from “A” complex). The “fit” structure of “c” epitope may have some atoms in energetically unfavorable positions or amino acids with unfit torsions. These were corrected running a short EM (nsteps = 100) with the GROMACS 3.3.3 package [44]. At this point, we have a 3D structure related to our epitope of interest for the first time. This structure was subjected to a first docking (*Dock1*) with a MHC molecule. In this step the MHC molecule can be those from the “A” complex or from another PDB file with the same MHC allele of interest. The epitope originally presented by this “MHC donor” structure should not interfere in the analysis. It is quite important to use a PDB file with the best possible resolution. All MHC bonds are maintained rigid during the docking, as most of the epitope backbone bonds, since the epitope main chain is already in the suitable conformation. During the docking procedure, the epitope side chains are flexible, which allows a great conformational variation. At this point, a 3D model of the pMHC complex is available, but more steps are needed to refine this model. The resulting pMHC, with the best docking result (or the most frequent) is subjected to a longer EM (nsteps = 1000). This step is important to adjust the MHC side chains that interact with the new ligand, reducing unfavorable interactions. The last step is the separation of the two components (MHC and epitope) from this minimized complex and the use of both structures as inputs to a second docking (*Dock2*) that will generate the pMHC of interest. The second docking allows the docking program to search all over

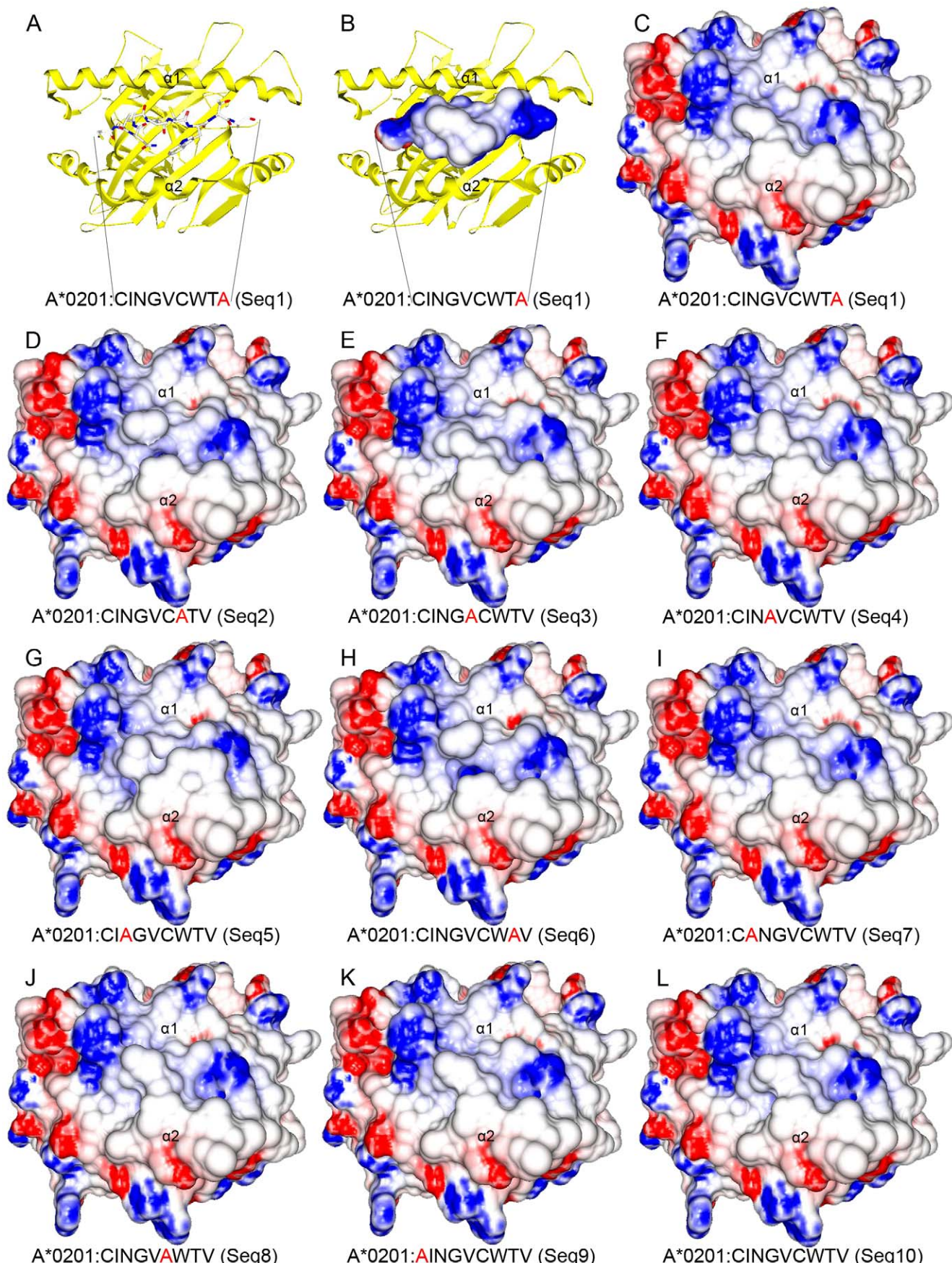


Figure 4. Topology and electrostatic potential comparison among A2*0201:HCV complexes. TCR-interacting surfaces of ten different pMHC complexes are depicted (C–L). Regions with positive (blue) and negative (red) charges are represented with a scale from -10 to $+10$ kiloteslas. Sequence of presented peptide is depicted above each complex and the position of the Alanine exchange is depicted in red. Alpha-1 and Alpha-2 MHC domains are also indicated. Images A, B and C show the same pMHC, in the same position, size and orientation, although with different representations. TCR-interacting surfaces of complexes that stimulate high levels of IFN- γ production by CVNGVCWTV-specific CD8+ T-cells (J,K and L) shared both topology and electrostatic potential. One complex that stimulates low levels of IFN- γ production (G) presented differences in topology and reduction of a negatively charged region in the TCR-interacting surface.

doi:10.1371/journal.pone.0010353.g004

again for the best epitope conformation. The influence of pMHC minimization over the docking results is confirmed by the improvement of binding energies (see Table 2).

Molecular Docking

The molecular dockings were performed with AutoDock Vina 1.0.2 [31] using default values (e.g. exhaustiveness = 8). For each epitope, the same input file was used to run AutoDock Vina 20 times, generating a final population with a thousand different conformations (20 outputs with 50 structures each). The best conformation of each output was open together in PyMol viewer and was analyzed according to the frequency of occurrence and binding energy values. One of the most frequent conformations was selected to represent the final conformation of the epitope in the MHC-I cleft. The running time of a simulation will vary accordingly to the computational power used, and the number of rotatable bonds of the epitope of interest. Using our default configuration, the running time of each docking step (20 rounds) is about three hours in a quad core computer (using the four cores at full capacity) and the whole process to get a pMHC complex (*D1-EM-D2*) takes about 7 hours in the same scenario.

Accessible Surface Area (ASA) analyze

The ASA values were calculated in the NOC 3.01 program [45]. The obtained values were plotted at the Microsoft Office Excel 2007 software.

Construction of the HLA-A2-NS3₁₀₇₃ complex and the nine variants

The PDB structure 2V2W was used as “MHC donor” and the C chain of 1T1Z structure was used as template for the HLA-A*0201 epitopes pattern. The ten complexes were independently constructed and analyzed as previously described (Construction of pMHC complexes).

Analyses of topology and charges distribution

The MHC surface analyses were performed with the GRASP2 program [46], on Windows XP platform. The electrostatic potential was calculated with a scale from -10 to $+10$ kiloteslas.

Images acquisition

The epitopes superposition was performed using SPDBV 3.7 [43], though the images were acquired with PyMOL 1.0 program [47]. The pMHC top view images were generated with the GRASP2 program [46]. Images of MHC:peptide interactions were produced using the UCSF Chimera package from the Resource for Biocomputing, Visualization, and Informatics at the University of California, San Francisco (supported by NIH P41 RR-01081)[48]. All images were edited with Adobe Photoshop CS2 v.9.0. program.

Supporting Information

Table S1 List of ligands used to identify HLA-restricted patterns.

Found at: doi:10.1371/journal.pone.0010353.s001 (0.09 MB DOC)

Table S2 List of H-2K^b ligands available at PDB.

Found at: doi:10.1371/journal.pone.0010353.s002 (0.04 MB DOC)

Figure S1 Structural organization of the H-2D^b-restricted epitopes. A: Images of HBsAg₃₀₋₃₉ epitope (presented in Ball and Stick_CPK) in the cleft of the H-2D^b-allele (represented as surface, with negatively (red) and positively (blue) charged regions with a scale from -10 to $+10$ kiloteslas). Partial N-terminal ending of the epitope is hidden under MHC side chains (p2-3). Some regions of the peptides (p6-7) protract out to the MHC cleft. B: Superposition of 28 structures of H-2D^b-restricted epitopes (Table 1), including side chains. It is possible to observe a higher variability in the protracted region as compared to the N-terminal and to the anchor sites (p5 and p9). The position of the side chains of amino acids 1, 5, 7 and 9 are shown in both images.

Found at: doi:10.1371/journal.pone.0010353.s003 (3.57 MB TIF)

Figure S2 Topology of H2-D^b and H2-K^b binding clefts. A: Crystal structure of an H-2D^b allele (PDB access code 1CE6) is depicted as Ribbon and Surface. Epitopes inside the cleft are depicted as Sticks. Two tryptophanes of the MHC alpha-chain (W73 and W147) almost block the cleft, forcing the peptide to pass above them. B: Crystal structure of an H-2K^b allele (PDB access code 1RJY) is depicted with the same configuration. The absence of tryptophan (W73) results in a deeper cleft in this allele.

Found at: doi:10.1371/journal.pone.0010353.s004 (4.42 MB TIF)

Figure S3 Conformational patterns of human MHC alleles. A: Thirty-four HLA-A*0201-restricted peptides (Table S1) were superposed using SPDBV program. Peptides sharing an A*0201-restricted pattern are depicted in blue. Exceptions to this pattern are depicted in cyan. Cancer-related peptides are depicted in light pink. Epitopes 1I7R and 1I7T are depicted in red (see Discussion). B: Superposition of five B*0801-restricted peptides. C: Superposition of five B*2705 restricted peptides. D: Superposition of three B*3501-restricted and two B*3508-restricted peptides. In this case, we have not enough structures to predict a pattern. Besides that, we can see that both B*3501-restricted 9-mers (blue) presented a similar conformation. In addition, a 10-mer peptide (APQPAPE-NAY) presented almost the same conformation when presented by B*3501 (orange) and B*3508 (red). A B*3508-restricted 8-mer is also depicted (green).

Found at: doi:10.1371/journal.pone.0010353.s005 (3.56 MB TIF)

Figure S4 Exception to the H-2D^b pattern. A: The 1BZ9 epitope (red) does not have the conventional amino acid in the anchor position (p5) and showed a significant deviation in the main chain when compared to other epitopes. B: The side chains of the epitope 1BZ9 (red) are in a similar conformation to other epitopes of this allele, except in a phenylalanine at position 6 of the epitope, which may be used as an alternative “anchor”. Observe the presence of an anchor amino acid in C-terminal and a hidden

N-terminal extremity under the side chains of the MHC, characteristics that may contribute to the presentation of this unusual epitope.

Found at: doi:10.1371/journal.pone.0010353.s006 (2.86 MB TIF)

Figure S5 Structural pattern of H-2K^b restricted ligands. A: Twenty-two epitopes (see Table S2) restricted to this allele were superposed, four 9-mer (red) and 18 8-mer (blue). The H-2K^b restricted ligands, just like those restricted to the H-2D^b allele, presented a higher identity in the side chains of the anchor positions than in the side chains oriented outside of the cleft. B: Backbone superposition of the 21 ligands shows a shared conformation among the epitopes with the same length (8-mer). The length adjustment, in this allele, seems to be in different positions, when compared to the H-2D^b allele.

Found at: doi:10.1371/journal.pone.0010353.s007 (2.86 MB TIF)

Figure S6 Analyze of HCV alanine exchanged peptides. The wild type HCV derived peptide (CINGVCWTV) and nine alanine exchanged peptides were analyzed. A: Sequences of 10 peptides are indicated. Level of IFN- $\tilde{\gamma}$ production by CVNGVCWTV-specific CD8+ T-cells, induced by each sequence, are also represented [13]. Each bar (in black) represents the number of the Spot Forming Units (SFU/10⁴ cells) produced by each of the peptides. Accessible Surface Area (ASA) plot of sequences that stimulates low (B), intermediated (C) and high (D) IFN- γ production are depicted. ASA values are measured in square angstroms. The wild type sequence (S10) was included in all plots. Found at: doi:10.1371/journal.pone.0010353.s008 (6.62 MB TIF)

Figure S7 Flowchart of a new pMHC complex construction. ASA values of the wild type HCV derived peptide (CVNGVCWTV) and 28 naturally occurring NS3₁₀₇₃-variants were analyzed. In agreement with experimental data, the ASA values from genotype 6 presented the same pattern of the wild type peptide and the peptides with higher deviation from this "ASA pattern" (G3_16, G3_18 and G3_20), presented the lowest levels of IFN- γ production in all ELISPOT assays (Fytilli et al. 2008). Found at: doi:10.1371/journal.pone.0010353.s009 (2.15 MB TIF)

Figure S8 Flowchart of a new pMHC complex construction. Consider an epitope "C" whose structure in the context of a given

MHC allele was not determined. A search at PDB is performed, looking for a PDB file containing the allele of interest presenting an epitope with the same length of the "c" epitope. In this example, we found the "A" complex. Using the SPDBV program, it was observed that the amino acid sequence of the epitope "c" is "Fit" on the 3D structure of the epitope present at the "A" complex. The generated structure of the epitope "c" is submitted to an energy minimization (EM), and is used as input for the docking with an "MHC donor" structure (B). In order to adjust the MHC to this new epitope, an EM of the complex "D" is performed. After minimization, epitope and MHC are separated and used as inputs to a second docking, which will generate the desired pMHC complex (E). For more information see methods. Found at: doi:10.1371/journal.pone.0010353.s010 (2.86 MB TIF)

Acknowledgments

We thank the *Centro Nacional de Supercomputação* (CESUP-RS) for allowing access to its computational resources, and the collaboration of the Group of Structural Bioinformatics from the Center of Biotechnology (Cbiot/UFRGS), in sharing information about the installation of the programs. In particular, we thank Eduarda Schultze, for the contributions about the programs parameters and the interpretation of some data. We also thank Paraskevi Fytilli, from Hannover Medical School, for sharing data about his work with the recognition of alanine exchange peptides by CVNGVCWTV-specific CD8+ T-cells.

Author Contributions

Conceived and designed the experiments: GFV. Performed the experiments: DAA. Analyzed the data: DAA GFV. Contributed reagents/materials/analysis tools: MMR SPC MS. Wrote the paper: DAA JABC. Participated in the study design and in the technical immunological aspects of the study: JABC. Performed the bioinformatic analyses: DAA. Conceived the study, participated in its design and coordination: GFV. Helped to draft the manuscript: GFV. Contributed to the revision of the manuscript: MMR. Contributed to the bioinformatic analyses: MMR. Verified the peptides binding affinities, performed the ASA analyses, and helped in the docking approach: SPC. Performed all the alignments and helped to search for MHC-I structures at PDB: MS.

References

- Yewdell JW, Bennink JR (1999) Immunodominance in major histocompatibility complex class I-restricted T lymphocyte responses. *Annu Rev Immunol* 17: 51–88.
- Welsh RM, Selin LK, Szomolanyi-Tsuda E (2004) Immunological memory to viral infections. *Annu Rev Immunol* 22: 711–743.
- Wilson DB, Wilson DH, Schroder K, Pinilla C, Blondelle S, et al. (2004) Specificity and degeneracy of T cells. *Mol Immunol* 40: 1047–1055.
- Welsh RM, Fujinami RS (2007) Pathogenic epitopes, heterologous immunity and vaccine design. *Nat Rev Microbiol* 5: 555–563.
- Welsh RM, Selin LK (2002) No one is naive: the significance of heterologous T-cell immunity. *Nat Rev Immunol* 2: 417–426.
- Ang CW, Jacobs BC, Laman JD (2004) The Guillain-Barre syndrome: a true case of molecular mimicry. *Trends Immunol* 25: 61–66.
- Sandalova T, Michaelson J, Harris RA, Odeberg J, Schneider G, et al. (2005) A structural basis for CD8+ T cell-dependent recognition of non-homologous peptide ligands: implications for molecular mimicry in autoreactivity. *J Biol Chem* 280: 27069–27075.
- Apostolopoulos V, Lofthouse SA, Popovski V, Chelvanayagam G, Sandrin MS, et al. (1998) Peptide mimics of a tumor antigen induce functional cytotoxic T cells. *Nat Biotechnol* 16: 276–280.
- Wedemeyer H, Mizukoshi E, Davis AR, Bennink JR, Rehermann B (2001) Cross-reactivity between hepatitis C virus and Influenza A virus determinant-specific cytotoxic T cells. *J Virol* 75: 11392–11400.
- Clute SC, Watkin LB, Cornberg M, Naumov YN, Sullivan JL, et al. (2005) Cross-reactive influenza virus-specific CD8+ T cells contribute to lymphoproliferation in Epstein-Barr virus-associated infectious mononucleosis. *J Clin Invest* 115: 3602–3612.
- Frankild S, de Boer RJ, Lund O, Nielsen M, Kesmir C (2008) Amino acid similarity accounts for T cell cross-reactivity and for "holes" in the T cell repertoire. *PLOS ONE* 3: e1831.
- Cucciarini M, Kammer AR, Grabscheid B, Diepolder HM, Gerlach TJ, et al. (2000) Vigorous peripheral blood cytotoxic T cell response during the acute phase of hepatitis C virus infection. *Cell Immunol* 203: 111–123.
- Fytilli P, Dalekos GN, Schlaphoff V, Suneetha PV, Sarrazin C, et al. (2008) Cross-genotype-reactivity of the immunodominant HCV CD8 T-cell epitope NS3-1073. *Vaccine* 26: 3818–3826.
- Morris GM, Goodsell DS, Halliday RS, Huey R, Hart WE, Belew RK, Olson AJ (1998) Automated docking using a Lamarckian genetic algorithm and an empirical binding free energy function. *J Computational Chemistry* 19.
- Cavasotto CN, Orry AJ (2007) Ligand docking and structure-based virtual screening in drug discovery. *Curr Top Med Chem* 7: 1006–1014.
- Kmiecik S, Gront D, Kolinski A (2007) Towards the high-resolution protein structure prediction. Fast refinement of reduced models with all-atom force field. *BMC Struct Biol* 7: 43.
- Dibrov A, Myal Y, Leygue E (2009) Computational Modelling of Protein Interactions: Energy Minimization for the Refinement and Scoring of Association Decoys. *Acta Biotheor*.
- Rigo MM, Antunes DA, Vieira GF, Chies JAB (2009) MHC:Peptide Analysis: Implications on the Immunogenicity of Hantaviruses N protein. *Lect Notes Comput Sci* 5676: 160–163.
- Korber B, LaButte M, Yusim K (2006) Immunoinformatics comes of age. *PLoS Comput Biol* 2: e71.
- Lu S (2009) Heterologous prime-boost vaccination. *Curr Opin Immunol* 21: 346–351.

21. Wang S, Kennedy JS, West K, Montefiori DC, Coley S, et al. (2008) Cross-subtype antibody and cellular immune responses induced by a polyvalent DNA prime-protein boost HIV-1 vaccine in healthy human volunteers. *Vaccine* 26: 1098–1110.
22. Harari A, Bart PA, Stohr W, Tapia G, Garcia M, et al. (2008) An HIV-1 clade C DNA prime, NYVAC boost vaccine regimen induces reliable, polyfunctional, and long-lasting T cell responses. *J Exp Med* 205: 63–77.
23. Reali E, Guerini R, Marastoni M, Tomatis R, Masucci MG, et al. (1999) A single specific amino acid residue in peptide antigens is sufficient to activate memory CTL: potential role of cross-reactive peptides in memory T cell maintenance. *J Immunol* 162: 106–113.
24. Veloso LM, Michaelson J, Ljunggren HG, Schneider G, Achour A (2004) Determination of structural principles underlying three different modes of lymphocytic choriomeningitis virus escape from CTL recognition. *J Immunol* 172: 5504–5511.
25. Tian F, Lv F, Zhou P, Yang Q, Jalbout AF (2008) Toward prediction of binding affinities between the MHC protein and its peptide ligands using quantitative structure-affinity relationship approach. *Protein Pept Lett* 15: 1033–1043.
26. Meijers R, Lai CC, Yang Y, Liu JH, Zhong W, et al. (2005) Crystal structures of murine MHC Class I H-2 D(b) and K(b) molecules in complex with CTL epitopes from influenza A virus: implications for TCR repertoire selection and immunodominance. *J Mol Biol* 345: 1099–1110.
27. Borbulevych OY, Insaidoo FK, Baxter TK, Powell DJ, Jr., Johnson LA, et al. (2007) Structures of MART-126/27-35 Peptide/HLA-A2 complexes reveal a remarkable disconnect between antigen structural homology and T cell recognition. *J Mol Biol* 372: 1123–1136.
28. Buslepp J, Zhao R, Domini D, Loftus D, Saad M, et al. (2001) T cell activity correlates with oligomeric peptide-major histocompatibility complex binding on T cell surface. *J Biol Chem* 276: 47320–47328.
29. Zhao R, Loftus DJ, Appella E, Collins EJ (1999) Structural evidence of T cell xeno-reactivity in the absence of molecular mimicry. *J Exp Med* 189: 359–370.
30. Madurga S, Belda I, Llora X, Giralt E (2005) Design of enhanced agonists through the use of a new virtual screening method: application to peptides that bind class I major histocompatibility complex (MHC) molecules. *Protein Sci* 14: 2069–2079.
31. Trott O, Olson AJ (2009) AutoDock Vina: Improving the speed and accuracy of docking with new scoring function, efficient optimization, and multithreading. *J Comput Chem*.
32. Zhang C, Anderson A, DeLisi C (1998) Structural principles that govern the peptide-binding motifs of class I MHC molecules. *J Mol Biol* 281: 929–947.
33. Zen J, Treutlein HR, Rudy GB (2001) Predicting sequences and structures of MHC-binding peptides: a computational combinatorial approach. *J Comput Aided Mol Des* 15: 573–586.
34. Wulf M, Hoehn P, Trinder P (2009) Identification of human MHC class I binding peptides using the iTOPIA- epitope discovery system. *Methods Mol Biol* 524: 361–367.
35. Zhang H, Lund O, Nielsen M (2009) The PickPocket method for predicting binding specificities for receptors based on receptor pocket similarities: application to MHC-peptide binding. *Bioinformatics* 25: 1293–1299.
36. Sidney J, Peters B, Frahm N, Brander C, Sette A (2008) HLA class I supertypes: a revised and updated classification. *BMC Immunol* 9: 1.
37. Sieker F, May A, Zacharias M (2009) Predicting affinity and specificity of antigenic peptide binding to major histocompatibility class I molecules. *Curr Protein Pept Sci* 10: 286–296.
38. Tong JC, Tan TW, Ranganathan S (2004) Modeling the structure of bound peptide ligands to major histocompatibility complex. *Protein Sci* 13: 2523–2532.
39. Bordner AJ, Abagyan R (2006) Ab initio prediction of peptide-MHC binding geometry for diverse class I MHC allotypes. *Proteins* 63: 512–526.
40. Todman SJ, Halling-Brown MD, Davies MN, Flower DR, Kayikei M, et al. (2008) Toward the atomistic simulation of T cell epitopes automated construction of MHC: peptide structures for free energy calculations. *J Mol Graph Model* 26: 957–961.
41. Waterhouse AM, Procter JB, Martin DM, Clamp M, Barton GJ (2009) Jalview Version 2—a multiple sequence alignment editor and analysis workbench. *Bioinformatics* 25: 1189–1191.
42. Hall TA (1999) Bioedit: a user-friendly biological sequence alignment editor and analysis program for Windows 95/98/NT. *Nucl Acids Symp Ser* 41: 95–98.
43. Guex N, Peitsch MC (1997) SWISS-MODEL and the Swiss-PdbViewer: an environment for comparative protein modeling. *Electrophoresis* 18: 2714–2723.
44. Van Der Spoel D, Lindahl E, Hess B, Groenhof G, Mark AE, et al. (2005) GROMACS: fast, flexible, and free. *J Comput Chem* 26: 1701–1718.
45. ME Chen HXC, H Nymeyer NOC.
46. Petrey D, Honig B (2003) GRASP2: visualization, surface properties, and electrostatics of macromolecular structures and sequences. *Methods Enzymol* 374: 492–509.
47. PyMOL. DeLano Scientific LLC.
48. Petersen EF, Goddard TD, Huang CC, Couch GS, Greenblatt DM, et al. (2004) UCSF Chimera—a visualization system for exploratory research and analysis. *J Comput Chem* 25: 1605–1612.

Table S1 – List of ligands used to identify HLA-restricted patterns.

Allele	PDB code	Epitope description	Sequence (aa)	Nº of aa
A2*0201	1JHT	Peptide Ligand From The MART-1/Melan-A	Mutation: A28L ALGIGILTV	9
A2*0201	1S9X	NY-ESO-1 Peptide Analogue S9A	SLLMWITQA	9
A2*0201	1S9Y	NY-ESO-1 Peptide Analogue S9S	SLLMWITQS	9
A2*0201	2VLL	Flu Matrix Peptide	GILGFVFTL	9
A2*0201	1I7R	Peptide P1058	FAPGFFPYL	9
A2*0201	1I7T	Peptide P1049-5v	ALWGVFPVL	9
A2*0201	1I7U	Peptide P1049-6v	ALWGFVPVL	9
A2*0201	2V2W	Hiv P17	SLYNTVATL	9
A2*0201	2V2X	Hiv P17	SLFNTVATL	9
A2*0201	1S8D	HIV Gag Peptide	SLANTVATL	9
A2*0201	1T1W	Hiv Gag Peptide	SLFNTIAVL	9
A2*0201	1T1X	Hiv Gag Peptide	SLYLTVATL	9
A2*0201	1T1Y	Hiv Gag Peptide	SLYNVVATL	9
A2*0201	1T1Z	Hiv Gag Peptide	ALYNTAAAL	9
A2*0201	1T20	Hiv Gag Peptide	SLYNTIATL	9
A2*0201	1T21	Hiv Gag Peptide	SLYNTVATL	9
A2*0201	1B0G	Peptide P1049	ALWGFFPVL	9
A2*0201	1DUZ	Htly-1 Octameric Tax Peptide	LLFGYPVYY	9
A2*0201	1EEY	Gp2 Peptide; Mutation: I21,V51,L9v	ILSALVGIV	9
A2*0201	1EEZ	Gp2 Peptide	ILSALVGIL	9
A2*0201	1HHG	Hiv-1 Gp120 Envelope Protein (Residues 195-207)	TLTSCNTSV	9
A2*0201	1HHJ	Hiv-1 Reverse Transcriptase (Residues 309-317)	ILKEPVHGV	9
A2*0201	1TVB	Epitope Of Melanocyte Protein Pmel 17	ITDQVPFSV	9
A2*0201	1TVH	Epitope Of Melanocyte Protein Pmel 17	IMDQVPFSV	9
A2*0201	2GIT	HTLV-1 TAX Peptide	LLFGKPVYY	9
A2*0201	1QEW	Protein (Melanoma-Associated Antigen 3)	FLWGPRALV	9
A2*0201	1I1F	Protein (Hiv-Rt Variant Peptide I1f (Flkepvhgv)	FLKEPVHGV	9
A2*0201	1I1Y	Hiv-Rt Variant Peptide I1y (Ylkepvhgv	YLKEPVHGV	9
A2*0201	1QR1	Gp2 Peptide	IISAVVGIL	9
A2*0201	2GTW	Octapeptide From Melan-A/MART-1	LAGIGILTV	9
A2*0201	2GTZ	Octapeptide From Melan-A/MART-1; Mutation: A28L	ALGIGILTV	9
A2*0201	2GUO	Native nonameric Melan-A/MART-1(27-35) peptide	AAGIGILTV	9
A2*0201	3FQT	Peptide 38-46 From Cell Division Cycle 25b (CDC25b)	GLLGSPVRA	9
A2*0201	3FQW	Peptide 1097-1105 From Insulin Receptor Substrate 2 (IRS2)	RVASPTSGV	9
B*0801	1AGB	Hiv-1 Gag Peptide (3r Mutation)	GGRKKYKL	8
B*0801	1AGC	Hiv-1 Gag Peptide (7q Mutation)	GGKKKYQL	8
B*0801	1AGD	Hiv-1 Gag Peptide (Index Peptide)	GGKKKYKL	8
B*0801	1AGE	Hiv-1 Gag Peptide (7r Mutation)	GGKKKYRL	8
B*0801	1AGF	Hiv-1 Gag Peptide (5r Mutation)	GGKKRYKL	8
B*2705	1JGE	Peptide M9	GRFAAAIAK	9
B*2705	1W0V	Self-Peptide Tis From Egf-Response Factor 1	RRLPIFSRL	9
B*2705	2BSR	Epstein-Barr Nuclear Antigen-6	RRIYDLIEL	9
B*2705	2BST	Influenza Nucleoprotein	SRYWAIRTR	9
B*2705	1HSA	Model Peptide Sequence	ARAAAAAAA	9
B*3501	1A9E	Peptide From Ebna3c-Protein From Ebv	LPPLDITPY	9
B*3501	2CIK	Epitope Derived From Cytochrome P450	KPIVVLHGY	9
B*3501	2AXG	10-mer peptide from BZLF1 trans-activator protein	APQPAPENAY	10
B*3508	2AXF	10-mer peptide from BZLF1 trans-activator protein	APQPAPENAY	10
B*3508	3BWA	Hcmv 8-Mer Peptide From The Pp65 Protein Molecule	FPTKDVAL	8

Fourty-nine HLA-restricted epitopes were used to identify the epitope conformational patterns restricted to human alleles A2*0201, B*0801, B*2705 and the supertype B*35.

Table S2 - List of H-2K^b ligands available at PDB.

PDB code	Epitope description	Sequence (aa)	Nº of aa
1FO0*/2CLZ	Naturally Processed Octapeptide Pbm1	INFDFNTI	8
1NAN			
1FZJ*/1KPU/	Vesicular Stomatitis Virus Nucleoprotein (NP ₅₂₋₅₉)	RGYVYQGL	8
1NAM/2VAA/			
1FZM/2MHA/1BQH			
1KBG	Synthetic Glycopeptide Rgy8-6h-Gal2	RGYVYMLG	8
1FZK*/1FZO/	Sendai Virus Nucleoprotein (NP ₃₂₄₋₃₃₂)	FAPGNYPAL	9
1KPV/2VAB			
1G7P*/1VAD	Yeast Alpha-Glucosidase P1 (438-446)	SRDHSRTPM	9
1G7Q*	Muc1 Vntr Peptide (180-187)	SAPDTRPA	8
2FO4*	Peptide 8-mer derived from Mucin-1	SAPDFRPL	8
1KJ2/1KJ3*	Naturally Processed Octapeptide Pkb1	KVITFIDL	8
1LEG/1LEK*/	Dev8 ₅₄₋₆₁ (NADH-Ubiuinone Oxidoreductase MLRQ)	EQYKFYSV	8
1MWA/2CKB			
1LK2*	Insulin receptor (beta-subunit) derived Peptide (423-430)	GNYSFYAL	8
1N59*/1S7Q	LCMV derived epitope (Gp33)	AVYNFATM	8
1OSZ*	(L4v) Mutant Of Vesicular Stomatitis Virus Np	RGYLYQGL	8
1P1Z*/1P4L/1VAC	Ovalbumin derived Peptide (257-264)	SIINFEKL	8
3C8K/2QRI			
2QRS/2QRT/3CVH			
1RJY*/1RKO/	Herpes Simplex Virus (HSV) Glycoprotein B derived	SSIEFARL	8
1T0M/1T0N	Peptide		
1RJZ*/1RK1	HSV Mutant S2E Glycoprotein B Peptide	SEIEFARL	8
1S7R*	LCMV-Derived Gp33 Peptide - Escape Variants	KAVYNLATM	9
1S7S*	LCMV-Derived Gp33 Peptide - Escape Variants	ALYNFATM	8
1S7T*	LCMV-Derived Gp33 Peptide - Escape Variants	AVFNFATM	8
2CLV*/2OL3	Rbm5 derived Peptide (189-196)	SQYYYNSL	8
1WBZ*	Influenza A peptide PB1 ₇₀₃₋₇₁₁	SSYRRPVGI	9
1G6R	superagonist peptide SIYR	SIYRYYGL	8
2ZSW*	8-mer peptide from spike glycoprotein	RAYIFANI	8
2ZSV*	8-mer peptide from spike glycoprotein	RAQIFANI	8

This table presents the 52 files containing the H-2K^b allele, available at PDB. Of these, 21 structures (*) presented epitopes with sequence differing in at least one amino acid. These 21 epitopes were used in the analyses. 1G6R presents an MHC interacting with the TCR. Since this interaction could affect the conformation of the epitope, this structure was excluded. 1KBG structure has a glicosilated residue and was also excluded.

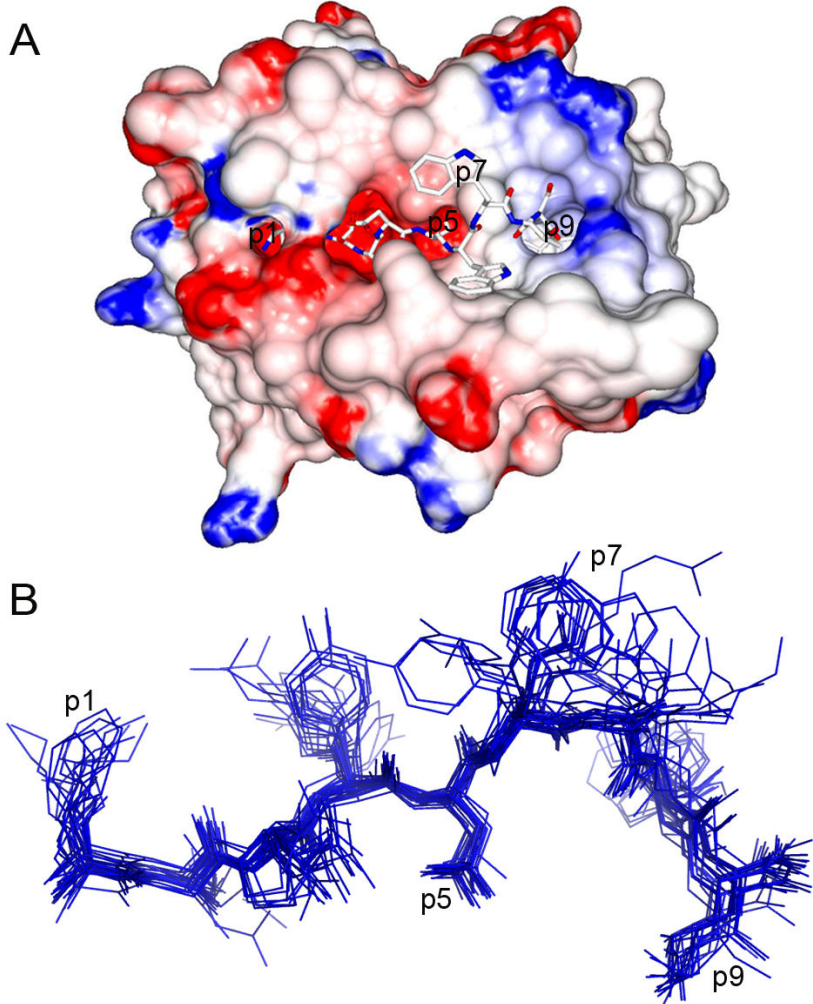


Figure S1. Structural organization of the H-2D^b-restricted epitopes. A: Images of HBsAg₃₀₋₃₉ epitope (presented in *Ball and Stick_CPK*) in the cleft of the H-2D^b-allele (represented as surface, with negatively (red) and positively (blue) charged regions with a scale from -10 to +10 kiloteslas). Partial N-terminal ending of the epitope is hidden under MHC side chains (p2-3). Some regions of the peptides (p6-7) protract out to the MHC cleft. B. Superposition of 28 structures of H-2D^b-restricted epitopes (Table 1), including side chains. It is possible to observe a higher variability in the protracted region as compared to the N-terminal and to the anchor sites (p5 and p9). The position of the side chains of amino acids 1, 5, 7 and 9 are shown in both images.

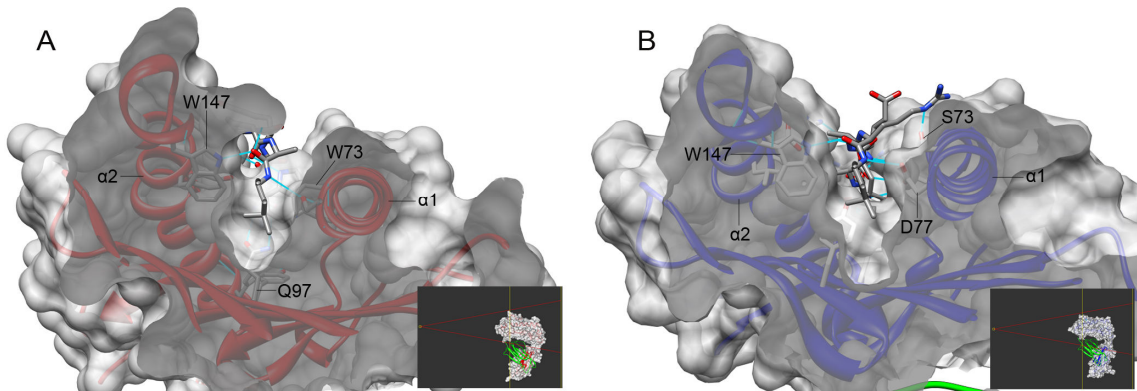


Figure S2. Topology of H2-D^b and H2-K^b binding clefts. A: Crystal structure of an H-2D^b allele (PDB access code 1CE6) is depicted as Ribbon and Surface. Epitopes inside the cleft are depicted as Sticks. Two tryptophanes of the MHC alpha-chain (W73 and W147) almost block the cleft, forcing the peptide to pass above them. B: Crystal structure of an H-2K^b allele (PDB access code 1RJY) is depicted with the same configuration. The absence of tryptophan (W73) results in a deeper cleft in this allele.

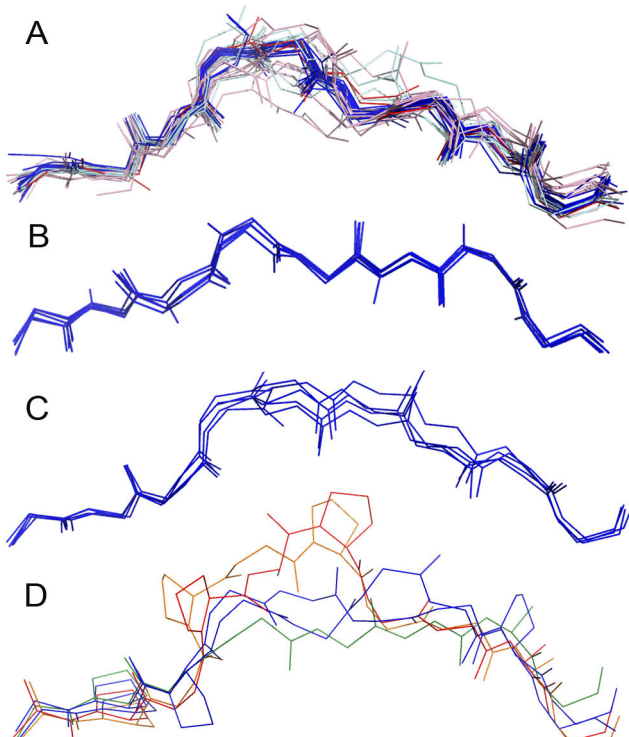


Figure S3. Conformational patterns of human MHC alleles. A: Thirty-four HLA-A*0201-restricted peptides (Table S1) were superposed using SPDBv program. Peptides sharing an A*0201-restricted pattern are depicted in blue. Exceptions to this pattern are depicted in cyan. Cancer-related peptides are depicted in light pink. Epitopes 1I7R and 1I7T are depicted in red (see Discussion). B: Superposition of five B*0801-restricted peptides. C: Superposition of five B*2705 restricted peptides. D: Superposition of three B*3501-restricted and two B*3508-restricted peptides. In this case, we have not enough structures to predict a pattern. Besides that, we can see that both B*3501-restricted 9-mers (blue) presented a similar conformation. In addition, a 10-mer peptide (APQPAPENAY) presented almost the same conformation when presented by B*3501 (orange) and B*3508 (red). A B*3508-restricted 8-mer is also depicted (green).

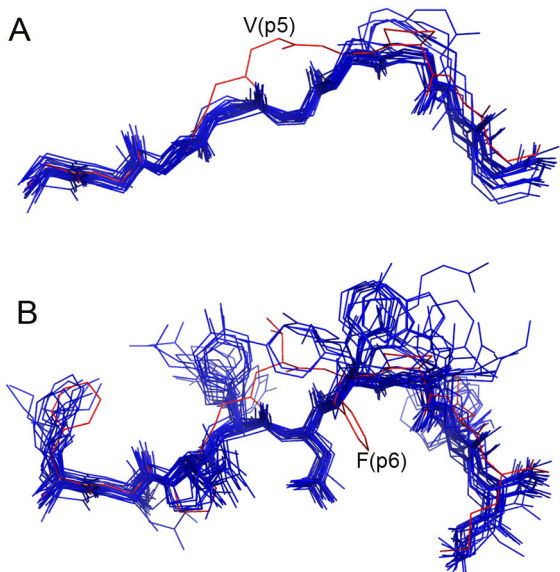


Figure S4. Exception to the H-2D^b pattern. A: The 1BZ9 epitope (red) does not have the conventional amino acid in the anchor position (p5) and showed a significant deviation in the main chain when compared to other epitopes. B: The side chains of the epitope 1BZ9 (red) are in a similar conformation to other epitopes of this allele, except in a phenylalanine at position 6 of the epitope, which may be used as an alternative “anchor”. Observe the presence of an anchor amino acid in C-terminal and a hidden N-terminal extremity under the side chains of the MHC, characteristics that may contribute to the presentation of this unusual epitope.

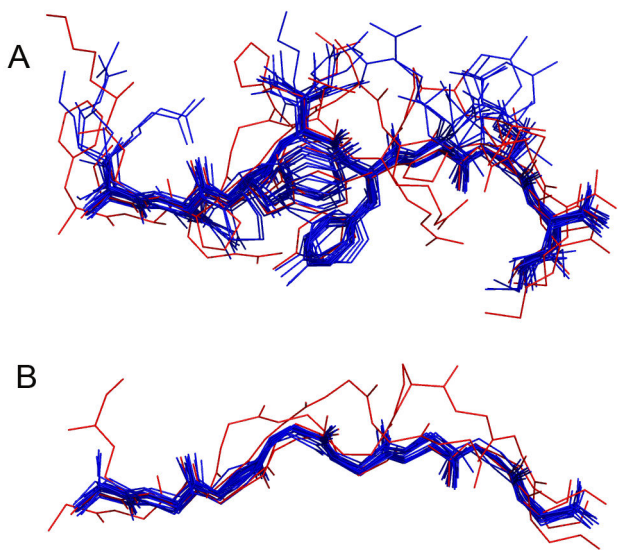


Figure S5. Structural pattern of H-2K^b restricted ligands. A: Twenty-two epitopes (see Table S2) restricted to this allele were superposed, four 9-mer (red) and 18 8-mer (blue). The H-2K^b restricted ligands, just like those restricted to the H-2D^b allele, presented a higher identity in the side chains of the anchor positions than in the side chains oriented outside of the cleft. B: Backbone superposition of the 21 ligands shows a shared conformation among the epitopes with the same length (8-mer). The length adjustment, in this allele, seems to be in different positions, when compared to the H-2D^b allele.

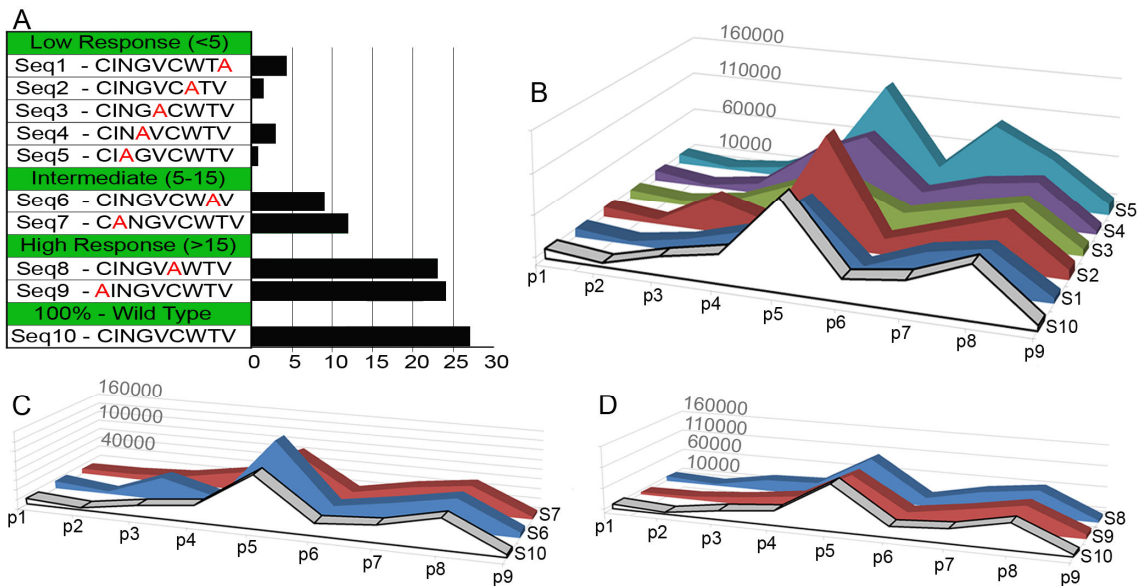


Figure S6. Analyze of HCV alanine exchanged peptides. The wild type HCV derived peptide (CINGVCWTV) and nine alanine exchanged peptides were analyzed. A: Sequences of 10 peptides are indicated. Level of IFN- γ production by CVNGVCWTV-specific CD8+ T-cells, induced by each sequence, are also represented [13]. Each bar (in black) represents the number of the Spot Forming Units (SFU/10⁴ cells) produced by each of the peptides. Accessible Surface Area (ASA) plot of sequences that stimulates low (B), intermediated (C) and high (D) IFN- γ production are depicted. ASA values are measured in square angstroms. The wild type sequence (S10) was included in all plots.

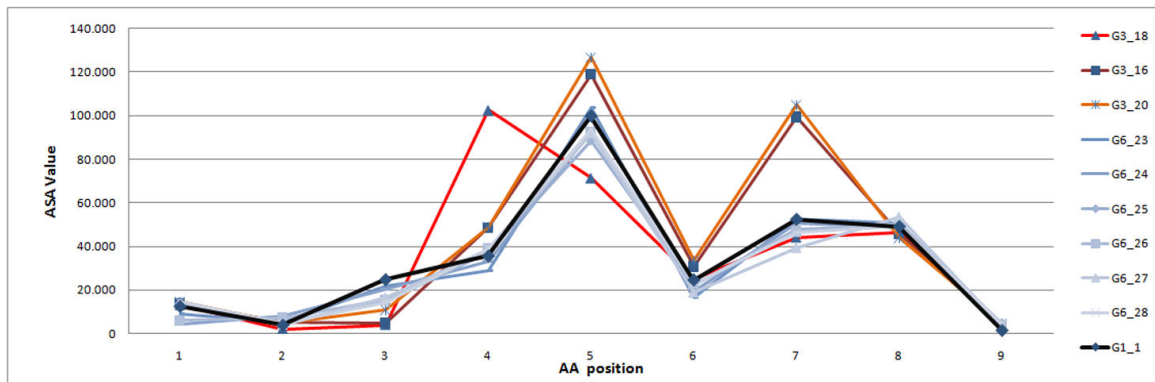


Figure S7. Flowchart of a new pMHC complex construction. ASA values of the wild type HCV derived peptide (CVNGVCWTV) and 28 naturally occurring NS3₁₀₇₃-variants were analyzed. In agreement with experimental data, the ASA values from genotype 6 presented the same pattern of the wild type peptide and the peptides with higher deviation from this “ASA pattern” (G3_16, G3_18 and G3_20), presented the lowest levels of IFN- γ production in all ELISPOT assays (Fytilli et al. 2008).

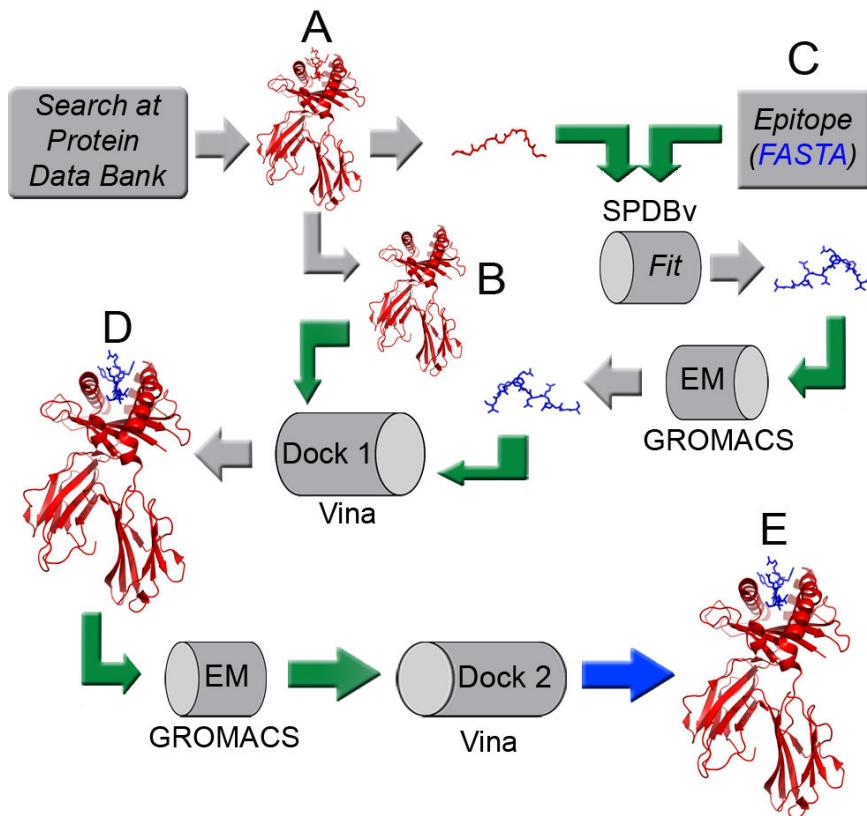


Figure S8. Flowchart of a new pMHC complex construction. Consider an epitope “C” whose structure in the context of a given MHC allele was not determined. A search at PDB is performed, looking for a PDB file containing the allele of interest presenting an epitope with the same length of the “c” epitope. In this example, we found the “A” complex. Using the SPDBV program, it was observed that the amino acid sequence of the epitope “c” is “Fit” on the 3D structure of the epitope present at the “A” complex. The generated structure of the epitope “c” is submitted to an energy minimization (EM), and is used as input for the docking with an “MHC donor” structure (B). In order to adjust the MHC to this new epitope, an EM of the complex “D” is performed. After minimization, epitope and MHC are separated and used as inputs to a second docking, which will generate the desired pMHC complex (E). For more information see methods.

Capítulo III

Structural *in silico* analysis of cross-genotype-reactivity among naturally occurring HCV NS3-1073-variants in the context of HLA-A*02:01 allele - Artigo completo aceito para publicação na revista Molecular Immunology.

Structural *in silico* analysis of cross-genotype-reactivity
among naturally occurring HCV NS3-1073-variants in the
context of HLA-A*02:01 allele

Dinler A Antunes, Maurício M Rigo, Jader P Silva, Samuel P Cibulski, Marialva Sinigaglia, José A B Chies, Gustavo F Vieira [§]

NBLI - Núcleo de Bioinformática do Laboratório de Imunogenética, Department of Genetics, Federal University of Rio Grande do Sul, Porto Alegre, Brazil.

[§] Corresponding author.

Email addresses:

DAA: dinler@gmail.com

MMR: mauriciomr1985@gmail.com

JPS: jader0001@hotmail.com

SPC: spcibulski@hotmail.com

MS: msinigaglia@gmail.com

JABC: jabchies@terra.com.br

GFV: gusfioravanti@yahoo.com.br

Address, Telephone and Fax Numbers (corresponding author):

Av. Bento Gonçalves 9500 Building 43323 Room 225

Bairro Agronomia

91501-970 - Porto Alegre, RS - Brazil - PO Box: 15053

Telephone: (51) 33089938

Fax: (51) 3308-7311

Abstract

Cellular immune response plays a central role in outcome of Hepatitis C Virus (HCV) infection. While specific T-cell responses are related to viral clearance, impaired responses can lead to chronic infection, turning HCV variability into a major obstacle for vaccine development. In a recent work, Fytilli *et al.* studied the cross reactive potential of HCV specific CD8+ T-cells and observed a large variation in immunogenicity among 28 naturally occurring NS3₁₀₇₃ variants. In this work, we intend to evaluate this immunogenic variation at molecular level, through bioinformatics approaches. The *D1-EM-D2* strategy was used to build *in silico* MHC:peptide complexes (pMHC) of these HCV-derived peptides in the context of HLA-A*02:01 allele. The TCR-interacting surface of these complexes were evaluated using the GRASP2 program. Structural analysis indicated a sharing of topological and electrostatic features among complexes that induced strong response *in vitro*. Besides, complexes that induced low response presented an important positively charged spot in the center of TCR-interacting area. This spot was seen even in complexes with conservative amino acid changes and is consistent with the impairment of recognition by wild-type-specific T-cells, observed *in vitro*. Furthermore, the most remarkable difference in electrostatic potential was seen precisely in the only complex unable to induce *in vitro* stimulation. All these observations were confirmed by Principal Component Analysis (PCA) and this approach was also applied to a set of 45 non-related immunogenic viral epitopes, indicating possible new targets for cross-reactivity studies. Our results suggest structural *in silico* analysis of pMHC complexes as a reliable tool for vaccine development, affording to predict the impact of viral escape mutations and selection of epitopes with potential to induce cross-reactive immune responses.

KEYWORDS: Cross-reactivity; immunogenicity; structural bioinformatics; Hepatitis C virus.

Abbreviations:

HCV: Hepatitis C Virus

MHC: Major Histocompatibility Complex

pMHC: MHC-peptide complex

HLA: Human Leukocyte Antigen

TCR: T-Cell Receptor

PCA: Principal Component Analysis

1. Introduction

Hepatitis C Virus (HCV) infection is persistent in most of the infected individuals, being the major cause of chronic liver disease, cirrhosis, and hepatocellular carcinoma. Cytotoxic T Lymphocyte (CTL) response seems to play a central role in the outcome of this infection, associated with both viral clearance and immunopathogenesis of the infection (Thimme et al., 2002; Vertuani et al., 2002). Strong cellular immune response, especially in the acute phase of infection, has been related to viral control and eradication, nourishing expectations regarding vaccine development (Cuccharini et al., 2000; Hiroishi et al., 2010). In this context, the HLA-A2-restricted epitope NS₃₁₀₇₃ comes to light as a promising target, being the most frequently recognized HCV-specific epitope (Engler et al., 2004; Schlaphoff et al., 2007). NS₃₁₀₇₃-specific CTL response has been related to clearance of acute HCV-infection (Lechner et al., 2000; Rehermann and Nascimbeni, 2005; Thimme et al., 2002) and, probably due to its importance for viral fitness, this region presents a very limited variation among the six HCV genotypes (Soderholm et al., 2006). However, even a limited variation within an immunodominant target for host CTL response can be a huge obstacle for vaccine development, since defective responses can lead to chronic infection (Wedemeyer et al., 2002). This idea is also supported by experimental HCV infection in chimpanzees, where animals rechallenged with heterologous HCV genotypes seem to be viremic for a longer time and develop chronic infection in a rate similar to primary infections (Prince et al., 2005).

In a recent work, Fytilli *et al.* (Fytilli et al., 2008) aimed to study the sequence variability of the NS₃₁₀₇₃ epitope across all HCV-genotypes, to determine HLA-A2 binding affinities of all variants identified and to investigate cross-reactivity of NS₃₁₀₇₃ wild-type-

specific CD8+ T-cells. In one of the performed assays, the authors used Peripheral Blood Mononuclear Cells (PBMCs) from a healthy individual who was vaccinated with the peptide vaccine IC41, which includes the wild-type epitope “CINGVCWTV”, and observed a large variation of immunogenicity against 28 NS3₁₀₇₃ peptides from naturally occurring variants, in the context of HLA-A2, through ELISPOT assay. Although some mutations in anchor positions partially affected the HLA binding affinity, these mutations did not prevent TCR stimulation *in vitro*. Similarly, immunogenic variation was not restricted to non-conservative amino acid exchanges, since even single conservative exchanges may abolish recognition of wild-type-specific T-cells. Therefore, the amino acid sequence analysis *per se* was not able to fully explain all the immunogenic variability observed *in vitro*, and this unpredictability remains as an obstacle for vaccine development.

HCV represents a difficult challenge for conventional vaccinology and some alternatives, such as Reverse Vaccinology, have already been suggested (Rappuoli, 2000). In this scenario, bioinformatics tools are used to analyse the pathogen genome and predict the antigens that are most likely to be vaccine candidates. In the past few years, many other applications of computational power to address immunological problems have been proposed, and immunoinformatic has emerged as a promising field (Korber et al., 2006; Tong and Ren, 2009). One of the goals in this field is to predict the three-dimensional structure of complexes formed by hosts Major Histocompatibility Complex (MHC) and peptides derived from a given pathogen. These MHC:peptide complexes (pMHC) play a central role in cellular immune response, once it allows the host lymphocytes to identify infected cells through the interaction with T-Cell Receptor (TCR).

Our group has used structural bioinformatics tools, such as molecular docking and molecular dynamics, to build *in silico* models of pMHC complexes that can be further analysed regarding its topology and electrostatic potential, among other features (Antunes et al., 2010; Rigo et al., 2009). Our approach, previously described as *D1-EM-D2 (Docking 1 - Energy Minimization - Docking 2)*, uses a crystal structure of a given MHC as a macromolecule for cross-docking with the structure of each peptide. One intermediate step of Energy Minimization is also performed to accommodate the MHC side chains to each new ligand. In the present work, this strategy was applied to build *in silico* pMHC complexes of the 28 HCV derived peptides previously tested *in vitro* by Fytilli *et al.* (Fytilli et al., 2008), in the context of human MHC allele HLA-A*02:01. Aiming to evaluate the

immunogenic variation of these complexes at molecular level, images of the TCR-interacting area of these complexes were obtained and used as input to multivariate statistical methods. In addition, we submitted these 28 complexes to a short molecular dynamics and reevaluated their TCR-interacting surfaces.

2. Material and methods

2.1. Construction of pMHC complexes

Complexes were built through combined use of molecular docking and energy minimization, previously described as *D1-EM-D2* approach (Antunes et al., 2010). Briefly, a crystal structure of HLA-A*02:01, Protein Data Bank (PDB) access code 2V2W, was used as “MHC donor” (macromolecule) for cross-docking with the structure of each peptide. Epitopes were built from its linear amino acid sequence using the crystal structure of an HLA-A2-restricted peptide, PDB access code 1T1Z, as a reference for backbone three-dimensional conformation. Molecular dockings were performed with AutoDock Vina 1.0.2 (Trott and Olson, 2009) using default values (e.g. exhaustiveness =8). All torsions in the macromolecule were kept rigid, as torsions in ligand backbone, while ligand side chains were kept completely flexible. For each epitope, the same input files were used to run AutoDock Vina 20 times, generating a final population with up to thousand different conformations (20 outputs with up to 50 structures each). Binding Energy (BE) values of the best conformation of each output were used to establish a threshold, and the conformations above this threshold were used to calculate the Root Mean Square Deviation (RMSD) among the selected conformations. These steps were performed using an automated script developed by our team, which uses the g_confrms software, GROMACS 4.0.7 package (Van Der Spoel et al., 2005), to calculate the RMSDs. The conformation with the lowest deviation among the selected ones was chosen as the final docking result (side chains in most frequent positions) and saved in a pdb file, along with the “MHC donor”. This complex is then submitted to an energy minimization (EM) step, aiming to adjust the “MHC donor” to its new ligand, and the resulting complex is used into a new round of molecular docking. EMs were also performed with GROMACS 4.0.7 package (Van Der Spoel et al., 2005).

All complexes built for these work, as well as GRASP2 images of these complexes, are being compiled to be released as part of the CrossTope Structural Data

Bank for Cross-Reactivity Assessment (www.crosstope.com.br). This database also stores the structures (PDB files) and GRASP2 images for other immunogenic viral peptides in the context of four different MHC alleles (HLA-A*02:01, HLA-B*27:05, H-2D^b and H-2K^b), allowing on-line comparison of these complexes data (Sinigaglia M, personal communication).

2.2. Analyses of topology and charges distribution

The MHC surface analyses were performed with the GRASP2 program (Petrey and Honig, 2003), on Windows 7 platform. Electrostatic potential of the 28 NS3-1073-variants was calculated with a scale from -10 to +10 kiloteslas. A narrower range, from -5 to +5 kiloteslas, was used to generate images of selected immunogenic viral epitopes. Images of complexes after molecular dynamics were depicted with a range from -3 to +3 kiloteslas. All images were obtained with complexes in the same position.

2.3. Images acquisition and data extraction

Top view images of pMHCs were generated with GRASP2 program (Petrey and Honig, 2003) and seven selected regions were defined over the TCR-interacting surface (Appendix A). Color histograms (RGB) of these selected areas were obtained from all GRASP2 images using the ImageJ 1.43u software (National Institute of Health, USA, <http://rsb.info.nih.gov/ij>). In total, 63 values were obtained from the seven histograms of each image, such as color mean, mode and standard deviation. Figures included in the article were edited with Adobe Photoshop CS2 v.9.0. program (Adobe, San Jose, Calif).

2.4. Principal Component Analysis (PCA)

Values of mean and standard deviation of each color (Red, Green and Blue) were taken as correlated variables for a factor analysis using principal component method, using the SPSS software (PASW Statistics 18, IBM, Chicago IL. USA). For the 28 NS3-1073-variants, PCA was based on data from selected region 1 (S1) and two principal components explained 94.5% of total variance. PCA for selected immunogenic viral epitopes was based on data from three selected regions (S1, S2 and S5) and three principal components explained just 68.2% of total variance. In this specific case, values regarding green color were not included, given its poor contribution for the principal components.

2.5. Hierarchical Cluster Analysis (HCA)

Hierarchical Cluster Analysis was performed assisted by the SPSS software (PASW Statistics 18, IBM, Chicago IL. USA). The centroid clustering method was used with squared Euclidean distance interval and results were plotted as a dendrogram. HCA of the 28 NS3-1073-variants was based on data from selected region 1 (S1). HCA for selected immunogenic viral epitopes was performed with data from all seven selected regions over the TCR-interacting area of the pMHC complexes.

2.6. Molecular Dynamics

Complexes presenting 28 NS3-1073-variants were submitted to a short Molecular Dynamics with GROMACS v4.0.7 package (Van Der Spoel et al., 2005), on Linux platform (Ubuntu 9.10). An energy minimization step was performed using steepest-descent integrator with no restraints (nsteps = 10000), allowing relaxation of the entire system. Then, the system was submitted to an equilibration stage for 100 ps, with position of non-hydrogen atoms restrained to allow the formation of solvation layers. Finally, the system was gradually heated from 50 to 310 K preserving $100 \text{ kJ}^{-1}\text{nm}^{-1}$ of positional restraints for all heavy atoms, over a period of 100 ps. All simulations were performed with G53a6 force field.

2.7. Selection of complexes presenting immunogenic viral epitopes

A set of 45 pMHC complexes presenting immunogenic viral epitopes was selected from CrossTope Data Bank (<http://www.crosstope.com.br/>). These epitopes were curated from two well-known epitope databases: SYFPEITHI (<http://www.syfpeithi.de/>) (Rammensee et al., 1999) and IEDB (<http://www.immuneepitope.org>) (Vita et al., 2010). Information about protein source and epitope position was manually verified (Appendix B), as well as results of *in vitro* experiments performed to identify these epitopes as immunogenic. Selected epitopes were complexed to HLA-A*02:01 structure for further analysis of these pMHC complexes and inclusion in the CrossTope Data Bank.

3. Results/Discussion

3.1. *In silico* study of cross-reactivity potential among the wild-type complex HLA-A2-NS3₁₀₇₃ and 28 pMHCs presenting naturally occurring NS3₁₀₇₃-variants

Two sequences are considered as wild-type for the NS3₁₀₇₃ epitope, CVNGVCWTV and CINGVCWTV. In one of their experiments, Fytilli *et al.* used PBMCs from a healthy individual vaccinated with the peptide vaccine IC41 (which includes "CINGVCWTV") in an ELISPOT assay (Fytilli et al., 2008). These cells were tested for IFN-gamma production after stimulation with 28 naturally occurring variants, covering all six HCV genotypes and including the wild-type CVNGVCWTV (these results were summarized in Figure 1A).

In a previous work, our group have already analysed Accessible Surface Area (ASA) of this set of NS3₁₀₇₃ peptides in the context of HLA-A*02:01 allele (Antunes et al., 2010). Although this approach alone was not able to explain all variation observed *in vitro*, ASA values from genotype 6 presented the same pattern of the wild type peptide, while peptides with higher deviation from this "ASA pattern" were those with the lowest levels of IFN-gamma production in all ELISPOT assays.

In this work, TCR-interacting surface analysis of these 28 pMHC complexes confirmed a sharing of topological and electrostatic aspects among complexes that induced strong response *in vitro* (depicted with black bars in Figure 1A), especially among the wild-type (G1-1) and the variants from genotypes 4, 5 and 6 (Figures 1C to 1E). Differences in electrostatic potential over the pMHC surface are referred to as being more crucial for TCR recognition than subtle changes in topology (Jorgensen et al., 1992; Kessels et al., 2004). Therefore, despite some minimal topological variation, these complexes can be recognized by the same specific T-cell population. On the other hand, complexes that induced lower responses, especially variants from genotypes 2 and 3, presented an important positively charged spot in the center of the TCR-interacting area (Figures 1F to 1H). Furthermore, the most remarkable difference in electrostatic potential was seen precisely in G3-18, the only complex unable to induce an *in vitro* stimulation of wild-type-specific T-cells (Figure 1I and Appendix C). This is not the only pMHC subset in which our approach agreed with *in vitro* data regarding cross-reactive potential against a wild-type-specific T-cell population. The basis of our *in silico* approach for cross-reactivity assessment was used in a previously work to explain the immunogenic variation within a group of HCV-derived alanine exchanged peptides in the context of HLA-A*02:01 allele

(Antunes et al., 2010).

Fytilli *et al.* have also called attention for an observation that even single conservative amino acid changes impaired recognition of wild-type-specific T-cells, highlighting the risk for escape in this epitope (Fytilli et al., 2008). This feature cannot be predicted from the linear amino acid sequence, and could limit the potential efficacy of vaccines containing the NS3₁₀₇₃-wild-type peptide. However, our results suggest that this feature could be predicted by TCR-interacting surface analysis, since the complexes with affected CTL recognition due to conservative amino acid changes (G1-3, G1-4 and G1-6) also presented a positively charged spot in the center of TCR-interacting area (Figure 1F and Appendix C).

3.2. Confirmation of *in silico* observation by Principal Component Analysis (PCA)

Principal Component Analysis has been applied to a wide range of problems, including structural bioinformatics and immunoinformatics (Andrusier et al., 2008; Bremel and Homan, 2010a; Bremel and Homan, 2010b; Tian et al., 2008). In this work, PCA was performed with a view to evaluating the contribution of a positively charged spot, seen in some complexes surface, to the recognition by wild-type-specific T-cells. This analysis was based on color histograms extracted from GRASP2 images (see methods) and confirmed our previous observations, grouping peptides from genotypes 4, 5 and 6 with the optimal responders from genotype 1 (Figure 2). Peptides from genotypes 2 and 3, which presented poor *in vitro* stimulation, formed separate clusters. Also in agreement with *in vitro* data, complex G3-18, the only non-inducer complex, was placed in a completely separated position in the scatter plot.

Complexes G1-3, G1-4 and G1-6, in which conservative amino acid changes affected CTL recognition, were distributed in positions far from genotype 6. In this analysis, complexes G1-5 and G1-8 were placed among the optimal responders, although these complexes induced an intermediate stimulation *in vitro* (depicted with dark grey bars in Figure 1A). It is important to note that G1-5 complex, along with complexes G1-3 and G1-6, presented the most remarkable topological differences among all the studied complexes (Appendix C). This difference is given by the presence of an alanine at the fifth position (p5), which occurs only in these complexes. Topological aspects, though less important than electrostatic potential, can also influence the TCR/pMHC interaction. Since

this PCA was based only on color information, it does not reflect topological issues.

Although according to *in vitro* assay the complex G1-8 induced intermediate levels of IFN-gamma production, this complex does not present any important structural difference as compared to the wild type. However, it is important to stress that we are using as reference just one of the experiments carried out by Fytilli *et al* (Fytilli et al., 2008). We choose to focus our discussion in the results of the assay performed with PBMCs recovered from the vaccinated individual, aiming to avoid any external issues that could enhance the variability in our system and bias our results, but the authors presented in their work data from 7 ELISPOT assays (representative of a larger group). These experiments were performed with PBMCs recovered from seven individuals with different immunological backgrounds: healthy volunteers (anti-HCV negative), as well as acute and chronically HCV infected patients. It was observed some variation in the levels of IFN-gamma production among different experiments, even comparing the values of the same HCV variant. Considering the results of all these seven independent assays, the three complexes that we grouped as intermediate responders (G1-5, G1-6 and G1-8) presented distinct patterns. IFN-gamma production by complex G1-6 was around 20% in all assays and complex G1-5 presented similar levels, except for one assay in which this complex stimulated 40% of IFN-gamma production. On the other hand, complex G1-8 presented more than 40% of IFN-gamma production in three assays performed both with CTLs from healthy volunteers, as well as from recovered or chronically HCV infected patients. Therefore, our structural analysis is in agreement with *in vitro* data, since it was able to separate complex G1-8 from complexes G1-5 and G1-6, identifying in the former the potential to be a cross-reactive target for NS3₁₀₇₃-specific T-cells.

Apart from being involved in cross-genotype-reactivity, the HCV-derived NS3₁₀₇₃ epitope is also implicated in cross-reactivity with epitopes from non-related viruses. For instance, Wedemeyer at al. (Wedemeyer et al., 2001) were able to expand specific-NS3₁₀₇₃-CTLs from the blood of HCV-negative blood donors. The authors identified the Neuraminidase-derived NA₂₃₁ epitope, from Influenza Virus (IV), as the target for these cross-reactive memory T-cells. This IV-derived epitope was included in Principal Component Analysis and, in agreement with *in vitro* data, was placed near the NS3₁₀₇₃ wild-type epitope (Figure 2). This result indicates that structural-based approaches for cross-reactivity assessment can be used both to study determinants of related viruses, as

well as to identify possible targets for cross-reactivity among any other epitopes of interest.

In addition to PCA, we used the same data from GRASP2 images to perform a Hierarchical Cluster Analysis (HCA). The results agreed with PCA, and were plotted as a dendrogram using centroid linkage (Appendix D). All complexes from genotypes 4-6 were placed in the same cluster, along with G1-1, G1-2, G1-7, G1-8 and IV-NA₂₃₁. Complexes G1-3, G1-4 and G1-6 were placed in a group close to complexes from genotype 2. Finally, complexes from genotype 3 formed a separated cluster and the G3-18 complex remained as the most distant one.

3.4. Molecular Dynamics with position restraints

All structural analyses described so far were taken over “static” complexes that were obtained by *D1-EM-D2* approach. Despite general similarity, some topological differences were seen among these 28 complexes, especially in complexes G1-3, G1-5 and G1-6. In order to verify if these topological differences would remain even in solution, all complexes were submitted to an Energy Minimization (EM) followed by a short Molecular Dynamics (MD). Once the main goal was to observe subtle variation in topology and electrostatic potential, a mild position restrain for heavy atoms was preserved during the simulations. These restraints allowed to accommodate side chains with unfavorable steric interactions, while avoiding a greater variability of the solvent exposed side chains.

Structural analysis taken after MD presented results in agreement with our first observations (Appendix E). Complexes G1-3, G1-5 and G1-6 preserved their topological differences even after MD, with the absence of a neutral crest which was present in all other complexes. All pMHCs from genotypes 2 and 3 preserved their positively charged spot in the TCR-interacting area and, in all cases, this spot was represented as a small cavity in the complexes surface. On the other hand, none of the complexes with good response *in vitro* presented this cavity or the positively charged spot.

Molecular Dynamics also seems to smooth out the electrostatic potential over the pMHC complex. Principal Component Analysis is affected by this, since PCA is based on charge distribution differences. PCA using data from MD was able to cluster complexes G1-7, G4-21, G5-22 and G6-23 as the most closely related with the wild-type (G1-01). However, this analysis was not able to clearly separate all G6 complexes from those from genotypes 2 and 3, even using images with a narrow electrostatic potential range.

3.5. *In silico* analysis of cross-reactivity among the HCV wild-type epitope CVNGVCWTV (NS3₁₀₇₃) and a set of selected immunogenic viral epitopes

Aiming at applying this structural analysis to a larger set of non-related pMHC complexes, forty-five complexes presenting immunogenic viral epitopes in the context of HLA-A*02:01 were selected from the CrossTope Data Bank (see methods). Most of these complexes do not possess crystal structures available, and were built using the *D1-EM-D2* approach. The IV-derived epitope CVNGSCFTV (NA₂₃₁) was also included in this analysis, along with the HCV-NS3₁₀₇₃ wild-type and all variants from genotypes 4 to 6. Relevant information about selected epitopes, totaling 55 sequences, is shown in Appendix B.

PCA results for these 55 non-related structures preserved the clusterization of the immunogenic HCV-NS3₁₀₇₃ variants studied before, as well as the proximity between the epitopes HCV-NS3₁₀₇₃ (wild-type) and IV-NA₂₃₁ (Appendix F). In addition, other complexes were identified as having similar distribution according to three Principal Components. For this analysis, we used data obtained from three different regions selected over the TCR-interacting surface (see methods). The inclusion of these new areas, however, made it impossible to summarize the whole span of variation in just two or even three principal components. For instance, the three components used in this case explained just 68.2% of the variance.

Inclusion of new selected regions can increase the power to discriminate among complexes, and this information can be used directly to an Hierarchical Cluster Analysis (HCA). For this alternative approach, GRASP2 images from the 55 selected complexes were used to collect data from seven regions over the TCR-interacting surface (Appendix A). Data from all these regions were used as input for a HCA and plotted as a dendrogram using centroid linkage (Figure 3). As expected, all HCV-NS3₁₀₇₃ variants were grouped together. Interestingly, five complexes presenting non-related viral epitopes – CrossTope IDs A0201_0014, A0201_0073, A0201_0076, A0201_0083 and A0201_0095 – were placed in the same group.

Further evaluation of these five complexes revealed that at least two of them (A0201_0073 and A0201_0095) presented little differences in both topology and electrostatic potential, and could be promising candidates for *in vitro* cross-reactivity

assays (Appendix G). Two of the remaining complexes presented some topological differences (A0201_0014 and A0201_0083) and complex A0201_0076 presented a positively charged spot in a position that was not represented among the selected regions, also differing from the HLA-A2-NS3₁₀₇₃ complex presenting the wild-type.

One of the two promising complexes presents the HIV-1-derived peptide “SLYNTVATL” (GAG₇₇), which has not been so far described as a possible target for cross-reactivity with the HCV-NS3₁₀₇₃ epitope. Interestingly, this same HIV epitope was already described as being cross-reactive with the HCV-NS5b peptide, in HIV/HCV co-infected individuals (Vali et al., 2010). The other indicated complex present the “LLWTLVVLL” peptide, from the Human herpesvirus 4 (LMP2₃₂₉). It is important to note that this peptide does not share even a single amino acid with the target peptide (CV/INGVCWTV) and, nevertheless, presented almost the same structural pattern when presented in the context of HLA-A*02:01. This result stresses the power of this structural approach in prospecting new cross-reactive targets.

The present approach was able to reproduce *in vitro* data for the identification of cross-reactive targets and suggested new candidates for future *in vitro* experiments. The seven regions used to build the dendrogram were chosen considering the spots of variation in charge distribution among the selected complexes in the whole TCR-interacting surface. Interestingly, all these selected regions are placed within an area that corresponds to already described footprints of public TCRs (Gras et al., 2009; Rudolph et al., 2006; Turner et al., 2006). Therefore, the same variation that allowed us to discriminate among complexes is probably involved with *in vivo* differential stimulation of CTLs. However, it is important to consider that this structural approach must be refined before it can be safely and efficiently used in other applications, such as vaccine development. For instance, we could use information about the whole TCR-interacting surface, extracting data from several spots and allowing the PCA to infer which spots contribute more or less to group the complexes in a given analysis.

The main idea behind this work is that structural information about pMHC complexes, especially regarding the electrostatic potential over the TCR-interacting area, can be used to predict targets of cross-reactivity for immunological applications. In addition, we postulate that future approaches for cross-reactivity prediction should incorporate even more information about the complexes, such as topology measures, ASA

values, binding affinity and even data over pMHC stability, feeding one global analysis that can cover most of many details underlying TCR/pMHC interaction. This work has important implications especially to vaccine development against HCV, as it can be used to design new cross-reactive vaccines that can safely protect against a group of related viral genotypes (Hiroishi et al., 2010; Vieira and Chies, 2005; Wang et al., 2008; Yu and Chiang, 2010).

Acknowledgements

We thank the *Centro Nacional de Supercomputação* (CESUP-RS) for allowing access to its computational resources, and the collaboration of the Group of Structural Bioinformatics from the Center of Biotechnology (Cbiot/UFRGS). In particular, we thank Guilherme Menegon Giesel, for contributions about molecular dynamics parameters and standardization. We also thank Bruna Renata Silva Corrêa, from the The Laboratory for Biological Information Processing (LabPIB/USP), for suggesting the use of ImageJ software, and Sidia Maria Callegari Jacques, from the Department of Statistics (UFRGS), for contributions about the multivariate statistical methods.

Figures

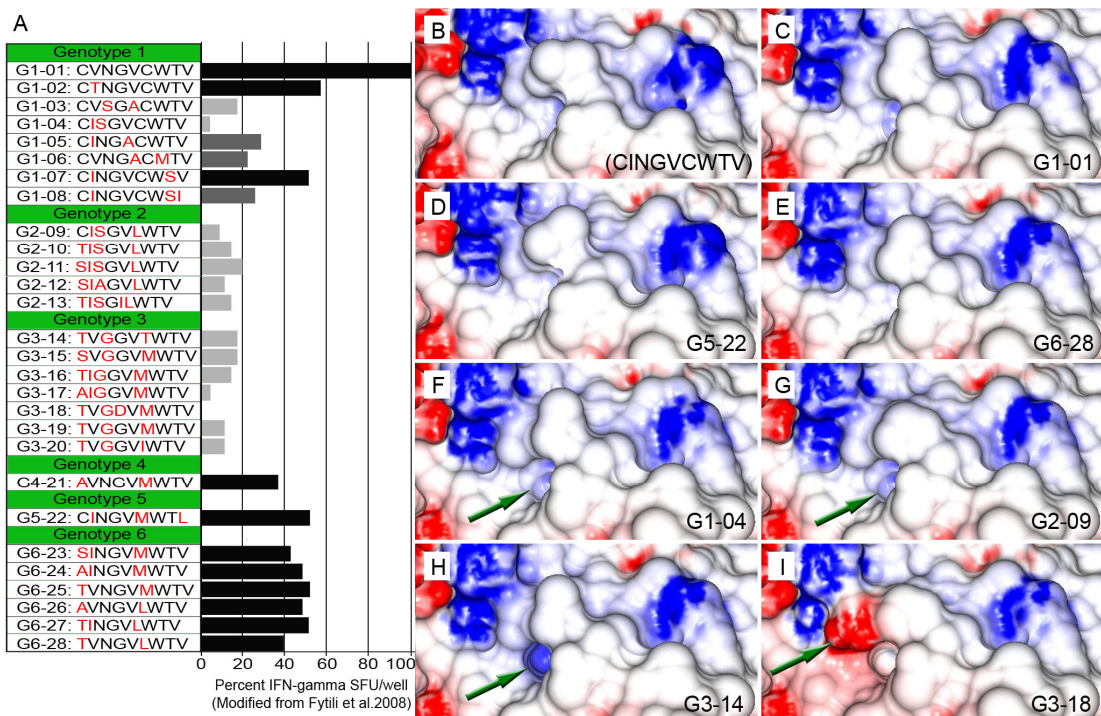


Figure 1 – Comparison between *in vitro* and *in silico* results for cross-reactivity potential among HCV- NS3₁₀₇₃-variants.

A: Results of an *in vitro* assay performed by Fytilli *et al.* 2008, in which NS3₁₀₇₃ wild-type-specific CD8+ T-cells were tested for IFN-gamma production after stimulation with 28 NS3₁₀₇₃ naturally occurring variants, in the context of HLA-A*02:01 allele (Fytilli *et al.*, 2008). B-I: TCR-interacting area of pMHC complexes presenting some of these peptides, after construction by *D1-EM-D2* approach (Antunes *et al.*, 2010). Charged areas over the complexes surface were computed with GRASP2 program and represented as red (negative charges) and blue (positive charges) spots, with a range from -10 to +10 kiloteslas. Complexes with strong *in vitro* response (B-E) presented similar topology and charge distribution, while those with poor *in vitro* response (F-I) presented charged areas that differentiate them from the wild-type complex (green arrows). GRASP2 images for the entire set of HLA-A2-NS3₁₀₇₃ complexes are shown in Appendix C.

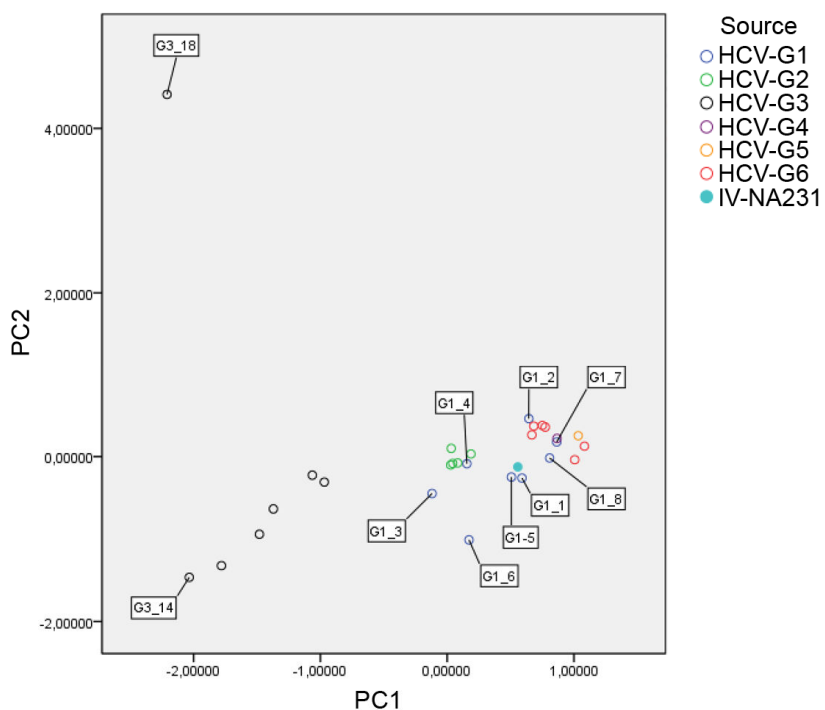


Figure 2 – Simple scatter plot of a Principal Component Analysis (PCA).

GRASP2 images were analysed using the ImageJ software and the color histogram (RGB) of a selected area was used to a PCA assisted by the PASW Statistics 18 software (for more information, see methods). Complexes presenting peptides from genotypes 4, 5 and 6 were grouped with the optimal responders from genotype 1. Complex G3-18, the only non-inducer complex, was placed in a completely separated position in the scatter plot. Moreover, the already described cross-reactive target IV-NA₂₃₁ was placed near the NS3₁₀₇₃ wild-type epitope.

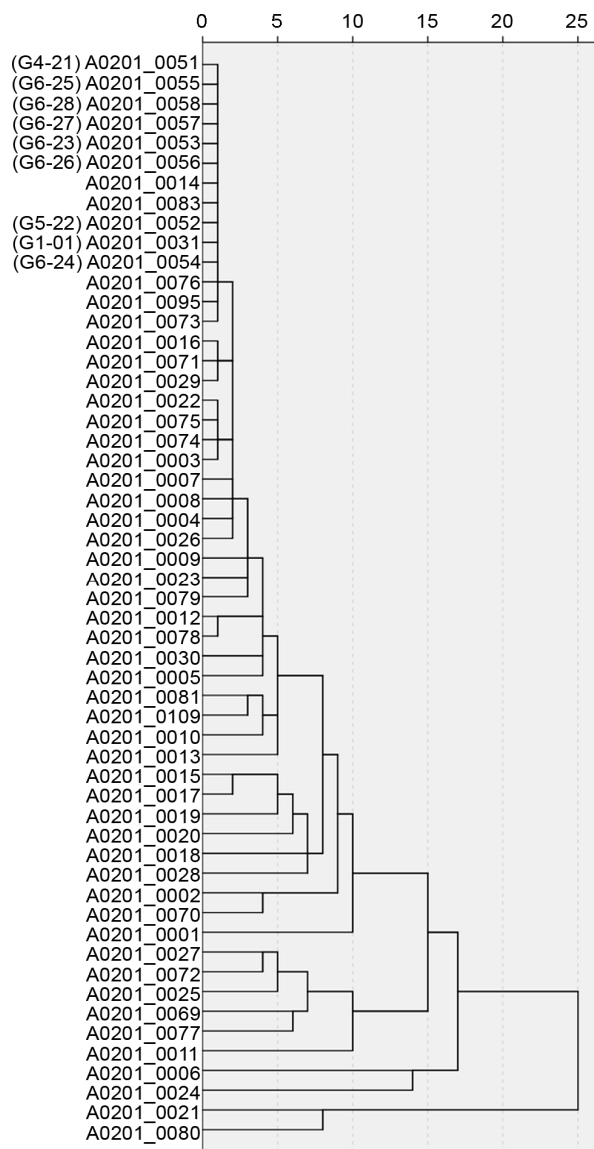
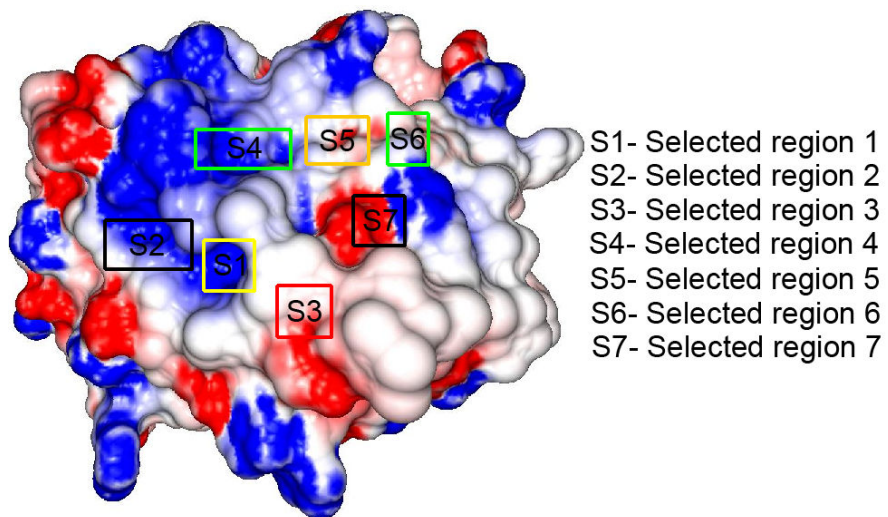


Figure 3 – Dendrogram of 55 complexes presenting selected immunogenic viral epitopes. GRASP2 images were analysed using the ImageJ software and the color histogram (RGB) of seven selected areas were used to a Hierarchical Cluster Analysis using the PASW Statistics 18 software (see methods). All HCV-NS3₁₀₇₃ variants were grouped together, along with IV-NA₂₃₁. In addition, five complexes presenting non-related viral epitopes (CrossTope IDs A0201_0014, A0201_0061, A0201_0073, A0201_0076 and A0201_0083) were also placed in the same group. This complexes presented similar pattern of charges distribution over the TCR-interacting area and at least two of them (A0201_0073 and A0201_0095) could be promising candidates for in vitro cross-reactivity assays (Appendix G).

Appendices



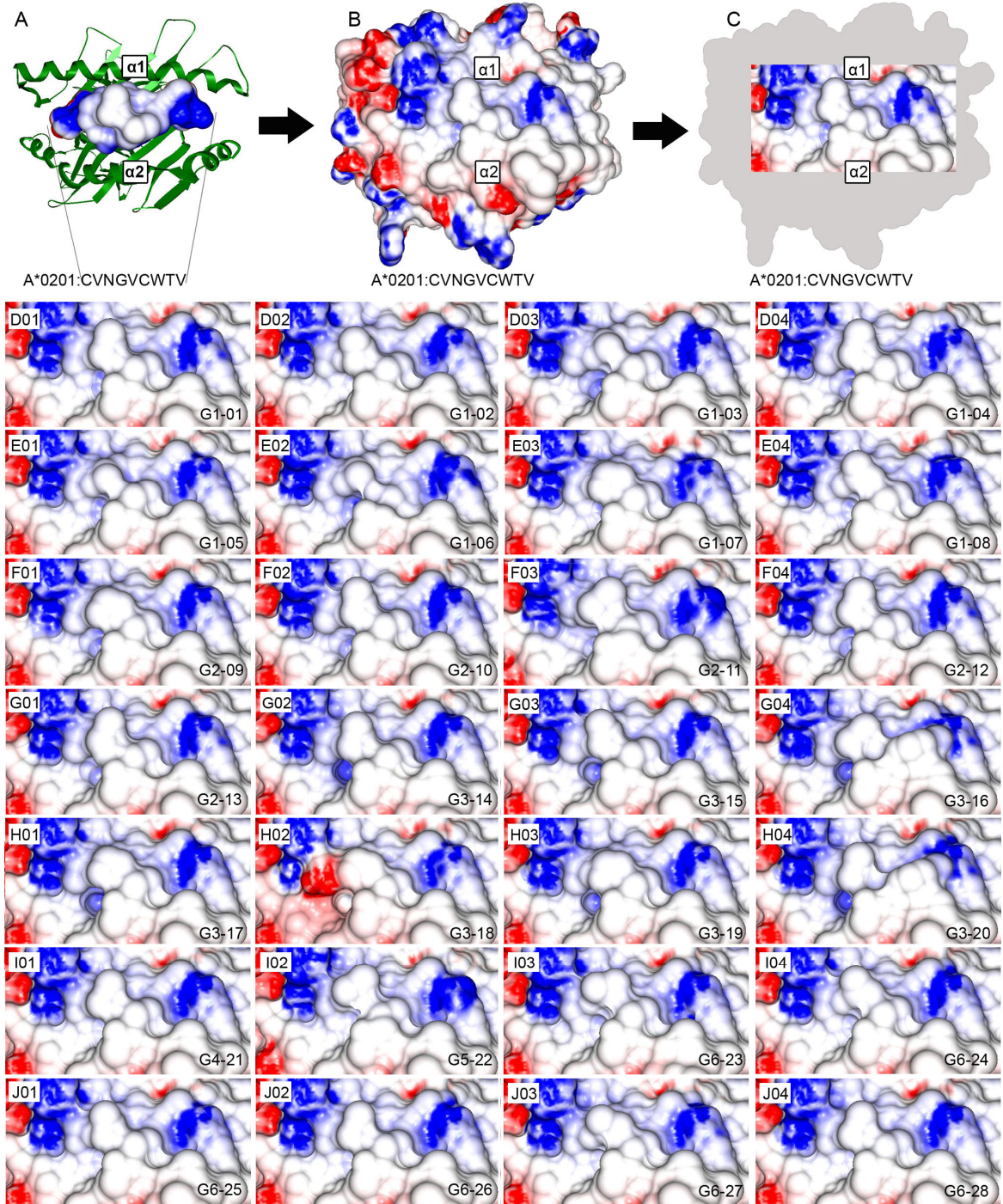
Appendix A – Regions selected to obtain color histograms with ImageJ.

Seven regions were chosen considering the spots of variation in charge distribution among the selected complexes in the whole TCR-interacting surface. All these selections are placed within an area that corresponds to already described footprints of public TCRs, and were used to obtain color histograms assisted by the ImageJ 1.43u software (see methods). Values from these histograms were used as input for multivariate statistical methods.

Appendix B – Supplementary data for a set of 45 manually curated immunogenic viral epitopes.

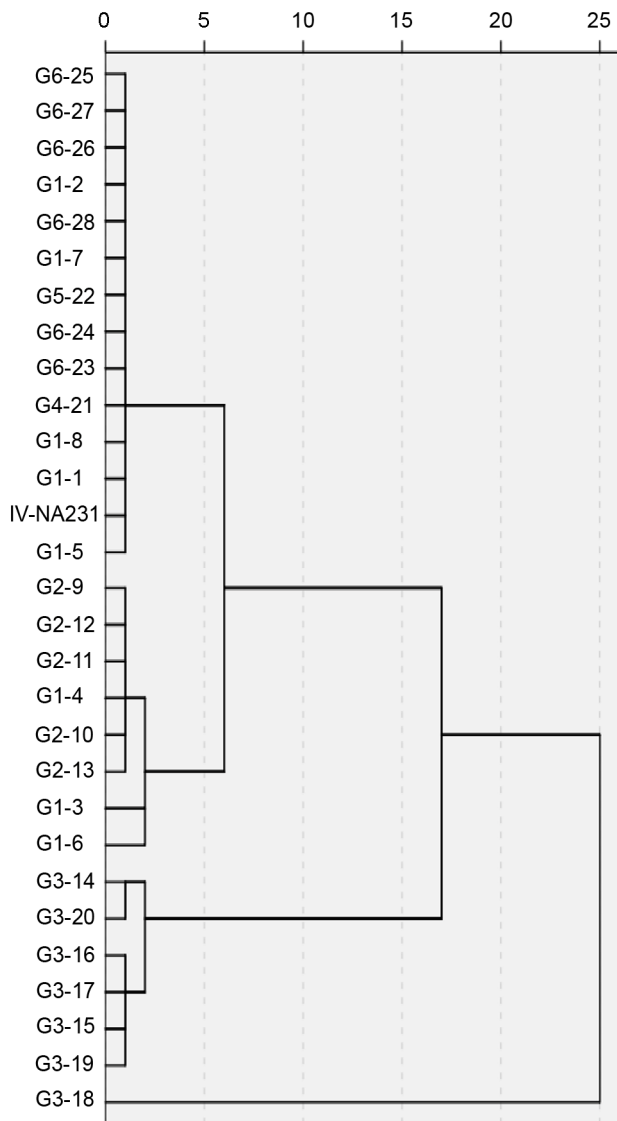
All selected epitopes are nonamers presented by the HLA-A*02:01 allele.

CrossTope ID:	Structure Source	Structure Type	Source Organism:	Abbreviation	Source Protein:	Epitope Position:	Sequence:	Epitope ID by IEDB:
A0201_0001	CrossTope	Model (D1-EM-D2)	Human immunodeficiency virus 1	HIV-1	nef protein	189-197	AFHHVAREL	none
A0201_0002	CrossTope	Model (D1-EM-D2)	Influenza A virus (A/Puerto Rico/8/34(H1N1))	IV	Non-structural protein 1 (NS1)	122-130	AIMDKNIIIL	2014
A0201_0003	CrossTope	Model (D1-EM-D2)	Human herpesvirus 4	HHV	Glycoprotein GP85 precursor	225-233	SLIVTTTFV	59551
A0201_0004	CrossTope	Model (D1-EM-D2)	Human herpesvirus 4 (strain B95-8)	HHV	Latent membrane protein 2	426-434	CLGGLLTMV	6568
A0201_0005	CrossTope	Model (D1-EM-D2)	Hepatitis C virus (isolate H)	HCV	Genome polyprotein	132-140	DLMGYIPLV	9203
A0201_0006	CrossTope	Model (D1-EM-D2)	Coxsackievirus B4 (strain E2)	CV	Genome polyprotein	1137-1145	EVKEKHEFL	14744
A0201_0007	CrossTope	Model (D1-EM-D2)	Vaccinia virus WR	VV	Phosphorylated IMV membrane protein	51-59	FILGIIITV	16241
A0201_0008	CrossTope	Model (D1-EM-D2)	Vaccinia virus WR	VV	Hypothetical protein VACWR050	196-204	FLIVSLCPT	16677
A0201_0009	CrossTope	Model (D1-EM-D2)	Hepatitis B virus	HBV	polymerase	573-581	FLLSLGIHL	16751
A0201_0010	CrossTope	Model (D1-EM-D2)	Hepatitis B virus	HBV	envelope protein	183-191	FLLTRILTI	16755
A0201_0011	CrossTope	Model (D1-EM-D2)	Human herpesvirus 2	HHV	tegument protein VP13/14	289-297	FLVDAIVRV	16936
A0201_0012	CrossTope	Model (D1-EM-D2)	Human herpesvirus 2	HHV	unnamed protein product	446-454	GAGIGVAVL	none
A0201_0013	CrossTope	Model (D1-EM-D2)	Human herpesvirus 1	HHV	envelope glycoprotein C	480-488	GIGIGVLA	none
A0201_0014	CrossTope	Model (D1-EM-D2)	Influenza A virus	IV	Matrix protein 1	58-66	GLGKFVFTL	20354
A0201_0015	CrossTope	Model (D1-EM-D2)	Human herpesvirus 2	HHV	tegument protein VP13/14	551-559	GLADTVVAC	20752
A0201_0016	CrossTope	Model (D1-EM-D2)	Human herpesvirus 4	HHV	BMLF1 protein	259-267	GLCTLVAML	20788
A0201_0017	CrossTope	Model (D1-EM-D2)	Vaccinia virus	VV	Toll/IL1-receptor	142-150	GLFDVFNFV	20833
A0201_0018	CrossTope	Model (D1-EM-D2)	Human papillomavirus type 6b	HPV	Protein E7	22-30	GLHCYEQLV	110601
A0201_0019	CrossTope	Model (D1-EM-D2)	Hepatitis C virus (isolate 1)	HCV	Genome polyprotein	2727-2735	GLQDCTMLV	21079
A0201_0020	CrossTope	Model (D1-EM-D2)	Vaccinia virus WR	VV	Serine proteinase inhibitor 2	327-335	HVDGKILFV	25026
A0201_0021	CrossTope	Model (D1-EM-D2)	Vaccinia virus WR	VV	Hypothetical protein VACWR082	18-26	ILDDNLYKV	26990
A0201_0022	CrossTope	Model (D1-EM-D2)	Vaccinia virus WR	VV	E3 9.0K ORF (put.); putative	30-38	LIVIGILIL	none
A0201_0023	CrossTope	Model (D1-EM-D2)	Vaccinia virus WR	VV	ankyrin-like protein	108-116	LMYDIINSV	38163
A0201_0024	CrossTope	Model (D1-EM-D2)	Human papillomavirus type 11	HPV	Protein E7	04-12	RLVTLKDIV	54814
A0201_0025	CrossTope	Model (D1-EM-D2)	Vaccinia virus WR	VV	36 kDa late protein I1	211-219	RLYDYFTRV	54832
A0201_0026	CrossTope	Model (D1-EM-D2)	Vaccinia virus WR	VV	mRNA cap methyltransferase	251-259	RVYEALYYV	56456
A0201_0027	CrossTope	Model (D1-EM-D2)	Vaccinia virus	VV	Immunodominant envelope protein p35	184-192	SLSAYIIRV	59449
A0201_0028	CrossTope	Model (D1-EM-D2)	Vaccinia virus WR	VV	Protein A6	06 -- 14	VLYDEFVTI	69858
A0201_0029	CrossTope	Model (D1-EM-D2)	Hepatitis B virus	HBV	Large envelope protein	334-342	WLSLLVPFV	72794
A0201_0030	CrossTope	Model (D1-EM-D2)	Vaccinia virus WR	VV	Protein G7	250-258	YLPEVISTI	74857
A0201_0069	CrossTope	Model (D1-EM-D2)	Hepatitis B virus	HBV	polymerase	453-461	GLSRYVARL	21145
A0201_0070	CrossTope	Model (D1-EM-D2)	Human immunodeficiency virus 1	HIV-1	gag-pol fusion polyprotein	897-905	ILKEPVHGV	27125
A0201_0071	CrossTope	Model (D1-EM-D2)	Human papillomavirus type 16	HPV	Protein E7	82-90	LLMGTGLIV	37573
A0201_0072	CrossTope	Model (D1-EM-D2)	Human herpesvirus 4	HHV	Putative BARF0 protein	356-364	LLWAARPRL	37938
A0201_0073	CrossTope	Model (D1-EM-D2)	Human herpesvirus 4 (strain B95-8)	HHV	Latent membrane protein 2	329-337	LLWTLVVLL	37960
A0201_0074	CrossTope	Model (D1-EM-D2)	Human herpesvirus 4	HHV	Glycoprotein GP85 precursor	542-550	LMIIPINV	38052
A0201_0075	CrossTope	Model (D1-EM-D2)	Human herpesvirus 5 strain AD169	HHV	65 kDa phosphoprotein	120-128	MLNIPSINV	42013
A0201_0076	CrossTope	Model (D1-EM-D2)	Human herpesvirus 5 strain AD170	HHV	66 kDa phosphoprotein	495-503	NLVPVMVATV	44920
A0201_0077	CrossTope	Model (D1-EM-D2)	Human herpesvirus 4 (strain B95-8)	HHV	Epstein-Barr nuclear antigen 3	464-472	SVRDRRLARL	62305
A0201_0078	CrossTope	Model (D1-EM-D2)	Suid herpesvirus 1 (Pseudorabies virus)	SHV	glycoprotein gIII	455-463	IAGIGILAI	none
A0201_0079	CrossTope	Model (D1-EM-D2)	Human herpesvirus 4 (strain B95-8)	HHV	Envelope glycoprotein GP340/GP220	863-871	VLQWASLAV	69731
A0201_0080	CrossTope	Model (D1-EM-D2)	Human herpesvirus 4 (strain B95-8)	HHV	Latent membrane protein 1	125-133	YLLEMLWRL	74774
A0201_0081	CrossTope	Model (D1-EM-D2)	Human herpesvirus 4	HHV	latent membrane protein 1	159-167	YLQQNWWTL	74886
A0201_0083	CrossTope	Model (D1-EM-D2)	Human herpesvirus 4 (strain B95-8)	HHV	Envelope glycoprotein H	420-428	TFIGSHVV	64794
A0201_0095	PDB	Crystal (2VLL)	Human immunodeficiency virus 1	HIV-1	gag polyprotein	77-85	SLYNTVATL	59613



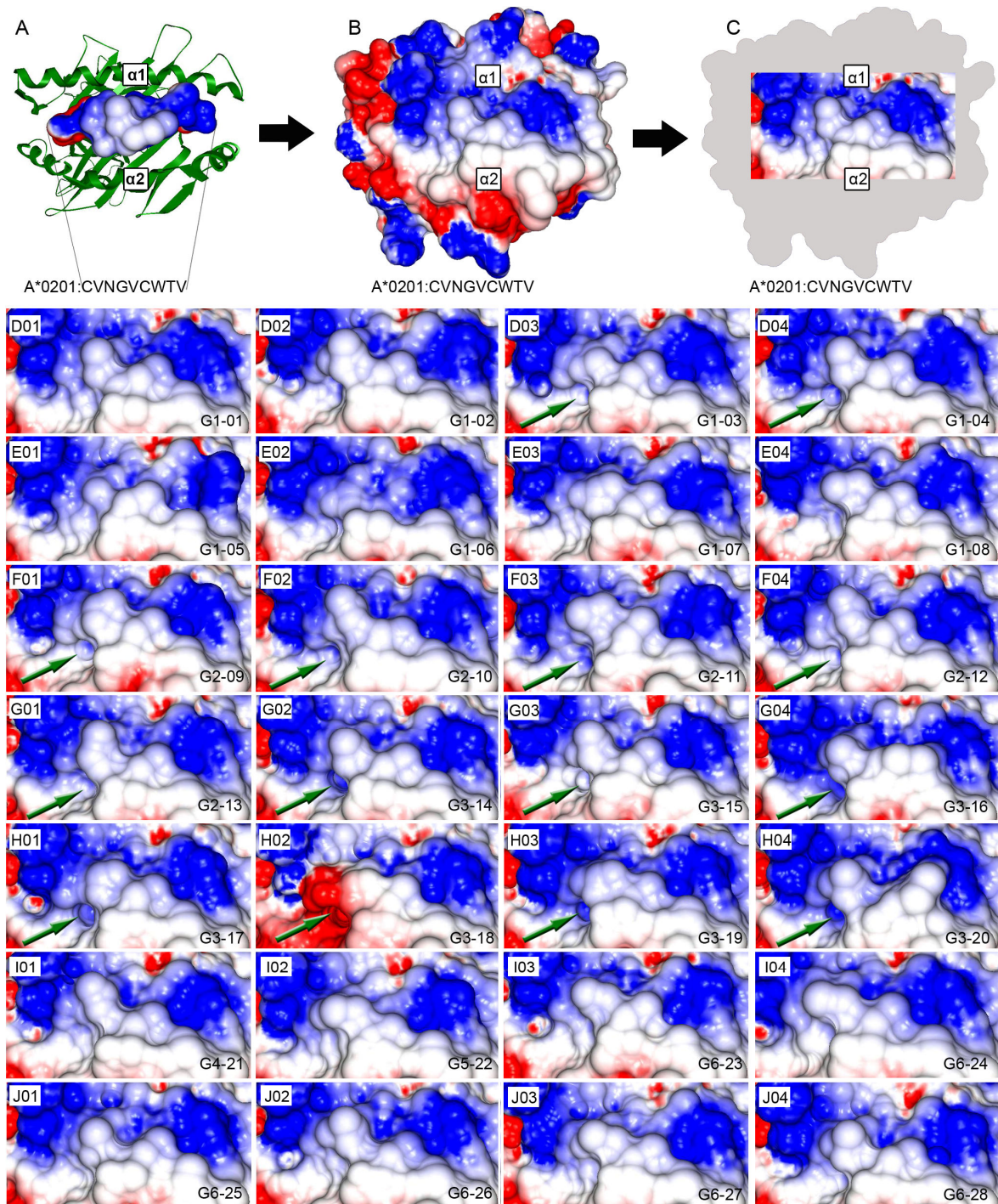
Appendix C – GRASP2 images for the entire set of HLA-A2-NS3₁₀₇₃ complexes.

TCR-interacting area of pMHC complexes presenting 28 NS3₁₀₇₃ naturally occurring variants, in the context of HLA-A*02:01 allele, after construction by *D1-EM-D2* approach (Antunes et al., 2010). Charged areas over the complexes surface were computed with GRASP2 program and represented as red (negative charges) and blue (positive charges) spots, with a range from -10 to +10 kiloteslas. Complexes with strong *in vitro* response presented similar topology and charge distribution, while those with poor *in vitro* response presented charged areas that differentiate them from the wild-type complex. Furthermore, the most remarkable difference in electrostatic potential was seen precisely in G3-18, the only complex unable to induce an *in vitro* stimulation of wild-type-specific T-cells.



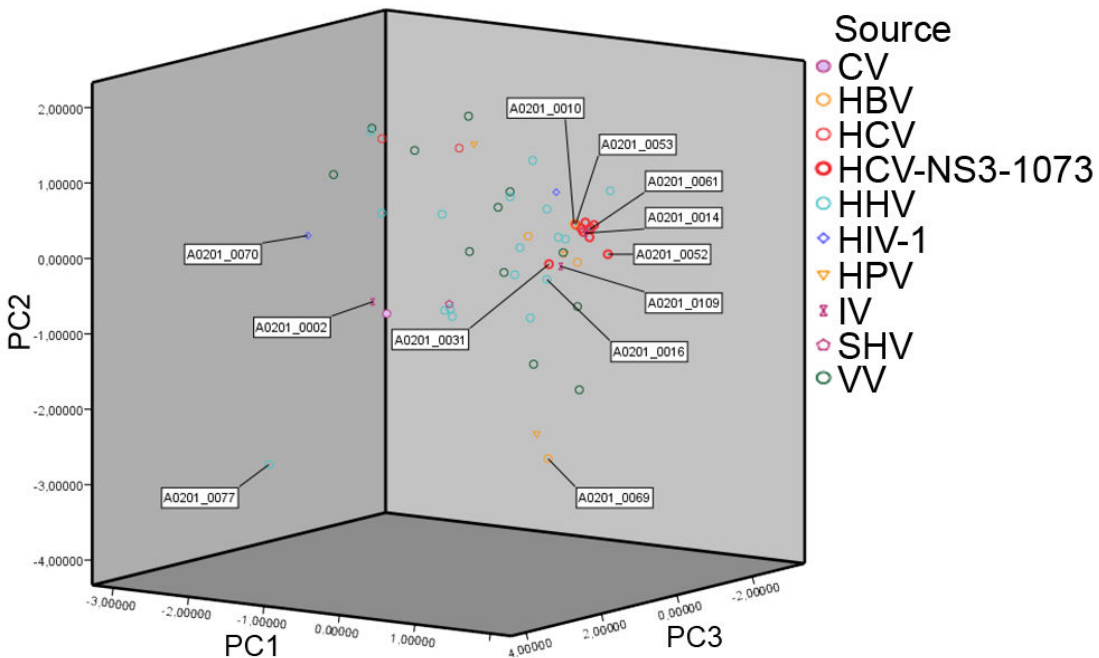
Appendix D – Dendrogram of 28 pMHCs presenting naturally occurring NS3₁₀₇₃-variants.

GRASP2 images were analysed using the ImageJ software and the color histogram (RGB) of a selected area was used to conduct a Hierarchical Cluster Analysis (HCA) using the PASW Statistics 18 software (see methods). Complexes presenting peptides from genotypes 4, 5 and 6 were grouped with the optimal responders from genotype 1. Complexes presenting peptides from genotypes 2 and 3 (weak responders) formed separated clusters. Complexes G1-3, G1-4 and G1-6, which also presented poor *in vitro* response, were placed near complexes from genotype 2. Complex G3-18, the only non-inducer complex, was placed in a completely separated position in the dendrogram. Moreover, the cross-reactive target IV-NA₂₃₁ was included in this analysis and was also placed within the optimal responders.



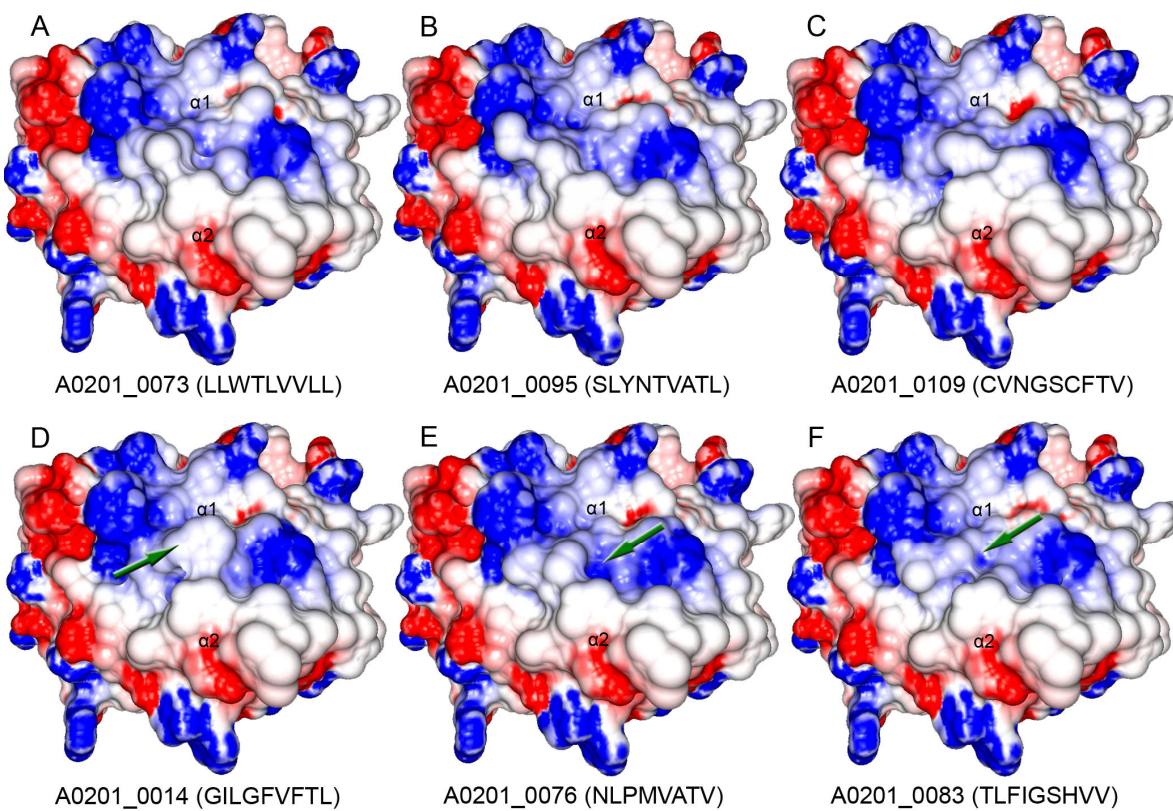
Appendix E – GRASP2 images of HLA-A2-NS3₁₀₇₃ complexes after Molecular Dynamics.

TCR-interacting area of 28 HLA-A2-NS3₁₀₇₃ complexes after a short Molecular Dynamics (MD). Charged areas over the complexes surface were computed with GRASP2 program and represented as red (negative charges) and blue (positive charges) spots, with a range from -3 to +3 kiloteslas. Complexes G1-3, G1-5 and G1-6 preserved their topological differences even after MD. All pMHCs from genotypes 2 and 3 preserved their positively charged spot in the TCR-interacting area and this spot was represented as a small cavity in the complexes surface (green arrows). On the other hand, none of the complexes with good response *in vitro* presented this cavity or the positively charged spot.



Appendix F – PCA of 55 complexes presenting selected immunogenic viral epitopes.

GRASP2 images from the pMHC complexes were analysed using the ImageJ software and values regarding Blue and Red colors, from the color histogram of three selected areas, were used to conduct a PCA using the PASW Statistics 18 software (for more information, see methods). Clusterization of the immunogenic HCV-NS3₁₀₇₃ variants can be observed (depicted as bold red circles), as well as the proximity between the HCV-NS3₁₀₇₃ wild-type epitope (A0201_0031) and the peptide IV-NA₂₃₁ (A0201_0109). CV: Coxsackievirus, HBV: Hepatitis B virus, HCV: Hepatitis C virus, HHV: Human Herpesvirus, HIV-1: Human immunodeficiency virus 1, HPV: Human papillomavirus, IV: Influenza virus, SHV: Suid herpesvirus, VV: Vaccinia virus.



Appendix G – GRASP2 images of possible targets for cross-reactivity in the context of HLA-A*02:01 allele.

TCR-interacting surfaces of complexes placed in the same group of HCV-NS3₁₀₇₃ variants in a HCA performed with 55 non-related complexes. A-B: Complexes presented as possible cross-reactive targets for wild-type-NS3₁₀₇₃-specific T-cells. C: The already described cross-reactive target IV-NA₂₃₁ in the context of HLA-A*02:01. D-F: Complexes presenting some structural differences (green arrows). Complex A0201_0095 (B) was obtained from Protein Data Bank (PDB access code 2V2W). Complex A0201_0076 (E) presented a positively charged spot in a position that was not represented among the selected regions, differing from the HLA-A2-NS3₁₀₇₃ complex presenting the wild-type epitope.

References

- Andrusier N., Mashiah E., Nussinov R. and Wolfson H. J. (2008) Principles of flexible protein-protein docking. *Proteins* **73**, 271-89.
- Antunes D. A., Vieira G. F., Rigo M. M., Cibulski S. P., Sinigaglia M. and Chies J. A. (2010) Structural allele-specific patterns adopted by epitopes in the MHC-I cleft and reconstruction of MHC:peptide complexes to cross-reactivity assessment. *PLoS One* **5**, e10353.
- Bremel R. D. and Homan E. J. (2010a) An integrated approach to epitope analysis I: Dimensional reduction, visualization and prediction of MHC binding using amino acid principal components and regression approaches. *Immunome research* **6**, 7.
- Bremel R. D. and Homan E. J. (2010b) An integrated approach to epitope analysis II: A system for proteomic-scale prediction of immunological characteristics. *Immunome research* **6**, 8.
- Cuccharini M., Kammer A. R., Grabscheid B., Diepolder H. M., Gerlach T. J., Gruner N., Santantonio T., Reichen J., Pape G. R. and Cerny A. (2000) Vigorous peripheral blood cytotoxic T cell response during the acute phase of hepatitis C virus infection. *Cell Immunol* **203**, 111-23.
- Engler O. B., Schwendener R. A., Dai W. J., Wölk B., Pichler W., Moradpour D., Brunner T. and Cerny A. (2004) A liposomal peptide vaccine inducing CD8+ T cells in HLA-A2.1 transgenic mice, which recognise human cells encoding hepatitis C virus (HCV) proteins. *Vaccine* **23**, 58-68.
- Fytli P., Dalekos G. N., Schlaphoff V., Suneetha P. V., Sarrazin C., Zauner W., Zachou K., Berg T., Manns M. P., Klade C. S., Cornberg M. and Wedemeyer H. (2008) Cross-genotype-reactivity of the immunodominant HCV CD8 T-cell epitope NS3-1073. *Vaccine* **26**, 3818-26.
- Gras S., Saulquin X., Reiser J.-B., Debeaupuis E., Echasserieau K., Kissenseppen A., Legoux F., Chouquet A., {Le Gorrec} M., Machillot P., Neveu B., Thielens N., Malissen B., Bonneville M. and Housset D. (2009) Structural bases for the affinity-driven selection of a public TCR against a dominant human cytomegalovirus epitope. *Journal of immunology (Baltimore, Md. : 1950)* **183**, 430-7.
- Hiroishi K., Eguchi J., Ishii S., Hiraide A., Sakaki M., Doi H., Omori R. and Imawari M. (2010) Immune response of cytotoxic T lymphocytes and possibility of vaccine development for hepatitis C virus infection. *Journal of biomedicine & biotechnology* **2010**, 263810.
- Jorgensen J. L., Esser U., Fazekas de St Groth B., Reay P. A. and Davis M. M. (1992) Mapping T-cell receptor-peptide contacts by variant peptide immunization of single-chain transgenics. *Nature* **355**, 224-30.
- Kessels H. W., de Visser K. E., Tirion F. H., Cocciris M., Kruisbeek A. M. and Schumacher T. N. (2004) The impact of self-tolerance on the polyclonal CD8+ T cell repertoire. *J Immunol* **172**, 2324-31.
- Korber B., LaButte M. and Yusim K. (2006) Immunoinformatics comes of age. *PLoS Comput Biol* **2**, e71.
- Lechner F., Gruener N. H., Urbani S., Uggeri J., Santantonio T., Kammer A. R., Cerny A., Phillips R., Ferrari C., Pape G. R. and Klenerman P. (2000) CD8+ T lymphocyte responses are induced during acute hepatitis C virus infection but are not sustained. *Eur J Immunol* **30**, 2479-87.
- Petry D. and Honig B. (2003) GRASP2: visualization, surface properties, and electrostatics of macromolecular structures and sequences. *Methods Enzymol* **374**, 492-509.
- Prince A. M., Brotman B., Lee D. H., Pfahler W., Tricoche N., Andrus L. and Shata M. T. (2005) Protection against chronic hepatitis C virus infection after rechallenge with homologous, but not heterologous, genotypes in a chimpanzee model. *J Infect Dis* **192**, 1701-9.
- Rammensee H., Bachmann J., Emmerich N. P., Bachor O. A. and Stevanovic S. (1999) SYFPEITHI: database for MHC ligands and peptide motifs. *Immunogenetics* **50**, 213-9.
- Rappuoli R. (2000) Reverse vaccinology. *Curr Opin Microbiol* **3**, 445-50.
- Rehermann B. and Nascimbeni M. (2005) Immunology of hepatitis B virus and hepatitis C virus infection. *Nat Rev Immunol* **5**, 215-29.
- Rigo M., Antunes D., Vieira G. and Chies J. (2009) MHC: Peptide Analysis: Implications on the Immunogenicity of Hantaviruses' N protein, Vol. 5676, p. 160-163. Springer Berlin / Heidelberg.
- Rudolph M. G., Stanfield R. L. and Wilson I. A. (2006) How TCRs bind MHCs, peptides, and coreceptors. *Annual review of immunology* **24**, 419-66.
- Schlaphoff V., Klade C. S., Jilma B., Jelovcan S. B., Cornberg M., Tauber E., Manns M. P. and Wedemeyer H. (2007) Functional and phenotypic characterization of peptide-vaccine-induced HCV-specific CD8+ T cells in healthy individuals and chronic hepatitis C patients. *Vaccine* **25**, 6793-806.
- Soderholm J., Ahlen G., Kaul A., Frelin L., Alheim M., Barnfield C., Liljestrom P., Weiland O., Milich D. R.,

- Bartenschlager R. and Sallberg M. (2006) Relation between viral fitness and immune escape within the hepatitis C virus protease. *Gut* **55**, 266-74.
- Thimme R., Bukh J., Spangenberg H. C., Wieland S., Pemberton J., Steiger C., Govindarajan S., Purcell R. H. and Chisari F. V. (2002) Viral and immunological determinants of hepatitis C virus clearance, persistence, and disease. *Proc Natl Acad Sci U S A* **99**, 15661-8.
- Tian F., Lv F., Zhou P., Yang Q. and Jalbout A. F. (2008) Toward prediction of binding affinities between the MHC protein and its peptide ligands using quantitative structure-affinity relationship approach. *Protein Pept Lett* **15**, 1033-43.
- Tong J. C. and Ren E. C. (2009) Immunoinformatics: Current trends and future directions. *Drug Discov Today* **14**, 684-9.
- Trott O. and Olson A. J. (2009) AutoDock Vina: Improving the speed and accuracy of docking with a new scoring function, efficient optimization, and multithreading. *J Comput Chem*.
- Turner S. J., Doherty P. C., McCluskey J. and Rossjohn J. (2006) Structural determinants of T-cell receptor bias in immunity. *Nature reviews Immunology* **6**, 883-94.
- Vali B., Tohn R., Cohen M., Sakhdari A., Sheth P. M., Yue F. Y., Wong D., Kovacs C., Kaul R. and Ostrowski M. A. (2010) Characterization of cross-reactive CD8+ T-cell recognition of HLA-A2-restricted HIV-Gag: SLYNTVATL and HCV-NS5b: ALYDVVSKL epitopes in individuals infected with Human Immunodeficiency and Hepatitis C Viruses. *Journal of virology*, JVI.01743-10-.
- Van Der Spoel D., Lindahl E., Hess B., Groenhof G., Mark A. E. and Berendsen H. J. (2005) GROMACS: fast, flexible, and free. *J Comput Chem* **26**, 1701-18.
- Vertuani S., Bazzaro M., Gualandi G., Micheletti F., Marastoni M., Fortini C., Canella A., Marino M., Tomatis R., Traniello S. and Gavioli R. (2002) Effect of interferon-alpha therapy on epitope-specific cytotoxic T lymphocyte responses in hepatitis C virus-infected individuals. *Eur J Immunol* **32**, 144-54.
- Vieira G. F. and Chies J. A. (2005) Immunodominant viral peptides as determinants of cross-reactivity in the immune system--Can we develop wide spectrum viral vaccines? *Med Hypotheses* **65**, 873-9.
- Vita R., Zarebski L., Greenbaum J. a., Emami H., Hoof I., Salimi N., Damle R., Sette A. and Peters B. (2010) The immune epitope database 2.0. *Nucleic acids research* **38**, D854-62.
- Wang S., Kennedy J. S., West K., Montefiori D. C., Coley S., Lawrence J., Shen S., Green S., Rothman A. L., Ennis F. A., Arthos J., Pal R., Markham P. and Lu S. (2008) Cross-subtype antibody and cellular immune responses induced by a polyvalent DNA prime-protein boost HIV-1 vaccine in healthy human volunteers. *Vaccine* **26**, 1098-110.
- Wedemeyer H., He X.-S., Nascimbeni M., Davis A. R., Greenberg H. B., Hoofnagle J. H., Liang T. J., Alter H. and Rehermann B. (2002) Impaired Effector Function of Hepatitis C Virus-Specific CD8+ T Cells in Chronic Hepatitis C Virus Infection. *J. Immunol.* **169**, 3447-3458.
- Wedemeyer H., Mizukoshi E., Davis A. R., Bennink J. R. and Rehermann B. (2001) Cross-reactivity between hepatitis C virus and Influenza A virus determinant-specific cytotoxic T cells. *J Virol* **75**, 11392-400.
- Yu C. I. and Chiang B.-L. (2010) A new insight into hepatitis C vaccine development. *Journal of biomedicine & biotechnology* **2010**, 548280.

Capítulo IV

Discussão Geral

5 Discussão Geral

A ligação de peptídeos à fenda do MHC-I e a apresentação destes complexos na superfície das células são passos centrais na montagem da Resposta Imune Celular (RIC), constituindo a etapa final de uma série de vias alternativas. O importante papel desempenhado por estas vias na vigilância contra infecções virais confere uma posição de destaque ao complexo peptídeo:MHC-I (pMHC) no que se refere à pesquisa básica relacionada ao desenvolvimento de vacinas. A determinação da estrutura tridimensional de complexos pMHC tem se mostrado um grande desafio, sobretudo devido a grande variabilidade do sistema MHC e a crescente variabilidade das partículas virais. Este problema atraiu a atenção de diversos grupos de pesquisa, muitos dos quais têm empregado ferramentas de bioinformática estrutural para desenvolver abordagens capazes de predizer a estrutura de complexos pMHC.

O *Docking*, ou “Ancoramento” Molecular, destaca-se como uma das ferramentas mais empregadas neste contexto, embora o grande número de ligações flexíveis apresentadas por um peptídeo típico – restrito à MHC-I – exceda a capacidade de resolução da maioria dos softwares disponíveis. A alternativa para superar este obstáculo é o uso combinado do *docking* com ferramentas de modelagem, ou ainda, a divisão da estrutura do peptídeo em problemas menores, como cadeia principal e cadeias laterais. Um resumo das estratégias utilizadas para determinar a estrutura tridimensional de complexos pMHC foi publicado por Bordner e colaboradores em 2006 (Bordner & Abagyan, 2006). No mesmo trabalho, os autores descrevem um novo método para *docking* de peptídeos em estruturas de MHC, o qual foi testado pela comparação de 23 cristais do PDB com o resultado do *docking*-cruzado (*cross-docking*) de 14 peptídeos em uma estrutura de HLA-A*02:01 (alelo de MHC humano) e 9 peptídeos em uma estrutura de H2-K^b (alelo de MHC murino). Este método conseguiu reproduzir estes 23 complexos pMHC com um RMSD (do inglês *Root Mean Square Deviation*) médio de 1.09 Å para os complexos do alelo humano e 0.66 Å para os complexos do alelo murino, considerando-se apenas os átomos da cadeia principal do peptídeo. O RMSD para os átomos das cadeias laterais dos resíduos enterrados nos *pockets* da fenda do MHC (“âncoras”) também apresentou valores inferiores a 2 Å em ambos os sistemas, embora o RMSD das cadeias laterais dos demais aminoácidos não tenha sido apresentado pelos autores. De modo geral, pode-se concluir que o método apresentado por Bordner e

colaboradores permitiu reproduzir a conformação da cadeia principal dos peptídeos apresentados pelos dois alelos de MHC em estudo. No entanto, a conformação da cadeia principal do peptídeo representa apenas uma parte do problema, e a ausência de informação à respeito do desvio (RMSD) considerando-se todos os átomos do epitopo sugere uma importante limitação do método na predição conformacional de complexos pMHC.

Os estudos estruturais envolvendo complexos pMHC podem estar voltados a dois objetivos distintos: determinação da geometria do complexo ou determinação da afinidade de ligação do peptídeo. A conformação adotada pela cadeia principal do peptídeo na fenda do MHC, bem como a posição dos resíduos de ancoragem, desempenham um importante papel na determinação da afinidade de um dado epitopo por um dado alelo de MHC. A conformação das cadeias laterais dos demais resíduos, por outro lado, não apresenta grande relevância para a predição de afinidade. No entanto, a conformação das cadeias laterais dos resíduos centrais do peptídeo, normalmente voltadas para fora da fenda do MHC, são fundamentais para a especificidade do reconhecimento deste complexo pMHC por um dado TCR. Considerando estes dois enfoques, cabe aqui salientar o bom resultado apresentado por Bordner e colaboradores (Bordner & Abagyan, 2006) quanto à predição da afinidade de ligação. Eles empregaram a metodologia desenvolvida para construir uma série de complexos pMHC apresentando ligantes do alelo HLA-A*02:01, depois utilizaram estes complexos para treinar uma ferramenta de inteligência artificial (SVM, do inglês *Support Vector Machines*) a qual foi então capaz de classificar corretamente ligantes e não-ligantes de HLA-A*02:01 em uma população de 608 peptídeos (acurácia de 78%). Esta mesma ferramenta (SVM treinada em um banco de complexos HLA:peptídeo), também apresentou sucesso na predição de afinidade de 54 peptídeos de H2-K^b.

Bordner e colaboradores fazem esta distinção entre a determinação da geometria e a determinação da afinidade. Apesar dos bons resultados apresentados com relação a ambos, esta metodologia não poderia ser empregada em um estudo voltado à análise da região de interação com o TCR, uma vez que a técnica não se mostrou capaz de determinar a conformação de todas as cadeias laterais do peptídeo. Além disso, esta metodologia também desconsidera a flexibilidade das cadeias laterais da fenda do MHC. Isso é apontado pelos autores como uma das

limitações da técnica visto que o melhor ajuste da fenda poderia contribuir com a ligação do peptídeo. No entanto, os autores ponderam que o aumento nos graus de liberdade iria provavelmente reduzir a acurácia do método, bem como aumentar o tempo necessário para a construção de cada complexo. Este método exige um grande conhecimento das ferramentas por parte do usuário e inclui etapas de minimização do peptídeo por simulações de Monte Carlo, as quais podem demandar um grande tempo computacional dependendo do tamanho do ligante.

Publicado no início de 2008 e disponível na internet desde o ano anterior, o servidor MHCsim (<http://igrid-ext.cryst.bbk.ac.uk/MHCsim/>) permite ao usuário construir complexos pMHC em poucos minutos, diretamente através da página na internet e sem exigir qualquer conhecimento prévio das ferramentas de bioinformática estrutural (Todman *et al.*, 2008). Com muita facilidade, o usuário informa a sequência do peptídeo e o alelo de MHC de interesse, podendo em seguida baixar o arquivo pdb com as coordenadas espaciais do complexo que acabou de ser construído. Apesar de rápido e prático, o serviço fornecido pelo MHCsim não é completo. Ao receber os dados do usuário o servidor faz uma busca em um banco estrutural próprio, derivado do PDB, tentando encontrar estruturas cuja sequência do MHC e do peptídeo coincidam com o pedido do usuário. Na ausência desta estrutura, o servidor escolhe o alinhamento com o melhor escore (considerando apenas a sequência) e altera a estrutura referente a esta sequência (“muta” a estrutura) até torná-la igual a sequência fornecida pelo usuário. Ao final deste processo, o servidor fornece um arquivo contendo uma estrutura referente ao complexo desejado. Não há, no entanto, qualquer garantia de que a conformação do peptídeo apresentada neste arquivo realmente corresponda a geometria “final” do complexo pMHC desejado. A função do MHCsim, portanto, não seria a de predizer a estrutura de complexos pMHC ou avaliar a afinidade de ligação de um dado peptídeo, mas sim, de fornecer um arquivo de coordenadas que possa ser posteriormente utilizado em etapas de refinamento (modelagem) ou de dinâmica molecular (Vivona *et al.*, 2008). Além disso, o servidor apresenta algumas limitações técnicas. Ele permite a construção de complexos com diversos alelos de MHC humanos, inclusive muitos ainda não cristalografados, mas não permite a construção de complexos com alelos de nenhuma outra espécie. Ele também só permite a construção de complexos apresentando peptídeos nonâmeros

(9-mers), embora muitos alelos de MHC também aceitem peptídeos com 8, 10 e até 11 aminoácidos.

Em setembro de 2010 foi publicado o pDOCK, a mais recente proposta metodológica para *docking* de peptídeos em moléculas de MHC (Khan & Ranganathan, 2010). Esta proposta também está baseada no cálculo de mapas de interação molecular (*GRID maps*) e em etapas de minimização local utilizando Monte Carlo, tendo sido testada através da reprodução de 149 complexos pMHC (RMSD C α < 2.5 Å). Os autores destacam ainda que 83% destas reproduções obtiveram um desvio menor que 1 Å, considerando-se apenas os carbonos alfa do peptídeo (RMSD C α < 1 Å). Khan e Ranganathan apresentam uma ampla validação de seu método, o qual demonstrou desempenho superior a métodos anteriormente publicados, na reprodução de complexos com diferentes alelos humanos e murinos. No entanto, embora esta abordagem inclua o cálculo da interação das cadeias laterais com a fenda do MHC, bem como etapas de minimização destas cadeias laterais, não são apresentados quaisquer dados a respeito do desvio das cadeias laterais dos peptídeos reproduzidos. Assim como anteriormente discutido com relação ao método descrito por Bordner e colaboradores (Bordner & Abagyan, 2006), o pDOCK não poderia ser empregado em um estudo mais detalhado da superfície de complexos pMHC, uma vez que permanece desconhecida sua capacidade de reproduzir com precisão a conformação das cadeias laterais dos peptídeos.

O nosso grupo vem desenvolvendo, desde o início de 2008, uma alternativa própria para a construção de complexos pMHC, visando aplicação no estudo *in silico* de reatividade cruzada. Este objetivo se tornou viável à partir da identificação de padrões conformacionais adotados por diferentes epitopos, quando apresentados por um mesmo alelo de MHC. Esta observação foi inicialmente realizada em alelos murinos (H2-D b e H2-K b), os quais foram utilizados durante as etapas iniciais do desenvolvimento da nova metodologia para a construção de complexos pMHC (Antunes, 2008). Considerando-se que já seja conhecida a conformação adotada pela cadeia principal dos peptídeos apresentados por um dado alelo de MHC (padrão estrutural alelo-específico), torna-se possível assumir esta conformação para a cadeia principal de um novo peptídeo (que se deseja modelar) e então focar a atenção na resolução da conformação das cadeias laterais, e sua interação com a fenda do MHC. Em nossa metodologia, este objetivo é alcançado através do *docking*

molecular. Conforme apresentado em maiores detalhes no capítulo II, a nossa técnica também inclui uma etapa de Minimização de Energia (EM), visando ajuste das cadeias laterais do MHC, e finalmente uma rodada de *docking* que irá determinar a estrutura tridimensional do complexo pMHC em estudo. Considerando-se estas três etapas, a metodologia foi batizada com a sigla *D1-EM-D2* (do inglês *Docking 1 - Energy Minimization - Docking 2*) (Antunes et al., 2010).

Existem vários programas para realizar o *docking* molecular, tanto pagos quanto gratuitos, sendo que a nossa técnica foi inicialmente padronizada utilizando o programa gratuito AutoDock (Morris, 1998). Durante as etapas iniciais deste projeto de mestrado, foi publicada uma nova ferramenta gratuita para cálculos de *docking*. Esta ferramenta, chamada AutoDock Vina (Trott & Olson, 2009), apresentava uma série de vantagens com relação aos demais programas gratuitos. Dentre suas características, se destacam o cálculo integrado dos mapas de interação (etapa única para GRID e *docking*), o uso de uma nova função de escore, e a utilização de processamento em paralelo, as quais acabaram determinando sua inclusão em nossa metodologia. A simplicidade quanto aos dados de entrada e de saída do programa também permitiu a automatização de várias etapas do processo de construção de complexos pMHC, incluindo a conversão de arquivos, a etapa de minimização de energia e a geração dos arquivos de entrada para o segundo *docking*. Além do excelente desempenho verificado por nosso grupo na reprodução de complexos pMHC (desempenhando papel central na abordagem *D1-EM-D2*), o AutoDock Vina também foi apontado por outros grupos como sendo um programa rápido e eficiente (Chang et al., 2010).

A metodologia *D1-EM-D2* foi validada pela reprodução de 46 cristais de complexos pMHC disponíveis no PDB, reproduzindo com sucesso complexos de três alelos distintos, apresentando peptídeos com 8, 9 e até 10 aminoácidos (de acordo com as restrições de cada alelo). As estruturas preditas apresentaram um desvio médio de 1,754 Å (\pm 0.4675 Å), considerando-se não apenas os átomos da cadeia principal ou os carbonos alfa, mas todos os átomos do peptídeo. Conforme mencionado no capítulo III, esta técnica também foi posteriormente padronizada para o alelo de MHC humano HLA-B*27:05. Adicionalmente, esta técnica foi aplicada na construção de uma série de complexos pMHC apresentando peptídeos virais imunogênicos, os quais estão sendo compilados para liberação como parte de um

banco de dados voltado ao estudo de reatividade cruzada (Sinigaglia, M., comunicação pessoal). Este banco, batizado de *CrossTope* (www.crosstope.com.br), já abriga mais de 200 estruturas contendo peptídeos vírais no contexto de quatro alelos de MHC (HLA-A*02:01, HLA-B*27:05, H2-D^b e H2-K^b). Além de permitir a comparação entre as superfícies destes complexos, o *CrossTope* fornece todos os dados sobre o alelo de MHC e o peptídeo apresentado, oferecendo vários atalhos para outros bancos e permitindo ainda o acesso aos dados estruturais e aos mapas de carga de cada complexo.

A metodologia *D1-EM-D2* está sendo preparada para incorporação no banco *CrossTope*, onde deverá ser oferecida como uma ferramenta acessível e confiável para a construção de complexos pMHC. No entanto, ao mesmo tempo em que simplifica o processo de construção de complexos pMHC, o uso de padrões conformacionais para a cadeia principal do peptídeo também representa a principal limitação desta técnica. Tais padrões alelo-específicos só podem ser determinados pela observação de um conjunto de cristais (ou estruturas obtidas por NMR) contendo a mesma molécula de MHC, mas apresentando em cada caso um peptídeo distinto. Tendo em vista as limitações apresentadas na introdução quanto a determinação de complexos pMHC por métodos experimentais (seção 1.11), existe no momento um número limitado de alelos para os quais esta metodologia já pode ser padronizada. Considerando que estes padrões alelo-específicos são impostos aos peptídeos em função de características da fenda do MHC, nosso grupo vem trabalhando em alternativas que permitam predizer estes padrões a partir da modelagem de novos alelos de MHC. Alternativamente, poderíamos determinar estes padrões pelo uso de abordagens já descritas na literatura. O pDOCK, por exemplo, parece ser capaz de predizer com elevada eficiência e acurácia a conformação da cadeia principal de peptídeos apresentados por um dado alelo de MHC, mesmo na ausência de informação estrutural sobre este alelo. Após a utilização do pDOCK em um conjunto de complexos pMHC, poderíamos proceder com a padronização da nossa própria metodologia e, finalmente, iniciar a construção dos complexos pMHC apresentando todos os peptídeos descritos para aquele alelo.

Conforme apresentado no capítulo II, nossa metodologia foi inicialmente empregada na construção de 10 complexos apresentando peptídeos sintéticos no contexto do alelo humano HLA-A*02:01. Estes peptídeos haviam sido obtidos pela

substituição, por uma alanina, em cada uma das nove posições do epitopo imunodominante HCV-NS3₁₀₇₃ (CINGVCWTV). Os dados referentes à estimulação *in vitro* destes complexos frente a uma população de linfócitos T, previamente estimulada com o peptídeo selvagem, já haviam sido publicados anteriormente e serviram como controle para as nossas análises. O Objetivo deste trabalho era verificar se características estruturais destes complexos poderiam explicar a grande variabilidade observada *in vitro*, onde mesmo algumas mutações conservadas foram capazes de afetar o reconhecimento pela população de linfócitos T utilizada nos testes. Corroborando a hipótese de estudo, complexos que estimularam em altos níveis a produção de IFN-gama apresentaram superfícies praticamente idênticas ao complexo contendo o peptídeo selvagem. Esta semelhança foi tanto topológica quanto em termos de potencial eletrostático. Por outro lado, complexos que induziram baixa produção de IFN-gama apresentaram algumas diferenças estruturais que puderam ser identificadas.

Neste contexto, foi discutido o caso do complexo 6, o qual parecia ser uma exceção em nossas análises. Sua superfície era muito semelhante a superfície do complexo 2, o qual apresentava fraca estimulação *in vitro*. Ambos estes complexos (2 e 6), apresentavam diferenças topológicas com relação ao complexo 10 (contendo o epitopo selvagem) e, assim sendo, era de se esperar que ambos induzissem baixos níveis de IFN-gama. Contrariando esta expectativa, o complexo 6 estimulava níveis intermediários de produção desta citocina nos ensaios *in vitro*. No entanto, recentemente nós realizamos uma ampla verificação de todos os complexos pMHC construídos por nosso grupo, tendo sido identificado um erro de sequência no epitopo presente na estrutura do complexo 6. Estando a estrutura incorreta, os dados apresentados no capítulo I, referentes aos valores de ASA do complexo 6 e sua superfície, devem ser desconsiderados. A análise da estrutura correta referente ao complexo 6 (HLA-A*0201:CINGVCWAV) corrobora a hipótese original do trabalho, visto que sua superfície não se assemelha a superfície do complexo 2. Na realidade, sua topologia está mais próxima daquela apresentada pelo complexo 7, o outro complexo que apresentou níveis intermediários de estimulação dos CTLs no ELISPOT realizado por Fytilli e colaboradores.

Visando esclarecer este equívoco, uma errata foi redigida e submetida como um comentário na página que contém o nosso artigo, junto ao sitio da revista PLoS

One (Anexo 1). Uma versão corrigida da figura 4 (capítulo II) também é fornecida em anexo (Anexo 2). Sobre a análise topológica dos pMHCs apresentados nesta figura, cabe ainda ressaltar algumas considerações sobre os complexos 1 e 5. Dentre os peptídeos sintéticos avaliados, o complexo 5 apresentou uma das piores respostas *in vitro*. No capítulo II é discutida a possível influência do anel indólico do triptofano (p7), que estando voltado para a extremidade amino-terminal do peptídeo (apenas neste complexo), causa uma alteração de topologia e a redução de uma área positivamente carregada sobre a extremidade N-terminal do peptídeo. No entanto, considerando-se os resultados apresentados no capítulo III, poderíamos sugerir uma explicação alternativa para a redução da resposta frente a uma população de linfócitos específica contra o peptídeo selvagem NS3₁₀₇₃. A análise dos 28 complexos apresentando variantes naturais deste epitopo de HCV evidenciou a influência de uma região positivamente carregada no centro na área de interação com o TCR, referida com região S1 no capítulo III. Esta "mancha", gerada por uma carga positiva, estava presente em todos os complexos que apresentaram fraca estimulação *in vitro* (exceto G3-18) e não estava presente nos complexos que apresentaram reatividade cruzada com o pMHC contendo o peptídeo selvagem (G1-1). O complexo apresentando o peptídeo "CIAGVCWTV" (Seq5, capítulo II) também apresenta uma carga positiva na mesma região S1, a qual poderia ser a principal responsável pela redução da resposta estimulada por este complexo.

O complexo 1 (capítulo II) também apresenta uma considerável semelhança estrutural com o complexo 10, embora tenha apresentado fraca estimulação dos linfócitos T pré-sensibilizados com o peptídeo selvagem (seq10). Esta questão não foi discutida no segundo capítulo, visto que este epitopo (Seq1) apresenta uma substituição justamente na posição de ancoragem ao alelo HLA-A*02:01. Mesmo pela simples análise da sequência, é possível determinar o forte impacto acarretado por esta alteração sobre a afinidade do peptídeo a este alelo de MHC. A predição do IC₅₀ de ligação (do inglês *Half maximal Inhibitory Concentration*), por exemplo, indica um valor de 66,49 nM para a sequência selvagem (CINGVCWTV) e um valor muito maior (menor afinidade), de 963.87 nM, para a sequência mutada (CINGVCWTA). Estes valores foram fornecidos pela ferramenta de predição de ligação ao MHC-I disponibilizada pelo *Immune Epitope Database – IEDB* (<http://www.iedb.org/>), utilizando-se o método ANN (do inglês *Artificial Neural Network*). Assim sendo,

parece evidente que a redução da resposta induzida pelo complexo 1 não seja determinada pela ausência de características topológicas ou eletrostáticas, mas sim, pela menor estabilidade do complexo na superfície celular, a qual é determinada pela redução da afinidade de ligação do peptídeo.

O alelo humano HLA-A*02:01 possui dois sítios de ancoragem que correspondem as posições p2 e p9 dos peptídeos nonâmeros. Conforme já discutido, a substituição de um dos aminoácidos âncora por uma alanina (V9A) acarreta uma importante redução da afinidade do ligante. Fytilli e colaboradores (Fytilli *et al.*, 2008) avaliaram a afinidade de ligação de 28 variantes do epitopo NS3₁₀₇₃, tendo observado uma certa variabilidade no escore de ligação, sobretudo considerando-se os epitopos do genótipo 1 (capítulo III). Esta variabilidade, no entanto, não correspondeu à variação de imunogenicidade observada *in vitro*. O complexo G1-2, por exemplo, apresentou um dos piores escores de ligação e, no entanto, apresentou altos níveis de estimulação em praticamente todos os ensaios realizados. É importante ressaltar que os valores de IC₅₀ são normalmente utilizados para realizar uma separação qualitativa dos ligantes em três categorias: Ótimos ligantes (IC₅₀≤50), ligantes com afinidade intermediária (50<IC₅₀≤500) e ligantes fracos ou não-ligantes (IC₅₀>500). A valor de IC₅₀ predito pelo IEDB para o peptídeo G1-2 (292,89 nM), apesar de maior, o coloca na mesma categoria qualitativa ocupada pelos peptídeos selvagens (CVNGVCWTV - IC₅₀ = 110,78 nM; CINGVCWTV - IC₅₀ = 66, 49 nM). Estes valores de IC₅₀ foram calculados pelo mesmo método citado no parágrafo anterior (ANN), o que nos permite observar que a substituição por uma alanina em p9 (V9A) foi suficiente para classificar o peptídeo do complexo 1 (Seq1, capítulo II) como um fraco ligante de HLA-A*02:01.

Dentre os 10 peptídeos discutidos no capítulo II, foi estudado o peptídeo com substituição na outra posição de ancoragem ao HLA-A*02:01 (V2A, Seq7). A predição de IC₅₀ para esta sequência (CANGVCWTV), pelo método ANN, a classifica como fraco ligante de HLA-A*02:01 (IC₅₀ = 950,71 nM). Curiosamente, o complexo contendo este peptídeo (complexo 7, capítulo II) apresentou um desempenho intermediário no ELISPOT realizado por Fytilli e colaboradores. A pequena diferença entre os valores de IC₅₀ preditos para os dois peptídeos com substituições nos aminoácidos âncoras (Seq1 e Seq7) certamente não pode ser responsabilizada pela variação de resposta observada *in vitro*. Cabe ainda ressaltar que esta diferença é menor considerando-se

outros métodos para o cálculo da afinidade (Anexo 3), embora o método ANN ainda seja referido como a metodologia com maior acerto na predição da afinidade de ligação à moléculas de MHC-I (Buus *et al.*, 2003). A análise da superfície, neste caso, também não indica diferenças significativas entre os dois complexos. Estes dados nos fazem retomar a discussão iniciada no final do terceiro capítulo, evidenciando que nenhuma análise isolada será capaz de responder por toda a variabilidade observada no complexo sistema de reconhecimento de pMHCs por Receptores de Células T poli-específicas. Existem ainda vários outros detalhes que precisam ser considerados, cada um realizando uma pequena contribuição para o entendimento mais geral e preciso de todos os aspectos envolvidos na estimulação *in vivo* de linfócitos T.

No segundo capítulo desta dissertação, foi apresentada outra análise que poderia contribuir para o entendimento da variabilidade observada nos experimentos de estimulação de linfócitos T. O cálculo da Área Acessível ao Solvente (ASA, do inglês *Accessible Surface Area*) tem sido empregado em dinâmica molecular, na modelagem de proteínas e na triagem de bancos de pequenas moléculas (Arnautova *et al.*, 2011; Seifert *et al.*, 2007). No campo da imunologia, o valor de ASA já foi correlacionado com imunogenicidade (Meijers *et al.*, 2005) e também utilizado no estudo do reconhecimento de pMHCs por TCRs (Davis-Harrison *et al.*, 2007). De acordo com nossos resultados, mesmo pequenas diferenças nos valores de ASA, especialmente em p5 (posição central no contato com o TCR), parecem alterar significativamente o reconhecimento de complexos pMHC. Peptídeos que estimularam os níveis mais altos na produção de IFN-gama apresentaram os gráficos de ASA com melhor ajuste ao gerado pelo peptídeo selvagem. Esta observação foi válida tanto para a análise dos 10 peptídeos sintéticos quanto para a análise das 28 variantes naturais do peptídeo NS3₁₀₇₃, as quais foram abordadas em maiores detalhes no terceiro capítulo. Especialmente neste segundo conjunto de dados, também foi observado que as variantes com maior desvio nos valores de ASA foram justamente aquelas que apresentaram os menores níveis quanto a produção de IFN-gama nos testes *in vitro*.

A análise de ASA para os dois peptídeos com substituições nos aminoácidos de ancoragem ao HLA-A*02:01 (Seq1 e Seq7, capítulo II) indica um melhor ajuste nos valores do peptídeo com resposta intermediária (Seq7) do que nos valores do

peptídeo com resposta fraca (Seq1) (Anexo 4). Tomando sempre como referência os peptídeos com resposta elevada (Seq8, Seq9 e Seq10). Esta diferença se refere principalmente a p5, embora o peptídeo Seq1 também tenha apresentado valores de ASA mais baixos em outras posições. Ainda considerando a posição p5, os valores de ambos os peptídeos (Seq1 e Seq7) foram bastante superiores ao apresentado pelo único complexo que não apresentou resposta *in vitro* (Seq3).

Avaliando o comportamento dos dois peptídeos que apresentaram níveis intermediários de estimulação (Seq6 e Seq7, capítulo II), percebemos que a presença em p8 de uma alanina, aminoácido com uma cadeia lateral muito pequena, afetou bastante o gráfico de ASA do peptídeo Seq6. Em concordância com esta redução nos valores de ASA, este peptídeo apresentou uma estimulação *in vitro* um pouco inferior àquela apresentada pelo epitopo Seq7. Naturalmente, existem variações que enfraquecem o poder preditivo da ASA. O peptídeo Seq6 não apresentou apenas um valor reduzido em p8, ele também possui um valor de ASA em p5 quase idêntico (mas inferior) ao apresentado pelo peptídeo Seq1 (que apresentou fraca estimulação *in vitro*). Uma avaliação baseada apenas nos valores de ASA indicaria uma vantagem do peptídeo Seq1 sobre o peptídeo Seq6, quanto a probabilidade de induzir uma resposta cruzada com o peptídeo selvagem NS3₁₀₇₃. No entanto, conforme apresentado anteriormente, o peptídeo Seq1 foi classificado como fraco ligante de HLA-A*0201 (963,87 nM), enquanto o peptídeo Seq6 foi classificado como um bom ligante para este alelo (89,37 nM), segundo o mesmo método de predição (ANN). Enquanto a análise de ASA e de superfície nos trazem informações sobre a etapa final do processo (reconhecimento pelo TCR), a afinidade de ligação ao MHC nos informa sobre etapas anteriores deste mesmo processo de apresentação de peptídeos via MHC-I. Um peptídeo com menor afinidade de ligação sugere uma menor estabilidade deste complexo na superfície celular, o que consequentemente reduzirá a capacidade de estimulação deste complexo (em função do tempo de permanência e da menor probabilidade de interação com um TCR), independentemente de ele possuir as características estruturais que seriam reconhecidas por uma população de linfócitos T específica.

Apesar de não considerar a influência de fatores como afinidade e estabilidade, a análise da superfície de complexos pMHC, sobretudo no que se refere ao potencial eletrostático, se destaca como uma medida capaz de fornecer

indicações importantes acerca do potencial para o reconhecimento cruzado. Os resultados apresentados no capítulo III reforçam esta conclusão, sobretudo considerando-se a confirmação dos dados através da Análise dos Componentes Principais (PCA, do inglês *Principal Component Analysis*). Apesar de termos realizado previamente um agrupamento visual dos complexos gerados, do mesmo modo realizado no capítulo II, este agrupamento de forma alguma direcionou ou influenciou os resultados obtidos pelo PCA. Foi identificado que a região S1 era o principal ponto de divergência entre as imagens, mas dada a variação na intensidade (bastante sutil em alguns casos) não poderíamos garantir visualmente a existência de quaisquer agrupamentos. Foram então extraídos os valores referentes aos componentes RGB (do inglês *Red, Green, Blue*) da área correspondente à seleção S1, para utilização como entrada em uma PCA.

Também tomamos o cuidado de incluir nesta análise dados referentes a um pMHC apresentando um peptídeo não relacionado (IV-NA₂₃₁: CVNGSCFTV). Este peptídeo de Influenza foi descrito por Wedemeyer e colaboradores, há exatamente uma década, como sendo o alvo responsável pela presença de linfócitos T específicos contra o epitopo HCV-NS3₁₀₇₃, no sangue de doadores HCV-negativos (Wedemeyer *et al.*, 2001). Este trabalho, um marco no campo da imunidade heteróloga e da reatividade cruzada entre epitopos virais, apontou a similaridade de sequência destes peptídeos como sendo a responsável pelo reconhecimento cruzado. Estes peptídeos compartilham 77% da sequência simples de aminoácidos (7/9), no entanto, estas substituições se localizam justamente na região central do peptídeo (p5 e p7), possivelmente alterando os pontos de contato com o TCR. Além disso, conforme discutido no capítulo II, mesmo uma substituição pontual poderia abolir o reconhecimento por uma dada população de linfócitos T.

O complexo HLA-A*0201: NA₂₃₁ foi construído pelo método *D1-EM-D2* e os dados referentes às componentes RGB da área S1 foram incluídos na PCA. Conforme esperado, esta análise dos componentes principais agrupou, muito proximamente, os complexos apresentando os epitopos IV-NA₂₃₁ e HCV-NS3₁₀₇₃. Esta mesma PCA, aproximou estes dois complexos daqueles apresentando epitopos dos genótipos 4, 5 e 6 (genótipos “cross-reativos” com o tipo selvagem), ao mesmo tempo em que manteve afastados os peptídeos dos genótipos 2 e 3 (genótipos com fraca estimulação *in vitro*). Cabe ainda ressaltar que o uso de dois componentes principais

ajuda a distribuir melhor a variabilidade, sendo especialmente útil para representar a separação dos valores apresentados pelo complexo G3-18 (único complexo que não estimulou a população de linfócitos utilizada nos testes). No entanto, a maior parte da variabilidade apresentada por este conjunto de dados (77,8 %) está representada pelo PC1 (capítulo III, Figura 2, eixo x). Considerando-se apenas a separação realizada por este componente, a existência de 3 grupos principais fica ainda mais clara: (1) todos os complexos do genótipo 3 formam um grupo isolado a esquerda do gráfico, (2) os complexos do genótipo 2 formam um conjunto isolado na parte central do gráfico, incluindo três complexos do genótipo 1 que apresentam fraca resposta *in vitro* (G1-3, G1-4 e G1-6) e (3) os demais complexos formam um grupo isolado à direita do gráfico. Este último conjunto inclui somente os complexos que apresentaram altos níveis de produção de IFN-gama frente a uma população de CTLs específica contra o peptídeo selvagem, com exceção do complexo G1-5. Este complexo apresenta capacidade de estimulação intermediária e sua inclusão no *cluster* dos complexos com boa resposta já foi discutida no capítulo III. Apesar de sua distribuição de cargas ser semelhante a do “complexo selvagem”, o G1-5 possui uma diferença topológica justamente no centro da região de interação com o TCR. Diferenças topológicas não foram consideradas durante a PCA e, a despeito de sua possível influência sobre o reconhecimento de pMHCs, não puderam ser utilizadas para aprimorar a classificação do complexo G1-5.

A análise *in silico* da reatividade cruzada entre o epitopo HCV-NS3₁₀₇₃ e um conjunto selecionado de epitopos virais imunogênicos, apresentada no capítulo III (seção 3.5), também serve como um controle adicional deste agrupamento realizado pela PCA. Em conjunto com 45 pMHCs apresentando peptídeos virais não-relacionados, foram mantidos os complexos apresentando o epitopo de Influenza (IV-NA₂₃₁) e o peptídeo selvagem de HCV (HCV-NS3₁₀₇₃), bem como as variantes de HCV dos genótipos 4, 5 e 6. Mesmo em meio a uma amostra muito maior, e considerando-se dados de sete regiões selecionadas sobre a superfície dos complexos pMHC, foi mantido o agrupamento entre os complexos que apresentaram altos níveis de produção de IFN-gama nos ensaios realizados por Fytilli e colaboradores (Fytilli *et al.*, 2008).

As sete regiões selecionadas para este estudo (capítulo III, apêndice A) foram determinadas com base na identificação das áreas com maior variação no potencial

eletrostático, considerando-se as imagens dos 45 pMHCs não relacionados. Assim sendo, não foram de modo algum influenciadas no intuito de confirmar os agrupamentos observados na análise das 28 variantes naturais do peptídeo HCV-NS3₁₀₇₃. Adicionalmente, verificamos que estas regiões selecionadas estão incluídas nas áreas já descritas como sendo zonas preferenciais de contato com TCRs públicos (*footprints*). O fato de esta segunda análise ter mantido o agrupamento dos complexos sabidamente “cross-reativos”, reforça a hipótese de que é possível predizer reatividade cruzada com base na análise da superfície de complexos pMHC.

Todas as análises descritas no capítulo II e a maior parte das análises descritas no capítulo III foram realizadas diretamente sobre as estruturas resultantes do método *D1-EM-D2*, ou seja, sobre estruturas estáticas. Uma análise mais próxima daquilo que ocorre *in vivo*, pode ser alcançada através da simulação por Dinâmica Molecular (MD, do inglês, *Molecular Dynamics*). Esta abordagem foi aplicada sobre os 28 complexos apresentando variantes do epitopo HCV-NS3₁₀₇₃ (capítulo III, seção 3.4) visando avaliar a superfície destes complexos após a completa solvatação da estrutura e termalização do sistema. No entanto, algumas medidas restritivas foram tomadas. A MD é uma excelente ferramenta para nos fornecer informações sobre o comportamento da proteína em solução, identificar regiões mais rígidas e mais flexíveis, avaliar a conservação da estrutura secundária, etc. Para realizar estas análises, após as etapas de equilíbrio (minimização e solvatação) e termalização (aquecimento gradual), o sistema é mantido à uma temperatura constante (normalmente 300K) durante um período normalmente superior a 8 ns. Várias medidas podem ser realizadas para avaliar o comportamento do sistema durante este período. A estrutura gerada ao final deste processo, no entanto, contém *per se* pouca informação. Do mesmo modo, qualquer estrutura tomada ao acaso em pontos específicos desta simulação, representa apenas um dos estados ocupados pela estrutura ao longo da dinâmica molecular. Assim sendo, avaliar a imagem gerada pelo GRASP2 a partir de uma estrutura em um ponto qualquer da simulação não nos permitiria chegar a quaisquer conclusões sobre a topologia e o potencial eletrostático de um dado pMHC em solução. Para evitar este problema, e considerando que nosso objetivo era apenas simular a completa solvatação do sistema, nós realizamos apenas as etapas iniciais do processo, avaliando a estrutura gerada ao final da etapa de termalização. Além disso, foi mantida uma pequena força de restrição sobre os

átomos pesados do sistema (100 kJ-1nm⁻¹), visando permitir o ajuste das cadeias laterais com interações desfavoráveis e, ao mesmo tempo, evitar uma maior variabilidade das cadeias laterais expostas ao solvente. O detalhamento dos parâmetros utilizados em cada uma das etapas da simulação (arquivos mdp) esta disponibilizado no Anexo 5.

A abordagem acima descrita foi conservadora e bastante limitada. O nosso grupo está trabalhando na padronização de um protocolo de Dinâmica Molecular mais completo, que nos forneça informações sobre a variação da topologia e do potencial eletrostático ao longo da simulação, bem como dados sobre a estabilidade do complexo pMHC em estudo e a variação nos valores de ASA. Nossa maior preocupação tem sido realizar uma cuidadosa preparação do sistema, incluindo uma etapa de solvatação (com elevada força de restrição agindo sobre o sistema), seguida de várias etapas de redução gradual da força de restrição e aumento lento da temperatura. Estes cuidados têm sido tomados para garantir que as possíveis alterações estruturais vistas ao longo da simulação sejam de fato resultantes da instabilidade do complexo em estudo e não apenas consequência de uma preparação inadequada do sistema.

Por fim, considerando a revisão da literatura sobre a via do MHC de classe I e os resultados apresentados e discutidos ao longo desta dissertação, postulamos a existência de três níveis de seleção que irão determinar a imunogenicidade de um dado peptídeo: Processamento, Estabilidade e Reatividade. Cada um destes níveis pode ser subdividido em vários processos e até mesmo em vias alternativas. O Processamento, por exemplo, refere-se a uma série de etapas já descritas, que vão desde a ubiquitinação de uma proteína alvo até a ligação de um epitopo a uma molécula de MHC. Os pontos mais importantes (“gargalos”) neste nível de seleção são a clivagem pelo proteossomo, a qual determina especificamente a extremidade carboxi-terminal do peptídeo, o transporte pela TAP, o desbastamento amino-terminal e, finalmente, a ligação a uma molécula de MHC. O segundo nível de seleção se refere a capacidade dinâmica do complexo pMHC de superar a etapa de exportação e permanecer estável na superfície da célula apresentadora, como um heterotímero coeso e estruturalmente íntegro. Este nível sofre influência da afinidade de ligação do peptídeo, mas não é exclusivamente determinado por ela. Detalhes estruturais de cada alelo de MHC irão exercer um papel específico nesta etapa. A glicosilação deste

complexo pMHC também influenciará sua estabilidade, do mesmo modo que características estruturais do peptídeo, como comprimento das cadeias laterais, extensão da cadeia principal, área acessível ao solvente, etc. Alterações das características do meio, como pH, concentração salina, interação com moléculas acessórias e a presença de outros peptídeos em solução, também poderão influenciar o comportamento do complexo nesta etapa, determinando sua capacidade de se manter na superfície por tempo suficiente. Um peptídeo que tenha sido corretamente gerado através das etapas de processamento e que tenha conseguido se manter ligado à fenda do MHC durante o período de apresentação na superfície, conseguirá garantir sua interação com o TCR. Sua imunogenicidade, no entanto, ainda depende da capacidade deste peptídeo de “reagir” com o TCR, no contexto do MHC em que está sendo apresentado.

Nesta etapa final, que irá determinar a estimulação do linfócito, características como a topologia do complexo e a distribuição do potencial eletrostático na área de interação com o TCR serão fundamentais. Também serão considerados aspectos estruturais do TCR, como a composição de aminoácidos das regiões hipervariáveis, e a orientação específica com que realiza o *docking* sobre o complexo pMHC. Evidentemente estas etapas estão relacionadas, na medida em que aspectos determinantes do processamento também poderão influenciar a estabilidade ou a reatividade do complexo. De qualquer modo, é importante considerarmos estes três momentos na apresentação de peptídeos por moléculas de MHC-I, procurando identificar sobre qual deles refletem os resultados de cada análise realizada. Isso nos permitirá atribuir uma ordem e valores às metodologias utilizadas, integrando seus resultados em uma análise mais ampla, a qual poderá aprimorar nossas previsões quanto à imunogenicidade e reatividade cruzada.

Existe hoje um conhecimento vasto e detalhado sobre as moléculas e mecanismos envolvidos no processamento. No entanto, em função de limitações metodológicas, ainda sabemos pouco sobre a "constituição" da imunogenicidade e a dinâmica da interação com o TCR. Estudos de imunoinformática estrutural poderão fazer uma importante contribuição para esta área da imunologia, pavimentando o avanço no caminho de uma melhor compreensão da resposta imune celular e possibilitando a manipulação do sistema imune em favor da superação de doenças que ainda afligem a humanidade.

6 Referências (relativas à Introdução e a Discussão Geral):

- Abbas AK and Lichtman AH (2005) Imunologia Celular e Molecular. 5 edition. ELSEVIER, Rio de Janeiro, 576 pp.
- Alvarez-Lajonchere L and Dueñas-Carrera S (2009) Advances in DNA immunization against hepatitis C virus infection: Opportunities and challenges. *Human Vaccines* 5:568-571.
- Amigorena S and Savina A (2010) Intracellular mechanisms of antigen cross presentation in dendritic cells. *Current opinion in immunology* 22:109-117.
- Antunes DA, 2008 Utilização de Ferramentas de Bioinformática para a Análise do Potencial de Reatividade Cruzada entre Epitopos Virais, pp. in Instituto de Ciências Básicas da Saúde. Universidade Federal do Rio Grande do Sul, Porto Alegre.
- Antunes DA, Vieira GF, Rigo MM, Cibulski SP, Sinigaglia M and Chies JA (2010) Structural allele-specific patterns adopted by epitopes in the MHC-I cleft and reconstruction of MHC:peptide complexes to cross-reactivity assessment. *PLoS One* 5:e10353.
- Arnautova YA, Abagyan RA and Totrov M (2011) Development of a new physics-based internal coordinate mechanics force field and its application to protein loop modeling. *Proteins* 79:477-498.
- Arnautova YA, Vorobjev YN, Vila JA and Scheraga HA (2009) Identifying native-like protein structures with scoring functions based on all-atom ECEPP force fields, implicit solvent models and structure relaxation. *Proteins* 77:38-51.
- Berman HM, Westbrook J, Feng Z, Gilliland G, Bhat TN, Weissig H, Shindyalov IN and Bourne PE (2000) The Protein Data Bank. *Nucleic Acids Res* 28:235-242.
- Blanchard N and Shastri N (2010) Topological journey of parasite-derived antigens for presentation by MHC class I molecules. *Trends in Immunology* 31:414-421.
- Bordner AJ and Abagyan R (2006) Ab initio prediction of peptide-MHC binding geometry for diverse class I MHC allotypes. *Proteins* 63:512-526.
- Bostan N and Mahmood T (2010) An overview about hepatitis C: a devastating virus. *Critical reviews in microbiology* 36:91-133.
- Brehm MA, Selin LK and Welsh RM (2004) CD8 T cell responses to viral infections in sequence. *Cell Microbiol* 6:411-421.
- Buus S, Lauemøller SL, Worning P, Kesmir C, Frimurer T, Corbet S, Fomsgaard A, Hilden J, Holm A and Brunak S (2003) Sensitive quantitative predictions of peptide-MHC binding by a 'Query by Committee' artificial neural network approach. *Tissue antigens* 62:378-384.
- Cao K, Hollenbach J, Shi X, Shi W, Chopek M and Fernandez-Vina MA (2001) Analysis of the frequencies of HLA-A, B, and C alleles and haplotypes in the five major ethnic groups of the United States reveals high levels of diversity in these loci and contrasting distribution patterns in these populations. *Hum Immunol* 62:1009-1030.
- Castellanos M, Cinza Z, Dorta Z, Veliz G, Vega Hc, Lorenzo I, Ojeda S, Dueñas-Carrera S, Alvarez-Lajonchere L, Martínez G et al. (2010) Immunization with a DNA vaccine candidate in chronic hepatitis C patients is safe, well tolerated and does not impair immune response induction after anti-hepatitis B vaccination. *The Journal of Gene Medicine* 12:107-116.
- Cavasotto CN and Orry AJ (2007) Ligand docking and structure-based virtual screening in drug discovery. *Curr Top Med Chem* 7:1006-1014.
- Cecchini M, Kolb P, Majeux N and Caflisch A (2004) Automated docking of highly flexible ligands by genetic algorithms: a critical assessment. *J Comput Chem* 25:412-422.

- Chang MW, Ayeni C, Breuer S and Torbett BE (2010) Virtual screening for HIV protease inhibitors: a comparison of AutoDock 4 and Vina. *PLoS one* 5.
- Chayama K and Hayes CN (2011) Hepatitis C virus: How genetic variability affects pathobiology of disease. *Journal of gastroenterology and hepatology* 26 Suppl 1:83-95.
- Chen Y, Shi Y, Cheng H, An Y-Q and Gao GF (2009) Structural immunology and crystallography help immunologists see the immune system in action: how T and NK cells touch their ligands. *IUBMB life* 61:579-590.
- Clute SC, Watkin LB, Cornberg M, Naumov YN, Sullivan JL, Luzuriaga K, Welsh RM and Selin LK (2005) Cross-reactive influenza virus-specific CD8+ T cells contribute to lymphoproliferation in Epstein-Barr virus-associated infectious mononucleosis. *J Clin Invest* 115:3602-3612.
- Davis-Harrison RL, Insaidoo FK and Baker BM (2007) T cell receptor binding transition states and recognition of peptide/MHC. *Biochemistry* 46:1840-1850.
- Di Santo JP, Vosshenrich CA and Satoh-Takayama N (2010) A 'natural' way to provide innate mucosal immunity. *Current opinion in immunology*.
- Falk K and Rotzschke O (2002) The final cut: how ERAP1 trims MHC ligands to size. *Nat Immunol* 3:1121-1122.
- Frankild S, de Boer RJ, Lund O, Nielsen M and Kesmir C (2008) Amino acid similarity accounts for T cell cross-reactivity and for "holes" in the T cell repertoire. *PLoS ONE* 3:e1831.
- Fuhrmann J, Rurainski A, Lenhof HP and Neumann D (2010) A new Lamarckian genetic algorithm for flexible ligand-receptor docking. *J Comput Chem*.
- Fytilli P, Dalekos GN, Schlaphoff V, Suneetha PV, Sarrazin C, Zauner W, Zachou K, Berg T, Manns MP, Klade CS et al. (2008) Cross-genotype-reactivity of the immunodominant HCV CD8 T-cell epitope NS3-1073. *Vaccine* 26:3818-3826.
- Godfrey DI, Rossjohn J and McCluskey J (2008) The fidelity, occasional promiscuity, and versatility of T cell receptor recognition. *Immunity* 28:304-314.
- Hammer GE, Kanaseki T and Shastri N (2007) The final touches make perfect the peptide-MHC class I repertoire. *Immunity* 26:397-406.
- Hansen TH and Bouvier M (2009) MHC class I antigen presentation: learning from viral evasion strategies. *Nature reviews. Immunology* 9:503-513.
- Hiroishi K, Eguchi J, Ishii S, Hiraide A, Sakaki M, Doi H, Omori R and Imai M (2010) Immune response of cytotoxic T lymphocytes and possibility of vaccine development for hepatitis C virus infection. *Journal of biomedicine & biotechnology* 2010:263810.
- Horton R, Wilming L, Rand V, Lovering RC, Bruford Ea, Khodiyar VK, Lush MJ, Povey S, Talbot CC, Wright MW et al. (2004) Gene map of the extended human MHC. *Nature reviews. Genetics* 5:889-899.
- Jaskolski M (2010) Personal remarks on the future of protein crystallography and structural biology. *Acta Biochim Pol* 57:261-264.
- Kaas Q, Ruiz M and Lefranc M-P (2004) IMGT/3Dstructure-DB and IMGT/StructuralQuery, a database and a tool for immunoglobulin, T cell receptor and MHC structural data. *Nucleic acids research* 32:D208-210.
- Kang L, Li H, Jiang H and Wang X (2009) An improved adaptive genetic algorithm for protein-ligand docking. *J Comput Aided Mol Des* 23:1-12.
- Kelley J, Walter L and Trowsdale J (2005) Comparative genomics of major histocompatibility complexes. *Immunogenetics* 56:683-695.
- Khan JM and Ranganathan S (2010) pDOCK: a new technique for rapid and accurate docking of peptide ligands to Major Histocompatibility Complexes. *Immunome research* 6 Suppl 1:S2.

- Korber B, LaButte M and Yusim K (2006) Immunoinformatics comes of age. PLoS Comput Biol 2:e71.
- Lafuente EM and Reche Pa (2009) Prediction of MHC-peptide binding: a systematic and comprehensive overview. Current pharmaceutical design 15:3209-3220.
- Lu S (2009) Heterologous prime-boost vaccination. Curr Opin Immunol 21:346-351.
- Lundegaard C, Lund O, Buus S and Nielsen M (2010) Major histocompatibility complex class I binding predictions as a tool in epitope discovery. Immunology 130:309-318.
- Mason D (1998) A very high level of crossreactivity is an essential feature of the T-cell receptor. Immunol Today 19:395-404.
- Meijers R, Lai CC, Yang Y, Liu JH, Zhong W, Wang JH and Reinherz EL (2005) Crystal structures of murine MHC Class I H-2 D(b) and K(b) molecules in complex with CTL epitopes from influenza A virus: implications for TCR repertoire selection and immunodominance. J Mol Biol 345:1099-1110.
- Morikis D and Lambris JD (2004) Physical methods for structure, dynamics and binding in immunological research. Trends Immunol 25:700-707.
- Morris GM, Goodsell, D.S., Halliday R.S., Huey, R., Hart, W.E., Belew, R.K., Olson, A.J. (1998) Automated docking using a Lamarckian genetic algorithm and an empirical binding free energy function. J. Computational Chemistry, 19.
- Nel AE (2002) T-cell activation through the antigen receptor. Part 1: signaling components, signaling pathways, and signal integration at the T-cell antigen receptor synapse. J Allergy Clin Immunol 109:758-770.
- Paulsson KM (2004) Evolutionary and functional perspectives of the major histocompatibility complex class I antigen-processing machinery. Cell Mol Life Sci 61:2446-2460.
- Peaper DR and Cresswell P (2008) Regulation of MHC class I assembly and peptide binding. Annual review of cell and developmental biology 24:343-368.
- Pettersen EF, Goddard TD, Huang CC, Couch GS, Greenblatt DM, Meng EC and Ferrin TE (2004) UCSF Chimera--a visualization system for exploratory research and analysis. J Comput Chem 25:1605-1612.
- Piertney SB and Oliver MK (2006) The evolutionary ecology of the major histocompatibility complex. Heredity 96:7-21.
- Prince AM, Brotman B, Lee DH, Pfahler W, Tricoche N, Andrus L and Shata MT (2005) Protection against chronic hepatitis C virus infection after rechallenge with homologous, but not heterologous, genotypes in a chimpanzee model. J Infect Dis 192:1701-1709.
- Purcell AW and Elliott T (2008) Molecular machinations of the MHC-I peptide loading complex. Curr Opin Immunol 20:75-81.
- Rappuoli R (2000) Reverse vaccinology. Curr Opin Microbiol 3:445-450.
- Reali E, Guerrini R, Marastoni M, Tomatis R, Masucci MG, Traniello S and Gavioli R (1999) A single specific amino acid residue in peptide antigens is sufficient to activate memory CTL: potential role of cross-reactive peptides in memory T cell maintenance. J Immunol 162:106-113.
- Regner M (2001) Cross-reactivity in T-cell antigen recognition. Immunol Cell Biol 79:91-100.
- Rudolph MG, Stanfield RL and Wilson IA (2006) How TCRs bind MHCs, peptides, and coreceptors. Annual review of immunology 24:419-466.
- Saito T, Yokosuka T and Hashimoto-Tane A (2010) Dynamic regulation of T cell activation and co-stimulation through TCR-microclusters. FEBS letters 584:4865-4871.
- Sallusto F, Lanzavecchia A, Araki K and Ahmed R (2010) From vaccines to memory and back. Immunity 33:451-463.

- Sandalova T, Michaelsson J, Harris RA, Odeberg J, Schneider G, Karre K and Achour A (2005) A structural basis for CD8+ T cell-dependent recognition of non-homologous peptide ligands: implications for molecular mimicry in autoreactivity. *J Biol Chem* 280:27069-27075.
- Seder RA, Darrah PA and Roederer M (2008) T-cell quality in memory and protection: implications for vaccine design. *Nat Rev Immunol* 8:247-258.
- Seifert MHJ, Kraus J and Kramer B (2007) Virtual high-throughput screening of molecular databases. *Current opinion in drug discovery & development* 10:298-307.
- Selin LK, Cornberg M, Brehm MA, Kim SK, Calcagno C, Ghersi D, Puzone R, Celada F and Welsh RM (2004) CD8 memory T cells: cross-reactivity and heterologous immunity. *Semin Immunol* 16:335-347.
- Simmonds P, Bukh J, Combet C, Deléage G, Enomoto N, Feinstone S, Halfon P, Inchauspé G, Kuiken C, Maertens G et al. (2005) Consensus proposals for a unified system of nomenclature of hepatitis C virus genotypes. *Hepatology (Baltimore, Md.)* 42:962-973.
- Simmonds P, Holmes EC, Cha Ta, Chan SW, McOmish F, Irvine B, Beall E, Yap PL, Kolberg J and Urdea MS (1993) Classification of hepatitis C virus into six major genotypes and a series of subtypes by phylogenetic analysis of the NS-5 region. *The Journal of general virology* 74 (Pt 11):2391-2399.
- Smith-Garvin JE, Koretzky GA and Jordan MS (2009) T cell activation. *Annual review of immunology* 27:591-619.
- Snell GD (1986) Some recollections of Peter Gorer and his work on this fiftieth anniversary of his discovery of H-2. *Immunogenetics* 24:339-340.
- Sohn SJ, Thompson J and Winoto A (2007) Apoptosis during negative selection of autoreactive thymocytes. *Curr Opin Immunol* 19:510-515.
- Tezuka H and Ohteki T (2010) Regulation of intestinal homeostasis by dendritic cells. *Immunological reviews* 234:247-258.
- Thauland TJ and Parker DC (2010) Diversity in immunological synapse structure. *Immunology* 131:466-472.
- Thimme R, Bukh J, Spangenberg HC, Wieland S, Pemberton J, Steiger C, Govindarajan S, Purcell RH and Chisari FV (2002) Viral and immunological determinants of hepatitis C virus clearance, persistence, and disease. *Proc Natl Acad Sci U S A* 99:15661-15668.
- Todman SJ, Halling-Brown MD, Davies MN, Flower DR, Kayikci M and Moss DS (2008) Toward the atomistic simulation of T cell epitopes automated construction of MHC: peptide structures for free energy calculations. *J Mol Graph Model* 26:957-961.
- Tomar N and De RK (2010) Immunoinformatics: an integrated scenario. *Immunology*:153-168.
- Trott O and Olson AJ (2009) AutoDock Vina: Improving the speed and accuracy of docking with a new scoring function, efficient optimization, and multithreading. *J Comput Chem*.
- Uprichard SL (2010) Hepatitis C virus experimental model systems and antiviral drug research. *Virologica Sinica* 25:227-245.
- van der Merwe PA and Dushek O (2010) Mechanisms for T cell receptor triggering. *Nature reviews. Immunology* 11:47-55.
- Vandiedonck C and Knight JC (2009) The human Major Histocompatibility Complex as a paradigm in genomics research. *Briefings in functional genomics & proteomics* 8:379-394.
- Vertuani S, Bazzaro M, Gualandi G, Micheletti F, Marastoni M, Fortini C, Canella A, Marino M, Tomatis R, Traniello S et al. (2002) Effect of interferon-alpha therapy on epitope-specific cytotoxic T lymphocyte responses in hepatitis C virus-infected individuals. *Eur J Immunol* 32:144-154.

- Vieira GF and Chies JA (2005) Immunodominant viral peptides as determinants of cross-reactivity in the immune system--Can we develop wide spectrum viral vaccines? *Med Hypotheses* 65:873-879.
- Vivona S, Gardy JL, Ramachandran S, Brinkman FSL, Raghava GPS, Flower DR and Filippini F (2008) Computer-aided biotechnology: from immuno-informatics to reverse vaccinology. *Trends in biotechnology* 26:190-200.
- Walker CM (2010) Adaptive immunity to the hepatitis C virus. *Advances in virus research* 78:43-86.
- Wang J and Maldonado MA (2006) The ubiquitin-proteasome system and its role in inflammatory and autoimmune diseases. *Cell Mol Immunol* 3:255-261.
- Wedemeyer H, He X-S, Nascimbeni M, Davis AR, Greenberg HB, Hoofnagle JH, Liang TJ, Alter H and Rehermann B (2002) Impaired Effector Function of Hepatitis C Virus-Specific CD8+ T Cells in Chronic Hepatitis C Virus Infection. *J. Immunol.* 169:3447-3458.
- Wedemeyer H, Mizukoshi E, Davis AR, Bennink JR and Rehermann B (2001) Cross-reactivity between hepatitis C virus and Influenza A virus determinant-specific cytotoxic T cells. *J Virol* 75:11392-11400.
- Welsh RM, Che JW, Brehm Ma and Selin LK (2010) Heterologous immunity between viruses. *Immunological reviews* 235:244-266.
- Welsh RM and Fujinami RS (2007) Pathogenic epitopes, heterologous immunity and vaccine design. *Nat Rev Microbiol* 5:555-563.
- Welsh RM and Selin LK (2002) No one is naive: the significance of heterologous T-cell immunity. *Nat Rev Immunol* 2:417-426.
- Welsh RM, Selin LK and Szomolanyi-Tsuda E (2004) Immunological memory to viral infections. *Annu Rev Immunol* 22:711-743.
- Win SJ, Ward VK, Dunbar PR, Young SL and Baird MA (2011) Cross-presentation of epitopes on virus-like particles via the MHC I receptor recycling pathway. *Immunology and cell biology*.
- Woolard SN and Kumaraguru U (2010) Viral vaccines and CTL response. *Journal of biomedicine & biotechnology* 2010:141657.
- Xie T, Rowen L, Aguado B, Ahearn ME, Madan A, Qin S, Campbell RD and Hood L (2003) Analysis of the gene-dense major histocompatibility complex class III region and its comparison to mouse. *Genome research* 13:2621-2636.
- Zeisel MB, Fafi-Kremer S, Robinet E, Habersetzer F, Baumert TF and Stoll-Keller F (2009) Adaptive Immunity to Hepatitis C Virus. *Viruses* 1:276-297.

Anexos

7 Anexos

7.1 Anexo 1: Errata submetida ao sitio da revista PLoS One.

Original Article: **Structural Allele-Specific Patterns Adopted by Epitopes in the MHC-I Cleft and Reconstruction of MHC:peptide Complexes to Cross-Reactivity Assessment**

Erratum

Posted by [Dinler](#) on **09 Jul 2010 at 22:40 GMT**

The correct title for figure S7 is "ASA values for naturally occurring NS3-1073 variants". In addition, the expression "interferon-â" must be replaced for "interferon-gamma".

No competing interests declared.

RE: Erratum

[Dinler](#) replied to [Dinler](#) on **15 Feb 2011 at 18:49 GMT**

According to the main idea presented in this work, pMHC complexes with great structural similarity should stimulate the same level of IFN-gamma production against a given CTL population, while structural differences should interfere or even abolish this recognition. However, we argued that not all variation observed in vitro could be explained by the analysis of topology and electrostatic potential. For instance, we discussed the similarity between complexes 2 and 6. Given that similarity, and the differences between these complexes and complex 10 (presenting the wild-type epitope), it was expected that both complexes presented a poor response in vitro. Although complex 2 in fact stimulated low levels of IFN-gamma production, complex 6 stimulated intermediate levels.

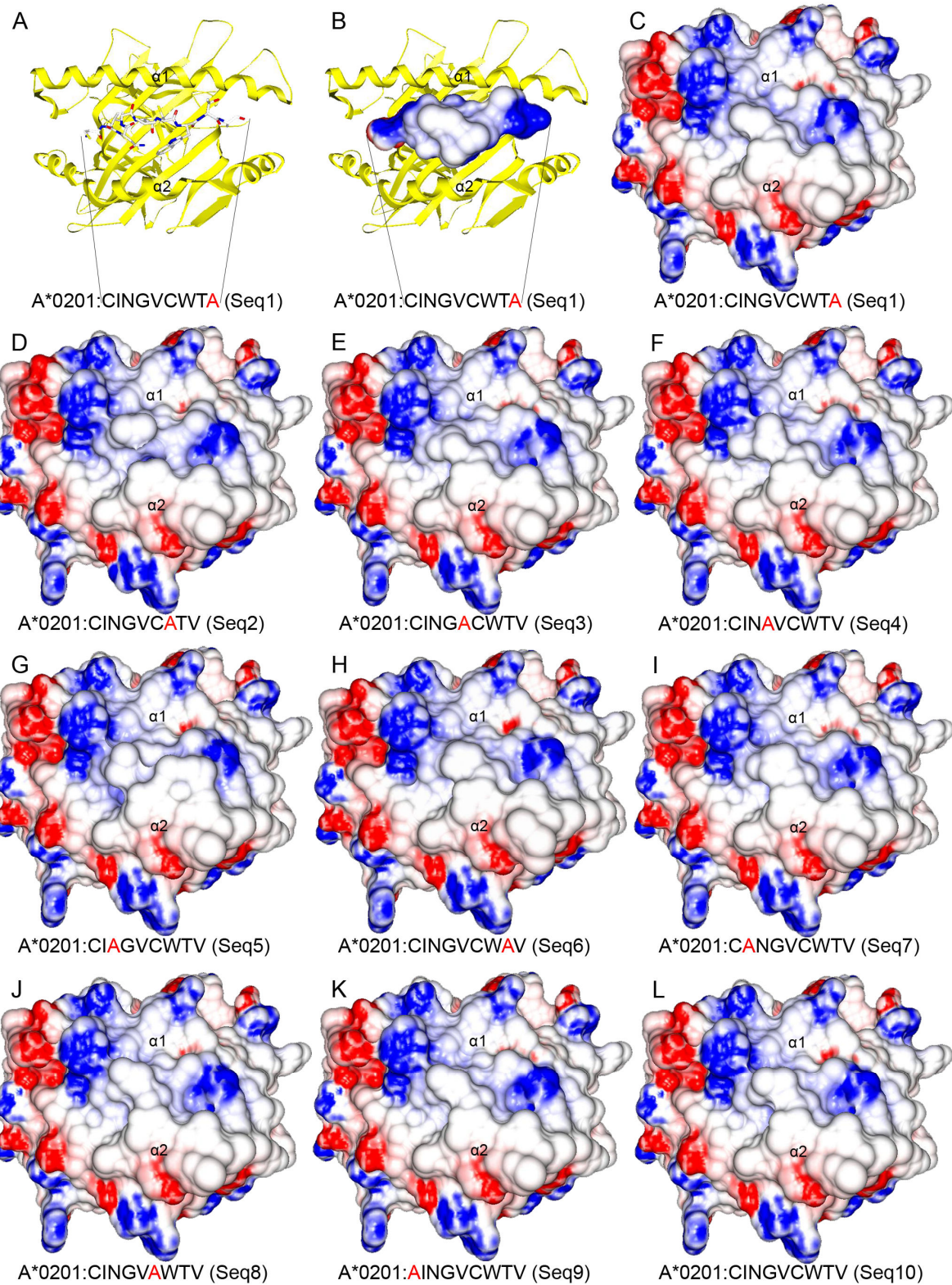
Recently, we performed a full verification of our data and a problem was identified. The structure presented in this work for complex 6 is incorrect (wrong epitope sequence) and, therefore, information about this complex regarding both ASA and surface analysis should be disregarded. Analysis of the correct structure of complex 6 reinforces the main idea of this work, once its surface is not similar with complex 2. Actually, complex 6 surface is more closely related to complex 7, the other pMHC that stimulated intermediate response.

GRASP2 image of the correct surface of complex 6 is available at the CrossTope Data Bank. It can be verified through the following link:

<http://www.crosstope.com.br/Sequence>Show/1022>

No competing interests declared.

7.2 Anexo 2: Versão editada da Figura 4 (Capítulo II).



7.3 Anexo 3: Tabela com os valores preditos para a afinidade de ligação ao MHC-I.

ID	Alelo	Sequencia	Consenso (Percentile Rank)	IC ₅₀ (nM) ANN	IC ₅₀ (nM) SMM	MatrixScore for complib_sidney2008
Seq10	HLA A*02:01	CINGVCWTV	1,70	66,49	73,62	0,00042
Seq6	HLA A*02:01	CINGVCWAV	2,00	89,37	76,08	0,00043
G1-1	HLA A*02:01	CVNGVCWTV	2,20	110,78	110,61	0,00038
G1-2	HLA A*02:01	CTNGVCWTV	3,20	292,89	216,29	0,00044
Seq7	HLA A*02:01	CANGVCWTV	4,70	950,71	319,43	0,00047
Seq1	HLA A*02:01	CINGVCWTA	4,70	963,87	354,67	0,0032

Predição de afinidade de ligação ao alelo HLA-A*02:01 para 6 peptídeos selecionados, realizada pela ferramenta “Peptide binding to MHC class I molecules” do IEDB Analysis Resource (Immune Epitope Database – <http://www.iedb.org/>).

7.4 Anexo 4: Valores de ASA para os peptídeos selecionados.

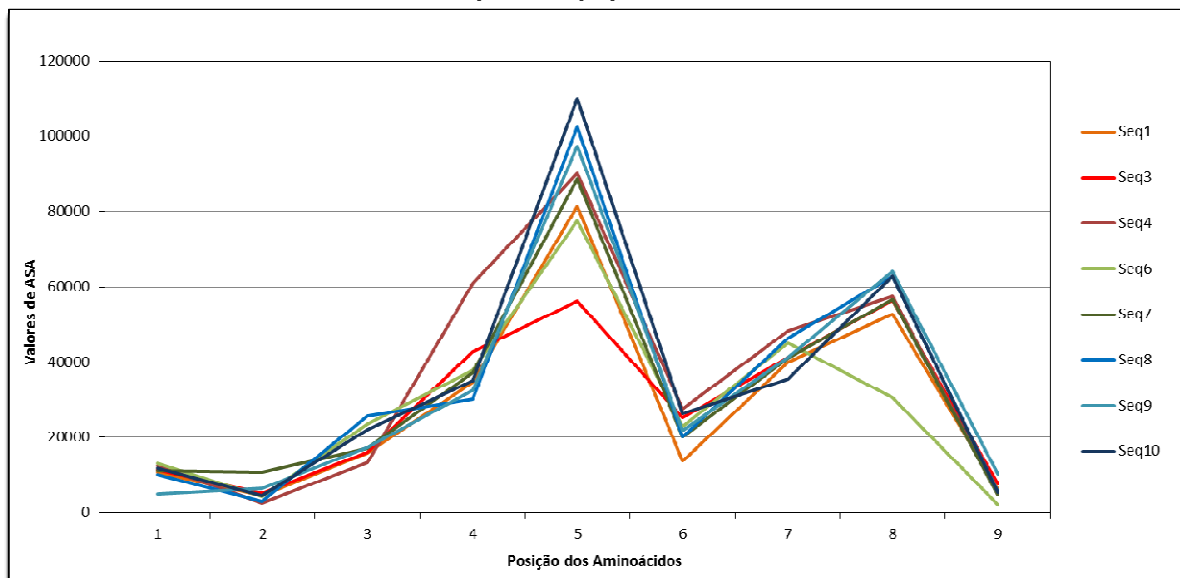


Gráfico com os valores da área acessível ao solvente para as nove posições de 8 peptídeos selecionados (capítulo II), no contexto do alelo HLA-A*02:01. Os valores foram calculados pelo software NOC 3.01 (<http://noch.sourceforge.net/>).

7.5 Anexo 5: Parâmetros das simulações (arquivos mdp).

7.5.1 Minimização de Energia

```
title          = em_pMHC
cpp            = /usr/bin/cpp
define         = -DFLEX_SPC
constraints    = none
integrator    = steep
nsteps         = 10000
emtol          = 2000
emstep         = 0.01
nstcomm        = 1
ns_type        = grid
rlist          = 1
rcoulomb       = 1.0
rvdw           = 1.0
Tcoupl         = no
Pcoupl         = no
gen_vel        = no
;
```

7.5.2 Solvatação

```
title          = pr_pMHC
cpp            = /lib/cpp
define         = -DPOSRES
constraints    = all-bonds
integrator    = md
dt              = 0.002 ; ps !
nsteps         = 500 ; total 1 ps.
nstcomm        = 1
nstxout        = 250
nstvout        = 1000
nstfout        = 0
nstlog         = 100
nstenergy      = 100
nstlist         = 10
ns_type        = grid
rlist          = 1.0
coulombytype   = PME
rcoulomb       = 1.0
vdwtype        = cut-off
rvdw           = 1.4
fourierspacing = 0.12
fourier_nx     = 0
fourier_ny     = 0
fourier_nz     = 0
```

```

pme_order      = 4
ewald_rtol     = 1e-5
optimize_fft    = yes
; Berendsen temperature coupling is on in three groups
Tcoupl         = berendsen
tau_t          = 0.1 0.1
tc_grps        = Protein SOL
ref_t          = 100 100
; Pressure coupling is not on
Pcoupl         = parrinello-rahman
pcoupltype    = isotropic
tau_p          = 0.5
compressibility = 4.5e-5
ref_p          = 1.0
; Generate velocities is on at 100 K.
gen_vel        = yes
gen_temp       = 100.0
gen_seed       = 173529
;

```

7.5.3 Termalização A

```

title          = MD_term_a
cpp            = /lib/cpp
define         = -DPOSRES
constraints    = all-bonds
integrator    = md
tinit          = 1.0
dt              = 0.002      ; ps !
nsteps         = 500 ; total 1 ps ;1ps-2ps;.
nstcomm        = 1
nstxout        = 200
nstxtcout      = 0
xtc_precision  = 1000
nstvout        = 200
nstfout        = 0
nstlog          = 500
nstenergy      = 200
nstlist         = 10
ns_type         = grid
coulombtype   = PME
rlist           = 0.9
rcoulomb       = 0.9
rvdw            = 0.9
fourierspacing = 0.12
optimize_fft    = yes
pme_order      = 4

```

```

ewald_rtol      = 1e-5
; Berendsen temperature coupling is on in four groups
Tcoupl          = berendsen
tc-grps         = Protein SOL
tau_t           = 0.1 0.1
ref_t           = 10 10
; Energy monitoring
energygrps     = Protein SOL
; Isotropic pressure coupling is now on
Pcoupl          = berendsen
Pcoupltype      = isotropic
tau_p           = 0.5
compressibility = 4.5e-5
ref_p           = 1.0
; Generate velocities is off at 50 K.
gen_vel         = yes
gen_temp        = 10.0
gen_seed        = 173529
;

```

7.5.4 Termalização B

```

title          = MD_term_b
cpp            = /lib/cpp
define         = -DPOSRES
constraints    = all-bonds
integrator    = md
tinit          = 2.0
dt              = 0.002      ; ps !
nsteps         = 4000 ; total 8 ps.;2ps-10ps;
nstcomm        = 1
nstxout        = 200
nstvout        = 200
nstfout        = 0
nstlog          = 500
nstenergy      = 200
nstlist         = 10
ns_type         = grid
coulombtype   = PME
rlist          = 0.9
rcoulomb       = 0.9
rvdw           = 0.9
fourierspacing = 0.12
optimize_fft    = yes
pme_order      = 4
ewald_rtol      = 1e-5
; Berendsen temperature coupling is on in four groups

```

```

Tcoupl      = berendsen
tc-grps    = Protein SOL
tau_t      = 0.1 0.1
ref_t      = 50 50
; Energy monitoring
energygrps = Protein SOL
; Isotropic pressure coupling is now on
Pcoupl      = berendsen
Pcoupltype = isotropic
tau_p      = 0.5
compressibility = 4.5e-5
ref_p      = 1.0
; Generate velocities is off at 50 K.
gen_vel     = no
gen_temp    = 50.0
gen_seed    = 173529
;

```

7.5.5 Termalização C

```

title        = MD_term_c
cpp          = /lib/cpp
define       = -DPOSRES
constraints  = all-bonds
integrator  = md
tinit        = 10.0
dt           = 0.002      ; ps !
nsteps       = 2500       ; total 5 ps.;10-15ps;
nstcomm      = 1
nstxout      = 200
nstvout      = 200
nstfout      = 0
nstlog       = 500
nstenergy    = 200
nstlist      = 10
ns_type      = grid
coulombytype = PME
rlist        = 0.9
rcoulomb    = 0.9
rvdw         = 0.9
fourierspacing = 0.12
optimize_fft = yes
pme_order    = 4
ewald_rtol   = 1e-5
; Berendsen temperature coupling is on in four groups
Tcoupl      = berendsen
tc-grps    = Protein SOL

```

```

tau_t          = 0.1 0.1
ref_t          = 100 100
; Energy monitoring
energygrps    = Protein SOL
; Isotropic pressure coupling is now on
Pcoupl         = berendsen
Pcoupltype    = isotropic
tau_p          = 0.5
compressibility = 4.5e-5
ref_p          = 1.0
; Generate velocities is off at 100 K.

```

7.5.6 Termalização D

```

title          = MD_term_d
cpp            = /lib/cpp
define         = -DPOSRES
constraints    = all-bonds
integrator    = md
tinit          = 15.0
dt              = 0.002      ; ps !
nsteps         = 2500; total 5 ps.;15ps-20ps;
nstcomm        = 1
nstxout        = 200
nstvout        = 200
nstfout        = 0
nstlog         = 500
nstenergy      = 200
nstlist         = 10
ns_type         = grid
coulombtype   = PME
rlist           = 0.9
rcoulomb       = 0.9
rvdw            = 0.9
fourierspacing = 0.12
optimize_fft   = yes
pme_order      = 4
ewald_rtol     = 1e-5
; Berendsen temperature coupling is on in four groups
Tcoupl         = berendsen
tc-grps        = Protein SOL
tau_t          = 0.1 0.1
ref_t          = 150 150
; Energy monitoring
energygrps    = Protein SOL
; Isotropic pressure coupling is now on
Pcoupl         = berendsen

```

```

Pcoupltype      = isotropic
tau_p          = 0.5
compressibility = 4.5e-5
ref_p          = 1.0
; Generate velocities is off at 150 K.

```

7.5.7 Termalização E

```

title           = MD_term_e
cpp             = /lib/cpp
define          = -DPOSRES
constraints     = all-bonds
integrator     = md
tinit           = 20.0
dt              = 0.002      ; ps !
nsteps          = 2500 ; total 5 ps ;20ps-25ps;
nstcomm         = 1
nstxout         = 200
nstvout         = 200
nstfout         = 0
nstlog          = 500
nstenergy       = 200
nstlist          = 10
ns_type         = grid
coulombtype    = PME
rlist            = 0.9
rcoulomb        = 0.9
rvdw             = 0.9
fourierspacing = 0.12
optimize_fft    = yes
pme_order       = 4
ewald_rtol      = 1e-5
; Berendsen temperature coupling is on in four groups
Tcoupl          = berendsen
tc-grps         = Protein SOL
tau_t           = 0.1 0.1
ref_t           = 200 200
; Energy monitoring
energygrps     = Protein SOL
; Isotropic pressure coupling is now on
Pcoupl          = berendsen
Pcoupltype      = isotropic
tau_p          = 0.5
compressibility = 4.5e-5
ref_p          = 1.0
; Generate velocities is off at 200 K.

```

7.5.8 Termalização F

```
title          = MD_term_f
cpp            = /lib/cpp
define         = -DPOSRES
constraints    = all-bonds
integrator    = md
tinit          = 25.0
dt              = 0.002      ; ps !
nsteps         = 2500; total 5 ps.;25ps-30ps;
nstcomm        = 1
nstxout        = 200
nstvout        = 200
nstfout        = 0
nstlog         = 500
nstenergy      = 200
nstlist         = 10
ns_type         = grid
coulombtype   = PME
rlist           = 0.9
rcoulomb       = 0.9
rvdw            = 0.9
fourierspacing = 0.12
optimize_fft   = yes
pme_order      = 4
ewald_rtol     = 1e-5
; Berendsen temperature coupling is on in four groups
Tcoupl         = berendsen
tc-grps        = Protein SOL
tau_t          = 0.1 0.1
ref_t          = 250 250
; Energy monitoring
energygrps    = Protein SOL
; Isotropic pressure coupling is now on
Pcoupl         = berendsen
Pcoupltype    = isotropic
tau_p          = 0.5
compressibility = 4.5e-5
ref_p          = 1.0
; Generate velocities is off at 250 K.
gen_vel        = no
gen_temp       = 250.0
gen_seed        = 173529
```